

Московский государственный университет имени М. В. Ломоносова  
Факультет вычислительной математики и кибернетики

На правах рукописи

Дорогуш Елена Геннадьевна

**Математический анализ модели  
транспортных потоков на автостраде  
и управления ее состоянием**

01.01.02 — дифференциальные уравнения, динамические системы  
и оптимальное управление

Диссертация на соискание ученой степени кандидата физико-математических наук

Научный руководитель:  
доктор физико-математических наук  
академик А. Б. Куржанский

Москва  
2014

# Оглавление

<b>Введение</b> . . . . .	<b>4</b>
<b>1 Математическая модель транспортных потоков на автомагистрали</b> . . . . .	<b>9</b>
1.1 Динамическая модель транспортных потоков в сети . . . . .	9
1.1.1 Модель узла транспортной сети . . . . .	11
1.2 Модель транспортных потоков на автомагистрали . . . . .	17
1.2.1 Модель узла автомагистрали . . . . .	18
1.2.2 Краевые условия . . . . .	20
1.3 Пропускная способность автомагистрали . . . . .	20
1.3.1 Контролируемые уровни концентраций . . . . .	21
1.3.2 Задача минимизации общего времени в пути . . . . .	23
1.3.3 Уровень загрузки автомагистрали . . . . .	28
<b>2 Равновесные состояния в модели автомагистрали при постоянных входных потоках</b> . . . . .	<b>31</b>
2.1 Зависимость между потоками со въездов и потоками между ячейками . . . . .	31
2.1.1 Допустимые и недопустимые входные потоки . . . . .	33
2.2 Общие условия на равновесные состояния . . . . .	34
2.3 Множество равновесий для фиксированных потоков со въездов . . . . .	35
2.3.1 Решение уравнения для $n$ в модели незамкнутой автомагистрали . . . . .	38
2.3.2 Решение уравнения для $n$ в модели кольцевой автомагистрали . . . . .	39
2.4 Равновесные потоки со въездов . . . . .	40
2.4.1 Равновесные потоки со въездов в модели незамкнутой автомагистрали . . . . .	40
2.4.2 Равновесные потоки в модели кольцевой автомагистрали . . . . .	43
2.5 Об устойчивости равновесий . . . . .	48
2.5.1 Устойчивость наименее загруженного равновесия . . . . .	49
2.5.2 Устойчивость наиболее загруженного положения равновесия в модели кольцевой автострады . . . . .	50

2.5.3	Устойчивость произвольного положения равновесия . . . . .	52
2.6	Примеры . . . . .	59
<b>3</b>	<b>Управление состоянием автомагистрали при помощи выделенных полос</b>	<b>63</b>
3.1	Модель автомагистрали с выделенными полосами . . . . .	63
3.2	Построение управления . . . . .	65
3.2.1	Оценивание множества допустимых коэффициентов расщепления . . . . .	66
3.2.2	Условие максимального использования пропускной способности платных полос . . . . .	67
3.2.3	Координация управления на въездах . . . . .	73
3.3	Обоснование алгоритма управления . . . . .	75
3.4	Примеры . . . . .	79
	<b>Заключение . . . . .</b>	<b>84</b>
	<b>Список литературы . . . . .</b>	<b>86</b>

# Введение

Данная работа посвящена исследованию математических моделей транспортных потоков на автостраде и задаче управления состоянием автострады с платными полосами.

Можно выделить несколько подходов к математическому моделированию транспортных потоков. В *микроскопических* моделях задается закон движения каждого автомобиля, в зависимости от его текущего положения, скорости движения, характеристик движения соседних автомобилей и других факторов. Микроскопические модели, в свою очередь, можно разделить на непрерывные по пространству и по времени модели (например, [1–4]), и на дискретные по пространству и по времени модели, так называемые клеточные автоматы (например, [5]). В *макроскопических* моделях транспортный поток рассматривается как поток жидкости с особыми свойствами. Уравнения макроскопической модели устанавливают зависимость между потоком, плотностью, скоростью движения, возможно, ускорением и так далее. Макроскопические модели также могут быть непрерывными или дискретными. В непрерывных моделях изменение состояния участка дороги без ответвлений и перекрестков описывается, как правило, дифференциальными уравнениями в частных производных. Так, в статье [6] исследуется модель транспортного потока, при некоторых значениях параметров имеющая вид системы уравнений в частных производных второго порядка. В книге [7] дается обзор существующих макроскопических моделей транспортных потоков на дороге без перекрестков и строится макроскопическая модель транспортных потоков в сети. Как показано в статьях [1–3] и в книге [8], некоторые макроскопические модели являются, в некотором смысле, следствиями микроскопических моделей. Также можно изучать транспортные потоки с точки зрения теории *экономического равновесия*, что включает в себя отыскание равновесного распределения потоков в сети исходя из равенства времени в пути на используемых маршрутах (например, [9–11]). В книге [8] дается обзор детерминированных и стохастических моделей из каждой категории.

Настоящая работа посвящена изучению дискретной макроскопической модели потоков в транспортной сети. Эта модель довольно легко калибруется по измерениям, как это описано в работах [12; 13]. Кроме того, дискретная модель удобна для компьютерных симуляций.

Исследуемая в работе дискретная модель транспортных потоков основана на непрерывной гидродинамической модели [14–16]. В гидродинамической модели изменение состояния участка дороги без ответвлений и перекрестков подчиняется закону сохранения числа автомобилей  $\partial\rho/\partial t + \partial f/\partial x = 0$ . Здесь  $\rho = \rho(t, x)$  — плотность потока в точке  $x$  в момент  $t$ , то есть число автомобилей на единицу длины,  $f = f(t, x)$  — поток в точке  $x$  в момент  $t$ , то есть число автомобилей, проезжающих через заданное сечение дороги  $x$  в единицу времени. Также предполагается, что существует функциональная зависимость между потоком  $f$  и плотностью  $\rho$ :  $f = f(\rho)$ . График функции  $f(\rho)$  называется *фундаментальной диаграммой*. По-видимому, впервые о существовании фундаментальной диаграммы заявлено в статье [17]. В этой статье анализируются результаты измерений параметров транспортного потока на автомагистралях, проведенных в 1934 году в США. В гидродинамике функция  $f(\rho)$  выпуклая, в моделировании транспортных потоков функция  $f(\rho)$  обычно считается вогнутой (рисунок 1), в частности, в статье [17] фундаментальная диаграмма близка к параболе

$$f(\rho) = 4f^{\max} \frac{\rho}{\rho^{\max}} \left( 1 - \frac{\rho}{\rho^{\max}} \right),$$

где  $\rho^{\max}$  — максимальная плотность, то есть плотность в состоянии «бампер к бамперу»,  $f^{\max}$  — максимальный поток, или пропускная способность, участка автомагистрали. Таким

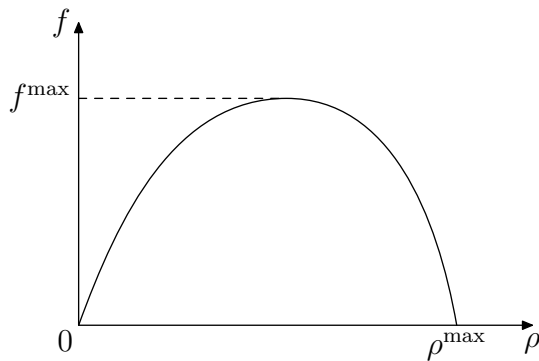


Рис. 1. Фундаментальная диаграмма в непрерывной модели транспортных потоков

образом, изменение состояния автомагистрали описывается квазилинейным уравнением в частных производных относительно  $\rho(t, x)$

$$\frac{\partial\rho}{\partial t} + \frac{\partial f(\rho)}{\partial x} = 0. \quad (1)$$

В отличие от линейных уравнений в частных производных первого порядка, уравнение (1) может иметь разрывные решения даже при гладких начальных данных. Возможна и такая ситуация, что классическое решение задачи Коши для этого уравнения существует лишь до определенного момента времени. Поэтому рассматривается слабое решение уравнения (1)

(см., к примеру, [7; 18]). Проблема в том, что слабое решение не единственно, и для нахождения единственного физически осмысленного решения нужны дополнительные условия, а именно энтропийные условия [18–21].

Для расчетов гидродинамической модели можно применить численную схему, предложенную в статье [22]. Для устойчивости этой численной схемы и сходимости разностных решений к слабому решению исходного уравнения должно выполняться условие Куранта — Фридрихса — Леви [23].

В статье [24] была предложена дискретная динамическая модель автомагистрали СТМ (the cell transmission model, клеточная передаточная модель). Модель СТМ совпадает с представленным методом численного решения задачи Коши для уравнения (1) с фундаментальной диаграммой в форме трапеции  $f(\rho) = \min\{v\rho, f^{\max}, w(\rho^{\max} - \rho)\}$ . В статье [25] дискретная модель была расширена на слияния и разветвления дорог. Модель СТМ реализована в пакете программ [26] для ребер графа транспортной сети.

Другой важный компонент любой модели транспортных потоков в сети — модель узла сети, то есть правило вычисления потоков в узле по состоянию прилегающих ребер. Различные модели узла предлагались в работах [7; 25; 27–29].

Необходимость платных дорог в условиях перегрузки транспортной сети, как отмечено в статье [30], подчеркивается экономистами уже довольно давно. Дело в том, что в условиях перегрузки каждый дополнительный участник дорожного движения увеличивает задержки в пути для других участников дорожного движения. Такая ситуация обуславливает неоптимальное поведение всех участников дорожного движения в целом. Оптимальное в смысле суммарных затрат всех участников поведение стимулируется, как указано в обзоре [31], так называемым налогом А. С. Пигу: каждый участник дорожного движения платит за свой проезд по каждому ребру транспортной сети сумму, эквивалентную увеличению суммарных задержек всех остальных участников дорожного движения в результате его поездки. Такой подход не учитывает, однако, некоторые моменты. Во-первых, цена времени для разных водителей может различаться, и при этом не ясно, как определять плату за проезд по конкретному ребру транспортной сети. Во-вторых, состояние транспортной сети постоянно меняется, а вместе с ним должны меняться и стоимости проезда по ребрам.

В зависимости от выбранной модели транспортной сети модели и алгоритмы вычисления платы за проезд могут быть разными. Так, в работе [32] разрабатывается теория платных дорог в рамках модели экономического равновесия. Стоимость времени для всех агентов считается одинаковой, плата за проезд по каждому ребру устанавливается такая, чтобы любое равновесное по Нэшу — Вардропу распределение в системе с платными ребрами было в то

же время оптимальным (в смысле системного оптимума, то есть минимизации суммарного времени в пути) в системе без платы за проезд по ребрам. В статье [33] используется динамическая модель транспортной сети, и предлагается устанавливать стоимость проезда по платным ребрам сети и выделенным полосам автомагистрали динамически, в зависимости от текущих и желаемых условий (точнее, плотностей). В статье [34] рассматривается динамическая модель автомагистрали, близкая к модели, исследуемой в данной работе, и предлагается следующий способ управления состоянием автострады. При слишком большом входном потоке ограничиваются потоки со въездов. При этом, конечно, образуются очереди перед въездами. В то же время, есть возможность въехать на автомагистраль, минуя очередь перед въездом, но за плату, которая зависит от въезда, и от того, через какой съезд водитель покинет автомагистраль. В работе [31] дан обзор существующих методов и технологий платных дорог и платных полос.

**Цель работы** Целью данной работы является изучение свойств математической модели автострады, в том числе кольцевой автострады, и разработка алгоритма управления состоянием незамкнутой автострады с выделенными платными полосами путем изменения стоимости въезда в платные полосы.

### **Основные результаты**

1. Для дискретной динамической модели автомагистрали предлагаются понятия пропускной способности и уровня загруженности. Получены правила вычисления пропускной способности.
2. Полностью описано множество положений равновесия в модели незамкнутой и кольцевой автострады. Исследована устойчивость всех положений равновесия.
3. Предложен алгоритм управления состоянием автострады с выделенными платными полосами. Цель алгоритма — максимальное использование пропускной способности выделенных полос, и при этом поддержание их в состоянии свободного движения, насколько это возможно.

**Научная новизна** Полученные результаты являются новыми. Исследование равновесных состояний в математической модели автомагистрали обобщает результаты работ [35; 36] на случай произвольных коэффициентов приоритета (в модели незамкнутой автострады) и на модель кольцевой автострады.

**Теоретическая и практическая значимость** Работа носит в основном теоретический характер. Исследование множеств положений равновесия — первый шаг к пониманию законов развития динамической системы, описывающей изменение состояния автострады. Результаты, касающиеся управления состоянием автострады с помощью платы за въезд на выделенные полосы могут быть применены на практике, если будут реализованы бесконтактные высокоскоростные системы оплаты въезда в платные полосы.

**Структура диссертации** Диссертация организована следующим образом.

В главе 1 представлена дискретная динамическая модель транспортных потоков в сети и модели незамкнутой и кольцевой автострады как ее частные случаи. Предлагается понятие пропускной способности автомагистрали и выясняется способ вычисления этой характеристики автомагистрали. Вводится понятие уровня загруженности автострады и изучаются его свойства.

В главе 2 модель автомагистрали исследуется как динамическая система: находится множество равновесий этой системы и исследуется устойчивость всех состояний равновесия.

В главе 3 представлена модель автомагистрали с выделенными платными полосами. Предлагается алгоритм управления состоянием такой автомагистрали за счет изменения стоимости въезда в платные полосы. Цель управления — при условии полного использования пропускной способности выделенных полос поддерживать их, насколько возможно, в незагруженном состоянии.

## Глава 1

# Математическая модель транспортных потоков на автомагистрали

В этой главе математическая модель транспортных потоков на автомагистрали, в том числе на кольцевой автомагистрали, изучается как динамическая система. Исследуются множества положений равновесия этой системы при фиксированных входных потоках, предлагаются определения пропускной способности и уровня загруженности автомагистрали.

Исследуемая модель транспортных потоков на автомагистрали является сужением модели транспортных потоков в сети на графы специального вида. Поэтому сначала будет изложена общая модель транспортных потоков в сети. За основу взята модель транспортной сети, изложенная в статье [13], а правило перераспределения потоков в узле сети взято из статьи [29].

### 1.1 Динамическая модель транспортных потоков в сети

Транспортная сеть представляется ориентированным графом  $G = (V, E)$ , где  $V$  — множество вершин или узлов графа,  $E$  — множество ребер графа, то есть упорядоченных пар вершин графа  $e = (u, v)$ ,  $u, v \in V$ . Ребра графа будем также называть *соединениями*. Выделяются вершины без входящих ребер, *источники*, и вершины без исходящих ребер, *стоки*. Ребра графа, инцидентные источникам, будем называть *въездами*, а ребра, инцидентные стокам — *выездами* или *съездами*. Пусть  $E^{\text{in}} \subset E$  обозначает множество въездов, а  $E^{\text{out}} \subset E$  — множество выездов. Мы рассматриваем только такие графы, в которых ребро не может одновременно быть въездом и выездом:  $E^{\text{in}} \cap E^{\text{out}} = \emptyset$ . Вершины графа, не являющиеся источниками и стоками, соответствуют перекресткам, местам слияния и разветвления дорог, а также разбивают длинные ребра на более короткие.

Динамическая модель транспортных потоков в сети дискретна как по времени, так и по

пространству.

Каждое ребро  $e$  транспортной сети характеризуется своей длиной, числом полос, пропускной способностью  $F_e$ , то есть максимальным потоком через это ребро, вместимостью  $N_e$ , то есть максимальным числом автомобилей на ребре, скоростью свободного движения  $v_e$ , то есть наибольшей разрешенной скоростью, и скоростью распространения затора  $w_e$ . Пропускная способность ребра нормализована относительно шага по времени, а скорости свободного движения и распространения затора нормализованы относительно длины ребра и шага по времени. Пропускная способность ребра и вместимость пропорциональны числу полос. Шаг симуляции по времени должен быть настолько малым, чтобы выполнялись неравенства  $v_e, w_e < 1$ .

Позиция системы есть пара  $\{t, n(t)\}$ , где  $t$  — шаг симуляции,  $n(t) = \{n_e(t), e \in E\}$ ,  $n_e(t)$  — число автомобилей на ребре  $e$  на шаге  $t$ .

На каждом шаге для каждого ребра  $e \in E$  определяется требуемый исходящий поток  $f_e^d(t) = \min\{v_e n_e(t), F_e\}$  ( $d$  означает demand, то есть спрос), и для каждого ребра, за исключением въездов,  $e \in E \setminus E^{\text{in}}$ , определяется допустимый (максимальный) входящий поток  $f_e^s(t) = \min\{w_e(N_e - n_e(t)), F_e\}$  ( $s$  означает supply, предложение).

Изменение состояния сети происходит согласно уравнению  $n_e(t+1) = n_e(t) + f_e^{\text{in}}(t) - f_e^{\text{out}}(t)$ ,  $e \in E$ , где  $f_e^{\text{in}}(t)$ ,  $f_e^{\text{out}}(t)$  — входящий и исходящий поток для ребра  $e$ . Для въездов  $e \in E^{\text{in}}$  задан неотрицательный входящий поток  $f_e^{\text{in}}(t)$ . При этом предполагается, что число автомобилей во входящих ребрах не ограничено сверху, и этим входящие ребра отличаются от всех остальных. Исходящий поток для выездов  $e \in E^{\text{out}}$  всегда равен требуемому исходящему потоку:  $f_e^{\text{out}} = f_e^d(t)$ . Потоки между смежными ребрами  $f_{e_1, e_2}(t)$ , где  $e_1 \in E \setminus E^{\text{out}}$  и  $e_2 \in E \setminus E^{\text{in}}$  — входящее и исходящее ребро некоторого узла  $v \in V$ , не являющегося ни стоком, ни источником, определяются моделью узла транспортной сети. При этом, если величины  $n_e(t)$  неотрицательны, то все потоки неотрицательны, входящий поток  $f_e^{\text{in}}(t)$  для любого ребра  $e$ , за исключением въездов, не может превышать  $f_e^s(t)$ , а исходящий поток  $f_e^{\text{out}}(t)$  из любого ребра  $e$  не может превышать  $f_e^d(t)$ . Поэтому справедливо следующее утверждение.

**Утверждение 1.1.** Пусть для всех ребер  $e \in E$  на шаге  $t$  величина  $n_e(t)$  неотрицательна, и для всех ребер  $e$ , кроме, может быть, въездов (то есть  $e \in E \setminus E^{\text{in}}$ ), выполнено неравенство  $n_e(t) \leq N_e$ . Тогда для всех  $e \in E \setminus E^{\text{in}}$  справедливо неравенство  $0 \leq n_e(t+1) \leq N_e$ .

*Доказательство.* Действительно, поскольку  $n_e(t+1) = n_e(t) + f_e^{\text{in}}(t) - f_e^{\text{out}}(t)$ ,  $n_e(t) \geq 0$ ,  $f_e^{\text{in}}(t), f_e^{\text{out}}(t) \geq 0$  и  $f_e^{\text{out}}(t) \leq f_e^d(t) \leq v_e n_e(t)$ , то

$$n_e(t+1) \geq n_e(t) - f_e^{\text{out}}(t) \geq n_e(t) - v_e n_e(t) = (1 - v_e)n_e(t) \geq 0.$$

Для вершин  $e \in E \setminus E^{\text{in}}$ , кроме того, справедливо неравенство  $f_e^{\text{in}}(t) \leq f_e^s(t) \leq w_e(N_e - n_e(t))$ , поэтому

$$n_e(t+1) \leq n_e(t) + f_e^{\text{in}}(t) \leq n_e(t) + w_e(N_e - n_e(t)) = N_e - (1 - w_e)(N_e - n_e(t)) \leq N_e. \quad \square$$

Предполагается, что для каждого ребра  $e \in E \setminus E^{\text{in}}$  справедливо неравенство

$$\frac{F_e}{v_e} + \frac{F_e}{w_e} \leq N_e, \quad (1.1)$$

которое гарантирует, что если ребро  $e$  на шаге  $t$  не загружено, то есть если выполнено неравенство  $v_e n_e(t) \leq F_e$ , то входящий поток в ребро  $e$  ограничен лишь его пропускной способностью, то есть выполнено также неравенство  $w_e(N_e - n_e(t)) \geq F_e$ .

Нам также понадобится следующее утверждение.

**Утверждение 1.2.** Пусть ребро  $e$  — выезд, то есть ребро, инцидентное стоку, и в момент  $t$  ребро  $e$  не загружено:  $v_e n_e(t) \leq F_e$ . Тогда  $v_e n_e(t+1) \leq F_e$ .

*Доказательство.* Согласно условию (1.1), поскольку ребро  $e$  не загружено на шаге  $t$ , то  $f_e^s(t) = F_e \geq f_e^{\text{in}}(t)$ . Поскольку ребро  $e$  является выездом, то  $f_e^{\text{out}}(t) = f_e^d(t) = v_e n_e(t)$ . В итоге

$$n_e(t+1) = n_e(t) + f_e^{\text{in}}(t) - f_e^{\text{out}}(t) \leq (1 - v_e)n_e(t) + F_e \leq (1 - v_e)F_e/v_e + F_e = F_e/v_e,$$

то есть  $v_e n_e(t+1) \leq F_e$ . □

### 1.1.1 Модель узла транспортной сети

Рассматривается вершина  $v$ , не являющаяся ни источником, ни стоком. Пусть у рассматриваемой вершины  $m$  входящих и  $n$  исходящих ребер,  $m, n > 0$ . На каждом шаге  $t$  определены требуемые исходящие потоки  $f_j^d(t)$  для всех входящих ребер и допустимые входящие потоки  $f_j^s(t)$  для всех исходящих ребер (рисунок 1.1).

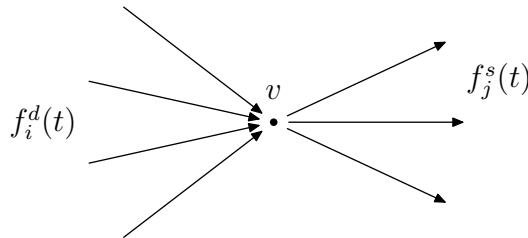


Рис. 1.1. Схема узла транспортной сети

Задана *распределительная матрица*  $B_v(t) = \{\beta_{ij}(t)\}_{i=1, \dots, m}^{j=1, \dots, n}$ , ее элементы  $\beta_{ij}(t)$ , *коэффициенты расщепления*, неотрицательны и задают ограничения на потоки  $f_{ij}(t)$  из  $i$ -го входящего ребра в  $j$ -е исходящее ребро рассматриваемой вершины в виде пропорции

$$\frac{f_{ij_1}(t)}{\beta_{ij_1}(t)} = \frac{f_{ij_2}(t)}{\beta_{ij_2}(t)}, \quad j_1, j_2 \in \{1, \dots, n\}.$$

Для каждого  $i$  по крайней мере один из коэффициентов  $\beta_{ij}(t)$ ,  $j = 1, \dots, n$ , должен быть строго положительным. При умножении  $i$ -й строки матрицы  $B_v(t)$  на положительное число  $(\beta_{i1}(t) + \dots + \beta_{in}(t))^{-1}$  сумма элементов этой строки будет равна 1, пропорция при этом не изменится. Поэтому для упрощения рассуждений будем считать, что для всех  $i$

$$\sum_{j=1}^n \beta_{ij}(t) = 1.$$

Исходящие потоки для ребер, входящих в рассматриваемую вершину, равны сумме всех потоков из данного ребра в исходящие:

$$f_i^{\text{out}}(t) = \sum_{j=1}^n f_{ij}(t),$$

а входящие потоки для ребер, исходящих из данной вершины, равны сумме всех потоков из входящих ребер в данное ребро:

$$f_j^{\text{in}}(t) = \sum_{i=1}^m f_{ij}(t).$$

Кроме того, заданы неотрицательные *коэффициенты приоритета* для входящих ребер  $p_i(t)$ ,  $i = 1, \dots, m$ . Эти коэффициенты, как будет разъяснено далее, влияют на потоки между входящими и исходящими ребрами  $f_{ij}(t)$ , если какая-либо из исходящих ячеек не может принять весь требуемый поток, то есть если хотя бы для одного  $j$  выполнено неравенство

$$f_j^s(t) < \sum_{i=1}^m \beta_{ij}(t) f_i^d(t).$$

Для каждого исходящего ребра  $j$  не более одного входящего ребра с ненулевым требуемым потоком  $f_{ij}^d(t) = \beta_{ij}(t) f_i^d(t)$  может иметь нулевой коэффициент приоритета. Это условие выполнено, в частности, если все коэффициенты приоритета входящих ребер  $p_i$ , кроме, быть может, одного, строго положительны.

В статье [29] предлагается в качестве коэффициентов приоритета брать пропускные способности входящих соединений, то есть  $p_i(t) = F_i$ , поскольку в этом случае выполнен *принцип инвариантности*: если для некоторого  $i$ , согласно модели узла, выполняется строгое неравенство  $f_i^{\text{out}}(t) < f_i^d(t)$ , то при увеличении требуемого потока  $f_i^d(t)$  все потоки  $f_{ij}(t)$  останутся такими же. В то же время, как предложено в статье [27], можно рассматривать коэффициенты приоритета, равные требуемым исходящим потокам:  $p_i(t) = f_i^d(t)$ . В этом случае несколько упрощаются формулы для результирующих потоков. В работах [13; 37] представлена модель транспортных потоков в сети, использующая именно такие значения коэффициентов приоритета.

Итак, модель узла определяет результирующие потоки  $f_{ij}(t)$  по требуемым исходящим и допустимым входящим потокам  $f_i^d(t)$ ,  $f_j^s(t)$ , и, возможно, дополнительным параметрам. В нашей модели дополнительными параметрами являются распределительная матрица  $B(t)$  и коэффициенты приоритета  $p_i$ . Приступим к изложению используемой нами модели узла. Для упрощения изложения зависимость всех величин от времени указывать не будем.

### 1.1.1.1 Алгоритм вычисления потоков в узле сети

Прежде чем вычислять потоки  $f_{ij}$ , вычисляются вспомогательные величины: ориентированные требуемые исходящие потоки  $f_{ij}^d = f_i^d \beta_{ij}$  и коэффициенты приоритета для направлений  $p_{ij} = p_i \beta_{ij}$ .

На любом шаге  $k$  алгоритма определены вспомогательные множества  $\mathcal{J}(k) \subseteq \{1, \dots, n\}$ ,  $\mathcal{V}_j(k) \subseteq \{1, \dots, m\}$ ,  $j \in \mathcal{J}(k)$ , и вспомогательные величины  $\tilde{f}_j^s(k)$ ,  $j \in \mathcal{J}(k)$ .

Множество  $\mathcal{J}(k)$  означает множество всех исходящих соединений с положительными приоритетами, потоки для которых до шага  $k$  не были определены. Величина  $\tilde{f}_j^s(k)$  есть остаток допустимого входящего потока  $j$ -го исходящего соединения, который на шаге  $k$  или позднее будет распределен по входящим соединениям из множества  $\mathcal{V}_j(k)$ , а также по входящим соединениям с нулевыми коэффициентами приоритета.

На первом шаге

$$\mathcal{J}(1) = \left\{ j : \sum_{i: p_i > 0} f_{ij}^d > 0 \right\}, \quad \mathcal{V}_j(1) = \{ i : p_i > 0, f_{ij}^d > 0 \}, \quad \tilde{f}_j^s(1) = f_j^s.$$

Ясно, что  $\mathcal{V}_j(1) \neq \emptyset$  для всех  $j \in \mathcal{J}(1)$ , и  $f_{ij} = 0$  для всех пар  $(i, j)$ , таких, что  $f_{ij}^d = 0$  или  $p_i > 0$ ,  $j \notin \mathcal{J}(1)$ .

Алгоритм начинается на шаге  $k = 1$ . Сначала вычисляются потоки  $f_{ij}$  для всех входящих соединений  $i$  со строго положительными коэффициентами приоритета  $p_i$ , и лишь после этого вычисляются потоки  $f_{ij}$  для входящих соединений с нулевыми приоритетами.

1. Если на шаге  $k$  множество  $\mathcal{J}(k)$  пустое, переходим на шаг 5.
2. Для каждого  $j \in \mathcal{J}(k)$  вычисляем

$$a_j(k) = \frac{\tilde{f}_j^s(k)}{\sum_{i \in \mathcal{V}_j(k)} p_{ij}}.$$

Далее будет показано, что величина в знаменателе строго положительна.

Среди всех  $a_j(k)$ ,  $j \in \mathcal{J}(k)$ , находим наименьшее значение  $\hat{a}(k)$ , пусть его индекс  $\hat{j}(k)$ , то есть  $\hat{a}(k) = a_{\hat{j}(k)}(k) = \min_{j \in \mathcal{J}(k)} a_j(k)$ .

3. Обозначим  $\mathcal{U}(k) = \{i \in \mathcal{V}_{j(k)}(k) : f_i^d \leq \hat{a}(k)p_i\}$ . Отметим, что неравенство  $f_i^d \leq \hat{a}(k)p_i$  для  $i \in \mathcal{V}_{j(k)}(k)$  эквивалентно неравенству  $f_{ij}^d \leq \hat{a}(k)p_{ij}$ .

(а) Если  $\mathcal{U}(k) \neq \emptyset$ , то для всех  $i \in \mathcal{U}(k)$  определяем потоки  $f_{ij} = f_{ij}^d$ ,  $j = 1, \dots, n$ , и пересчитываем вспомогательные множества и величины:

$$\begin{aligned} \mathcal{V}_j(k+1) &= \mathcal{V}_j(k) \setminus \mathcal{U}(k), & j \in \mathcal{J}(k), \\ \mathcal{J}(k+1) &= \{j \in \mathcal{J}(k) : \mathcal{V}_j(k+1) \neq \emptyset\}, \\ \tilde{f}_j^s(k+1) &= \tilde{f}_j^s(k) - \sum_{i \in \mathcal{U}(k)} f_{ij}^d, & j \in \mathcal{J}(k+1). \end{aligned}$$

(б) В противном случае для всех  $i \in \mathcal{V}_{j(k)}(k)$  и для всех  $j = 1, \dots, n$  определяем потоки  $f_{ij} = \hat{a}(k)p_{ij}$  и пересчитываем вспомогательные множества и величины:

$$\begin{aligned} \mathcal{V}_j(k+1) &= \mathcal{V}_j(k) \setminus \mathcal{V}_{j(k)}(k), & j \in \mathcal{J}(k), \\ \mathcal{J}(k+1) &= \{j \in \mathcal{J}(k) : \mathcal{V}_j(k+1) \neq \emptyset\}, \\ \tilde{f}_j^s(k+1) &= \tilde{f}_j^s(k) - \sum_{i \in \mathcal{V}_{j(k)}(k)} \hat{a}(k)p_{ij}, & j \in \mathcal{J}(k+1). \end{aligned}$$

Отметим, что в этом случае  $\hat{j}(k) \notin \mathcal{J}(k+1)$ .

4. Переходим на следующий шаг алгоритма:  $k \leftarrow k+1$  и возвращаемся к пункту 1.

5. Определяем потоки  $f_{ij}$  для входящих соединений с нулевыми приоритетами  $p_i = 0$  как в модели разветвления (эта модель будет разобрана позже, на стр. 16):

$$f_{ij} = \beta_{ij} \min \left\{ f_i^d, \min_{j: \beta_{ij} > 0} \frac{\tilde{f}_j^s(k)}{\beta_{ij}} \right\}.$$

На каждом шаге алгоритма определяются потоки  $f_{ij}$  по крайней мере для одного  $i$ , следовательно, алгоритм остановится не позднее, чем на шаге  $m+1$  (напомним, что  $m$  — число входящих соединений).

Несложно видеть, что как на первом шаге, так и на всех остальных, множество  $\mathcal{V}_j(k) \subseteq \mathcal{V}_j(1) = \{i : p_i^d > 0, f_{ij}^d > 0\}$  для всех  $j \in \mathcal{J}(k)$  содержит по крайней мере один элемент, а поскольку для всех  $i \in \mathcal{V}_j(k)$  справедливо неравенство  $f_i^d \beta_{ij} = f_{ij}^d > 0$ , то и  $p_{ij} = p_i \beta_{ij} > 0$ . Поскольку для каждого исходящего соединения  $j$  существует не более одного входящего соединения  $i$  с положительным требуемым потоком  $f_{ij}$  и нулевым приоритетом  $p_i$ , то формулы в пункте 5 корректны в том смысле, что для всех входящих соединений  $i$  выполнены неравенства  $\sum_{j=1}^n f_{ij} \leq f_i^d$ , а для всех исходящих соединений  $j$  выполнены неравенства  $\sum_{i=1}^m f_{ij} \leq \tilde{f}_j^s$ .

Также справедливо следующее утверждение.

**Утверждение 1.3.** Величина  $\hat{a}(k)$  не уменьшается: если алгоритм не завершился после шага  $k$ , то  $\hat{a}(k+1) \geq \hat{a}(k)$ .

*Доказательство.* Множества  $\mathcal{J}(k)$  и  $\mathcal{V}_j(k)$  не увеличиваются, то есть, справедливы включения  $\mathcal{J}(k+1) \subseteq \mathcal{J}(k)$  и  $\mathcal{V}_j(k+1) \subseteq \mathcal{V}_j(k)$  для  $j \in \mathcal{J}(k+1)$ . Обозначим  $\Delta\mathcal{V}_j(k) = \mathcal{V}_j(k) \setminus \mathcal{V}_j(k+1)$ . Ясно, что  $\mathcal{V}_j(k) = \mathcal{V}_j(k+1) \sqcup \Delta\mathcal{V}_j(k)$  (знак  $\sqcup$  обозначает объединение непересекающихся множеств). Справедлива цепочка неравенств

$$\tilde{f}_j^s(k+1) = \tilde{f}_j^s(k) - \sum_{i \in \Delta\mathcal{V}_j(k)} f_{ij} \geq a_j(k) \sum_{i \in \mathcal{V}_j(k)} p_{ij} - \hat{a}(k) \sum_{i \in \Delta\mathcal{V}_j(k)} p_{ij} \geq a_j(k) \sum_{i \in \mathcal{V}_j(k+1)} p_{ij},$$

откуда следует, что

$$a_j(k+1) = \frac{\tilde{f}_j^s(k+1)}{\sum_{i \in \mathcal{V}_j(k+1)} p_{ij}} \geq a_j(k).$$

С учетом того, что  $\mathcal{J}(k+1) \subseteq \mathcal{J}(k)$ , получаем

$$\hat{a}(k+1) = \min_{j \in \mathcal{J}(k+1)} a_j(k+1) \geq \min_{j \in \mathcal{J}(k+1)} a_j(k) \geq \min_{j \in \mathcal{J}(k)} a_j(k) = \hat{a}(k). \quad \square$$

### 1.1.1.2 Примеры вычисления результирующих потоков

Проиллюстрируем изложенный алгоритм на нескольких примерах.

**Простой узел** *Простым* мы называем узел с одним входящим соединением и одним исходящим соединением (рис. 1.2).

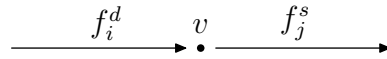


Рис. 1.2. Схема простого узла

В этом случае поток между входящим и исходящим ребром есть минимум из двух величин: требуемого исходящего потока входящего соединения  $f_i^d(t)$  и максимального входящего потока исходящего соединения  $f_i^s(t)$ :

$$f_{ij}(t) = \min\{f_i^d(t), f_j^s(t)\} = \min\{v_i n_i(t), F_i, F_j, w_j(N_j - n_j(t))\}.$$

**Разветвление дороги** Под *разветвлением* дороги мы понимаем узел с одним входящим и несколькими исходящими соединениями (рис. 1.3).

Пусть  $f^d$  — требуемый исходящий поток для единственного входящего ребра,  $f_j^d$  — допустимые входящие потоки для  $j$ -го исходящего ребра,  $j = 1, \dots, n$ ,  $f_j$  — реализующийся поток из входящего ребра в  $j$ -е исходящее.

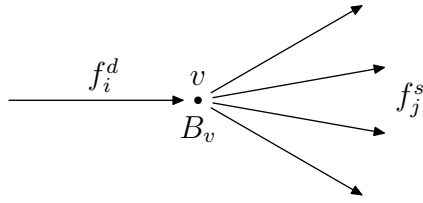


Рис. 1.3. Схема узла-разветвления

В случае разветвления дорог коэффициент приоритета  $p$  входящего ребра не влияет на вычисления результирующих потоков  $f_j$ , и важны лишь коэффициенты расщепления  $\beta_j$ : должно выполняться равенство  $f_{j_1}/\beta_{j_1} = f_{j_2}/\beta_{j_2}$  для всех  $j_1, j_2 \in \{1, \dots, n\}$ .

Алгоритм завершает работу за один шаг: вычисляется

$$\hat{a} = \frac{1}{p} \min_{j: \beta_j > 0} \frac{f_j^s}{\beta_j},$$

и сразу определяется суммарный исходящий поток для единственного входящего ребра

$$f = \min\{f^d, \hat{a}p\} = \min\left\{f^d, \min_{j: \beta_j > 0} \frac{f_j^s}{\beta_j}\right\}.$$

Поток из входящего в  $j$ -е исходящее ребро равен  $f_j = f\beta_j$ .

**Слияние дорог** Под *слиянием* дорог понимается узел с несколькими входящими и одним исходящим соединением (рис. 1.4).

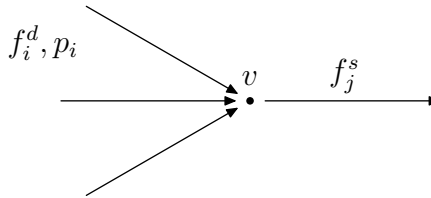


Рис. 1.4. Схема узла-слияния

Пусть  $f_i^d$  — требуемый исходящий поток для  $i$ -го входящего ребра,  $f^s$  — допустимый входящий поток для единственного исходящего ребра рассматриваемой вершины,  $f_i$  — искомый поток из  $i$ -го входящего в исходящее ребро.

Для слияния дорог на вычисление результирующих потоков не влияют коэффициенты расщепления  $\beta_i$  (они все должны быть равны единице), зато существенны коэффициенты приоритета  $p_i$ ,  $i = 1, \dots, m$ .

На каждом шаге определяется величина  $a(k) = \tilde{f}^s / \sum_{i \in \mathcal{V}(k)} p_i$ , где  $\tilde{f}^s = f^s - \sum_{i \notin \mathcal{V}(k)} f_i$ , величины  $f_i$ ,  $i \notin \mathcal{V}(k)$ , определены до шага  $k$  и  $f_i \leq a(k)f^s$  при  $i \notin \mathcal{V}(k)$ . Если на некотором шаге  $k$  для всех  $i \in \mathcal{V}(k)$  будет выполнено неравенство  $f_i^d > a(k)p_i$ , алгоритм остановится после шага  $k$ .

Пусть все коэффициенты приоритета  $p_i$  для входящих соединений с ненулевым требуемым исходящим потоком  $f_i^d$  строго положительны. Если  $\sum_{i=1}^m f_i^d \leq f^s$ , то результирующие потоки равны требуемым исходящим потокам:  $f_i = f_i^d$ . Если же  $\sum_{i=1}^m f_i^d > f^s$ , то, в сущности, ищется решение уравнения

$$\sum_{i=1}^m \min\{f_i^d, ap_i\} = f^s$$

относительно  $a$ . Решение существует и единственно, поскольку функция в левой части непрерывна и монотонно возрастает на отрезке  $[0, A]$ , где  $A = \max_{i \in \{1, \dots, m\}} (f_i^d / p_i)$ , от нуля при  $a = 0$  до  $\sum_{i=1}^m f_i^d > f^s$  при  $a = A$ . Результирующие потоки  $f_i = \min\{f_i^d, ap_i\}$ .

Если коэффициент приоритета одного входящего соединения  $i^*$  с положительным требуемым исходящим потоком  $f_{i^*}^d$  равен нулю, сначала вычисляются результирующие потоки  $f_i$  для всех остальных входящих соединений, как если бы этого соединения  $i^*$  с нулевым приоритетом вообще не было, затем вычисляется поток  $f_{i^*} = \min\{f_{i^*}^d, f^s - \sum_{i \neq i^*} f_i\}$ .

## 1.2 Модель транспортных потоков на автомагистрали

Изложенная ниже модель автомагистрали была предложена в статьях [36; 38] и диссертации [35]. Как уже было сказано, мы рассматриваем эту модель автомагистрали с измененной, как предложено в статье [29], моделью узла сети, поэтому свойства рассматриваемой нами модели отличаются от свойств оригинальной модели, изученных в работах [35; 36]. Также, кроме обыкновенной, незамкнутой автомагистрали, мы будем изучать свойства модели кольцевой автомагистрали.

На рисунке 1.5 изображена схема модели автомагистрали. Автомагистраль состоит из  $K$  соединенных последовательно ребер, которые в статьях [24; 25] называются *ячейками*, кроме того, в каждом узле может быть въезд и съезд. Въезд в начале и выезд в конце ячейки имеют тот же индекс, что и сама ячейка.

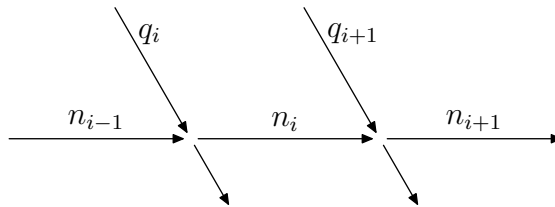


Рис. 1.5. Схема модели автомагистрали

Из утверждения 1.2 следует, что состояние выездов не влияет на изменение состояния других ячеек, если в начальный момент выезды не загружены, что мы будем предполагать. Поэтому состояние выездов мы рассматривать не будем.

Для основной ячейки  $i$  заданы следующие характеристики:

- $v_i$  скорость свободного движения,
- $w_i$  скорость распространения затора,
- $N_i$  максимальное число автомобилей в ячейке,
- $F_i$  пропускная способность ячейки.

Для въезда в  $i$ -ю ячейку заданы скорость свободного движения  $v_i^r$  и пропускная способность въезда  $R_i$ . Для выезда из  $i$ -й ячейки задана пропускная способность выезда  $S_i$ . Кроме того, для въездов и основных ячеек определены коэффициенты приоритета  $p_i^r, p_i^f > 0$ . Для упрощения рассуждений будем считать, что  $p_i^r + p_{i-1}^f = 1$ . Как и прежде, скорости  $v_i, v_i^r, w_i$  нормированы относительно длины ячейки и шага по времени, а пропускные способности  $F_i, R_i, S_i$  нормированы относительно шага по времени. Предположение (1.1) имеет вид

$$\frac{F_i}{v_i} + \frac{F_i}{w_i} \leq N_i. \quad (1.2)$$

Неравенства такого же вида должны выполняться для всех ячеек-съездов.

На въезде перед  $i$ -й ячейкой формируется очередь, величина  $q_i(t)$  обозначает число автомобилей в очереди перед  $i$ -й ячейкой на шаге  $t$ . Очередь увеличивается за счет *входного потока*  $d_i(t)$  и уменьшается за счет потока автомобилей из очереди в основную ячейку  $r_i(t)$ . Входной поток  $d_i(t)$  есть число автомобилей, подъезжающих к  $i$ -му въезду на шаге  $t$ ;  $r_i(t)$  есть число автомобилей, перемещающихся из очереди перед  $i$ -й ячейкой в  $i$ -ю основную ячейку на шаге  $t$ .

Пусть  $f_i(t)$  — поток из  $i$ -й основной ячейки в  $(i+1)$ -ю на шаге  $t$ ,  $s_i(t)$  — поток из  $i$ -й основной ячейки в съезд в конце ячейки.

Позиция рассматриваемой системы есть тройка  $\{t, n(t), q(t)\}$ . Число автомобилей в ячейках и в очередях перед въездами меняется по следующему закону:

$$\begin{aligned} n_i(t+1) &= n_i(t) + f_{i-1}(t) + r_i(t) - f_i(t) - s_i(t), \\ q_i(t+1) &= q_i(t) + d_i(t) - r_i(t). \end{aligned}$$

### 1.2.1 Модель узла автомагистрали

Распределительные матрицы в узлах следующие. Весь поток со въезда переходит в основную ячейку, но не в выезд из предыдущей ячейки, а коэффициенты расщепления для потока из основной ячейки постоянны:

$$\frac{f_i(t)}{s_i(t)} = \frac{\beta_i^f}{\beta_i^s}, \quad \beta_i^f, \beta_i^s \geq 0, \quad \beta_i^f + \beta_i^s = 1.$$

В частности, если у  $i$ -й ячейки нет выезда, то  $\beta_i^s = 0$ . В модели кольцевой автомагистрали требуется, чтобы на автомагистрали был по крайней мере один выезд, то есть должно выполняться строгое неравенство

$$\prod_{i=1}^K \frac{1}{\beta_i^f} > 1.$$

В статье [39] показано, что коэффициенты расщепления для потоков из основных ячеек меняются довольно медленно и можно с некоторой погрешностью считать их постоянными для интервала времени порядка нескольких часов. В работе [40] приведен алгоритм оценивания, в том числе, коэффициентов расщепления по неполным данным измерений.

Для всех  $i$  определяются требуемые исходящие потоки для основных ячеек автомагистрали  $f_i^d(t)$  и въездов  $r_i^d(t)$ :

$$f_i^d(t) = \min\{\beta_i^f v_i n_i(t), F_i^d\}, \quad r_i^d(t) = \min\{v_i^r q_i(t), R_i\},$$

и допустимые входящие потоки для основных ячеек автомагистрали

$$f_i^s(t) = \min\{w_i(N_i - n_i(t)), F_i^s\}.$$

Здесь  $F_i^s = F_i$ ,

$$F_i^d = \begin{cases} F_i, & \text{если } \beta_i^s = 0, \\ \beta_i^f \min\{F_i, S_i/\beta_i^s\}, & \text{если } \beta_i^s > 0. \end{cases}$$

В таком определении величины  $F_i^d$  и требуемого исходящего потока  $f_i^d(t)$  учтены ограничения, накладываемые максимальным входящим потоком для выезда  $s_i^s(t) = S_i$ .

Потоки  $f_{i-1}(t)$ ,  $s_{i-1}(t)$ ,  $r_i(t)$  определяются по требуемым исходящим потокам  $f_{i-1}^d(t)$ ,  $r_i^d(t)$  и допустимым входящим потокам  $f_i^s(t)$ ,  $s_{i-1}^s(t) = S_{i-1}$  (рисунок 1.6) по следующему правилу, называемому, как уже было сказано, *моделью узла*.

1. Если  $f_{i-1}^d(t) + r_i^d(t) \leq f_i^s(t)$ , то  $f_{i-1}(t) = f_{i-1}^d(t)$ ,  $r_i(t) = r_i^d(t)$ .

2. В противном случае учитываем коэффициенты приоритета.

(а) Если  $f_{i-1}^d(t) \leq p_{i-1}^f f_i^s(t)$ , то  $f_{i-1}(t) = f_{i-1}^d(t)$ ,  $r_i(t) = f_i^s(t) - f_{i-1}^d(t)$ .

(б) Если  $r_i^d(t) \leq p_i^r f_i^s(t)$ , то  $r_i(t) = r_i^d(t)$ ,  $f_{i-1}(t) = f_i^s(t) - r_i^d(t)$ .

(с) Иначе  $f_{i-1}(t) = p_{i-1}^f f_i^s(t)$ ,  $r_i(t) = p_i^r f_i^s(t)$ .

Наконец, во всех четырех случаях  $s_{i-1}(t) = (\beta_i^s/\beta_i^f) f_{i-1}(t)$ . Можно выписать формулу для потоков  $f_{i-1}(t)$ ,  $r_i(t)$ , охватывающую все случаи:

$$f_{i-1}(t) = \min\{\max\{f_i^s(t) - r_i^d(t), p_{i-1}^f f_i^s(t)\}, f_{i-1}^d(t)\},$$

$$r_i(t) = \min\{\max\{f_i^s(t) - f_{i-1}^d(t), p_i^r f_i^s(t)\}, r_i^d(t)\}.$$

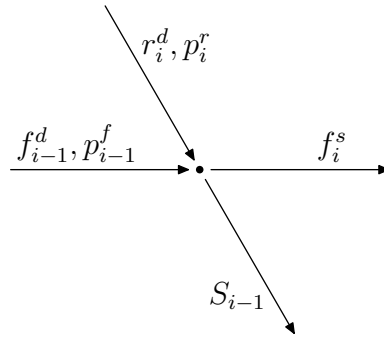


Рис. 1.6. Схема узла в модели автомагистрали

### 1.2.2 Краевые условия

В модели кольцевой автомагистрали нулевая ячейка эквивалентна  $K$ -й, а  $(K+1)$ -я эквивалентна первой. Далее равенство индексов в модели кольцевой автомагистрали понимается как эквивалентность по модулю  $K$ .

В модели обычной, незамкнутой, автомагистрали дополнительно вводится нулевая ячейка, которая в терминах общей модели транспортной сети также является въездом, то есть число автомобилей в ней может неограниченно расти. Для нулевой ячейки, как для остальных въездов, определены скорость свободного движения  $v_0$  и пропускная способность  $F_0$ . Также задан входной поток  $f_{-1}(t)$ .

Также в модели незамкнутой автомагистрали добавляется ячейка-выезд после последней,  $K$ -й ячейки,  $F_{K+1}^s = F_{K+1}$  — пропускная способность этой дополнительной,  $(K+1)$ -й ячейки. Поток из  $K$ -й ячейки в  $(K+1)$ -ю есть  $f_K(t) = \min\{f_K^d(t), F_{K+1}^s\}$ .

**Обозначения** Для векторов  $x, y \in \mathbb{R}^n$  вводим следующие обозначения:

$$\begin{array}{ll}
 x \leq y \text{ или } u \geq x & x_i \leq y_i, i = 1, \dots, n, \\
 \text{запись } x < y \text{ или } y > x & \text{означает } x \leq y, x \neq y, \\
 x \ll y \text{ или } y \gg x & x_i < y_i, i = 1, \dots, n.
 \end{array}$$

## 1.3 Пропускная способность автомагистрали

Этот параграф дополняет статью [41].

К понятию пропускной способности автомагистрали нас приведет решение задачи о минимизации общего времени в пути. Перед тем, как сформулировать эту задачу, введем понятие контролируемого уровня концентраций.

### 1.3.1 Контролируемые уровни концентраций

Для обычной, то есть незамкнутой, или кольцевой автомагистрали будем решать следующую задачу. Найти такие уровни концентраций  $n^*$ , соответствующие свободному движению, которые можно поддерживать сколь угодно долго за счет управления в виде ограничения на потоки со въездов.

Управление для каждого въезда  $u_i(t) \geq 0$  ограничивает требуемый поток со въезда:

$$r_i^d(t) = \min\{v_i^r q_i(t), R_i, u_i(t)\},$$

а также

$$f_0^d(t) = \min\{v_0 n_0(t), F_0, u_0(t)\},$$

в модели незамкнутой автомагистрали. Необходимо найти векторы  $n^*$ , такие, что  $n^*$  соответствует свободному потоку во всех ячейках автомагистрали, и для любого  $n(t) \leq n^*$  найдется управление  $u(t)$  такое, что под действием этого управления траектория системы остается во множестве  $\mathcal{N}^* = \{n: 0 \leq n \leq n^*\}$ , то есть, выполнено неравенство  $n(t+1) \leq n^*$ . Такие векторы  $n^*$  назовем *контролируемыми уровнями концентраций*.

В дальнейшем нам потребуется следующая лемма.

**Лемма 1.1** (о монотонности). *Рассмотрим два состояния динамической системы, соответствующей кольцевой или обычной автомагистрали,  $(q^1(t), n^1(t))$  и  $(q^2(t), n^2(t))$ . Справедливы следующие утверждения.*

1. Если  $q^1(t) \leq q^2(t)$  и  $n^1(t) \leq n^2(t)$ , то  $q^1(t+1) \leq q^2(t+1)$ ,  $n^1(t+1) \leq n^2(t+1)$ .
2. Если  $r^{1,d}(t) \leq r^{2,d}(t)$  (а также  $f_0^{1,d}(t) \leq f_0^{2,d}(t)$ , в модели незамкнутой автомагистрали) и  $n^1(t) \leq n^2(t)$ , то  $r^1(t) \leq r^2(t)$ ,  $n^1(t+1) \leq n^2(t+1)$ .

*Доказательство.* Оба утверждения достаточно доказать для различающихся лишь в одной компоненте векторов  $n$ ,  $q$  или  $r^d$ .

Пусть  $q^1(t) = q^2(t)$ , или, в доказательстве второй части леммы,  $r^{1,d}(t) = r^{2,d}(t)$ . Пусть векторы  $n^1(t)$  и  $n^2(t)$  различаются не более чем в одной компоненте:  $n_i^1(t) \leq n_i^2(t)$  для некоторого  $i$ ,  $n_j^1(t) = n_j^2(t)$  при  $j \neq i$ . Ясно, что  $n_j^1(t+1) = n_j^2(t+1)$ , если  $j \neq i$ ,  $j \neq i \pm 1$ . Поскольку  $f_i^{1,d}(t) \leq f_i^{2,d}(t)$ , то  $n_{i+1}^1(t+1) \leq n_{i+1}^2(t+1)$ . Поскольку  $f_i^{1,s}(t) \geq f_i^{2,s}(t)$ , то  $n_{i-1}^1(t+1) \leq n_{i-1}^2(t+1)$ . Далее,

$$n_i(t+1) = n_i(t) + f_{i-1}(t) + r_i(t) - f_i(t)/\beta_i^f,$$

где

$$\begin{aligned}
f_{i-1}(t) + r_i(t) &= \min\{f_{i-1}^d(t) + r_i(t), f_i^s(t)\} = \\
&= \min\{f_{i-1}^d(t) + r_i(t), F_i^s, w_i(N_i - n_i(t))\}, \\
f_i(t) &= \min\{\max\{f_{i+1}^s(t) - r_{i+1}^d(t), p_i^f f_{i+1}^s(t)\}, f_i^d(t)\} = \\
&= \min\{\max\{f_{i+1}^s(t) - r_{i+1}^d(t), p_i^f f_{i+1}^s(t)\}, \beta_i^f v_i n_i(t), F_i^d\}.
\end{aligned}$$

Неравенства  $\beta_i^f v_i n_i(t) \leq F_i^d$  и  $w_i(N_i - n_i(t)) \leq F_i^s$ , согласно предположению 1.2, одновременно выполняться не могут, поэтому  $n_i(t+1)$  строго возрастает как функция от  $n_i(t)$ , следовательно,  $n_i^1(t+1) \leq n_i^2(t+1)$ . В случае незамкнутой автомагистрали для нулевой и последней,  $(K+1)$ -й, ячейки величина  $n_i(t+1)$ ,  $i = 0, K+1$ , также монотонно возрастает как функция от  $n_i(t)$ :  $n_0(t+1) = n_0(t) + f_{-1}(t) - f_0(t)$ , поток  $f_{-1}(t)$  задан и не зависит от  $n_0(t)$ , поток  $f_0(t)$  определяется по общей формуле;  $n_{K+1}(t+1) = n_{K+1}(t) + f_K(t) - f_{K+1}^d(t)$ , поток  $f_K(t)$  определяется по общей формуле при  $r_{K+1}^d(t) = 0$ .

Пусть  $n^1(t) = n^2(t)$ ,  $q^1(t) \leq q^2(t)$ . Ясно, что в этом случае  $r^{1,d}(t) \leq r^{2,d}(t)$ , поэтому  $n^1(t+1) \leq n^2(t+1)$ . Что касается длин очередей,

$$q_i(t+1) = q_i(t) + d_i(t) - r_i(t),$$

поток со въезда  $r_i(t)$  определяется по формуле

$$r_i(t) = \min\{\max\{p_i^r f_i^s(t), f_i^s(t) - f_{i-1}^d(t)\}, r_i^d\},$$

поэтому  $q_i(t+1)$  строго возрастает как функция от  $q_i(t)$ .

Наконец, в случае  $n^1(t) = n^2(t)$ ,  $f^{1,d}(t) \leq f^{2,d}(t)$ , разумеется,  $n^1(t+1) \leq n^2(t+1)$ .  $\square$

Лемма о монотонности была доказана для несколько иной модели в работах [35; 36].

Из леммы о монотонности следует, что  $n^* \leq n^u$ , где  $n_i^u = F_i^d / (\beta_i^f v_i)$ , является контролируемым уровнем концентраций, если при  $n(t) = n^*$  и  $r(t) = 0$  выполнено неравенство  $n(t+1) \leq n^*$ :

$$n_i^* \geq n_i(t+1) = n_i^* + f_{i-1}(t) - f_i(t) / \beta_i^f,$$

что эквивалентно неравенству  $f_{i-1}^* \leq f_i^* / \beta_i^f$  для всех  $i$ , а в модели незамкнутой автомагистрали для  $i = 1, \dots, K+1$ . Здесь  $f_i^* = \min\{f_i^d(n^*), f_{i+1}^s(n^*)\} = \min\{\beta_i^f v_i n_i^*, F_{i+1}^s\}$ , а в модели незамкнутой автомагистрали  $f_{K+1}^* = v_{K+1} n_{K+1}^*$ . Пусть  $f^*$  — вектор потоков, такой, что выполнены неравенства  $f_i^* \leq F_i^d$  для всех  $i$ ,  $f_i^* \leq F_{i+1}^s$  для всех  $i$ , кроме  $i = K+1$ , в модели незамкнутой автомагистрали, а также  $f_{i-1}^* \leq f_i^* / \beta_i^*$ , для всех  $i$ , кроме  $i = 0$ , в модели незамкнутой автомагистрали. Отметим, что из неравенств  $f_i^* \leq F_i^d$  и  $f_{i-1}^* \leq f_i^* / \beta_i^*$  следует неравенство  $f_{i-1}^* \leq F_i^s$ . Тогда вектор  $n^*$  с компонентами  $n_i^* = f_i^* / (\beta_i^f v_i)$  является контролируемым вектором концентраций.

### 1.3.2 Задача минимизации общего времени в пути

Общим временем в пути на интервале времени  $[\tau, \vartheta]$  назовем функционал

$$T(\tau, \vartheta) = \sum_{t=\tau}^{\vartheta} \sum_{i=1}^K q_i(t) + \sum_{t=\tau}^{\vartheta} \sum_{i=0}^{K+1} n_i(t)$$

в модели незамкнутой автомагистрали, и

$$T(\tau, \vartheta) = \sum_{t=\tau}^{\vartheta} \sum_{i=1}^K (q_i(t) + n_i(t))$$

в модели кольцевой автомагистрали.

Поскольку

$$\begin{aligned} q_i(t+1) &= q_i(t) + d_i(t) - r_i(t), \\ n_i(t+1) &= n_i(t) + r_i(t) + f_{i-1}(t) - f_i(t) - s_i(t), \end{aligned}$$

то можно преобразовать выражения для общего времени в пути следующим образом. Для кольцевой автомагистрали

$$\begin{aligned} T(\tau, \vartheta) &= \sum_{t=\tau}^{\vartheta} \sum_{i=1}^K (q_i(t) + n_i(t)) = \\ &= \sum_{i=1}^K (q_i(\tau) + n_i(\tau)) + \sum_{t=\tau}^{\vartheta-1} \sum_{i=1}^K (q_i(t) + n_i(t) + d_i(t) - s_i(t)) = \\ &= \sum_{i=1}^K (q_i(\tau) + n_i(\tau)) + T(\tau, \vartheta-1) + \sum_{t=\tau}^{\vartheta-1} \sum_{i=1}^K (d_i(t) - s_i(t)) = \dots = \\ &= (\vartheta - \tau + 1) \sum_{i=1}^K (q_i(\tau) + n_i(\tau)) + \sum_{t=\tau}^{\vartheta-1} (\vartheta - t) \sum_{i=1}^K (d_i(t) - s_i(t)). \end{aligned}$$

Аналогично, для незамкнутой автомагистрали

$$T(\tau, \vartheta) = (\vartheta - \tau + 1) \left( \sum_{i=1}^K q_i(\tau) + \sum_{i=0}^{K+1} n_i(\tau) \right) + \sum_{t=\tau}^{\vartheta-1} (\vartheta - t) \left( f_{-1}(t) + \sum_{i=1}^K (d_i(t) - s_i(t)) - f_{K+1}(t) \right).$$

Будем решать задачу о минимизации общего времени в пути в стационарном случае, то есть когда входные потоки  $d$ , число автомобилей в ячейках  $n$  (за исключением нулевой ячейки в модели незамкнутой автомагистрали), потоки со въездов и между ячейками  $r$ ,  $f$  постоянны. Поскольку входные потоки  $d$ ,  $f_{-1}$  и начальные длины очередей заданы, нужно минимизировать выражение

$$(\vartheta - \tau + 1) \sum_{i=1}^K n_i - \frac{(\vartheta - t + 1)(\vartheta - \tau)}{2} \sum_{i=1}^K s_i$$

в модели кольцевой автомагистрали или

$$(\vartheta - \tau + 1) \sum_{i=1}^{K+1} n_i - \frac{(\vartheta - t + 1)(\vartheta - \tau)}{2} \left( \sum_{i=1}^K s_i + f_{K+1} \right)$$

в модели незамкнутой автомагистрали, при условии, что существует равновесное состояние  $(n, r, f)$ , в котором  $r \leq d$ ,  $r \leq R$  (а также  $f_0 \leq f_{-1}$ ,  $f_0 \leq F_0$  в модели незамкнутой автомагистрали) и  $s_i/\beta_i^s = f_i/\beta_i^f$  для всех  $i$ .

**Утверждение 1.4.** *Минимум в задаче минимизации общего времени движения достигается при  $n_i \leq F_i^d/\beta_i^f v_i$ ,  $i = 1, \dots, K$  (а также  $n_{K+1} \leq F_{K+1}/v_{K+1}$ ) для незамкнутой автомагистрали).*

*Доказательство.* Действительно, пусть  $(n, r, f)$  — некоторое состояние равновесия. Обозначим  $n_i^u(f) = f_i/(\beta_i^f v_i)$ . Ясно, что  $n^u(t) \leq F^d$ . Тройка  $(n^u(f), r, f)$  также является состоянием равновесия, причем  $n \geq n^u(f)$ , поэтому значение функционала общего времени движения в состоянии  $(n^u(f), r, f)$ , во всяком случае, не больше, чем в состоянии  $(n, f, r)$ .  $\square$

С учетом только что доказанного утверждения, будем рассматривать лишь  $n \leq n^u$ , где  $n_i^u = F_i/(\beta_i^f v_i)$ ,  $i = 1, \dots, K$ , а в модели незамкнутой автомагистрали  $n_{K+1}^u = F_{K+1}/v_{K+1}$ . Несложно видеть, что при этом в решении задачи о минимизации общего времени движения в стационарном случае вектор  $n$  является контролируемым уровнем концентраций.

Будем увеличивать временной интервал:  $\vartheta - \tau \rightarrow +\infty$ . При этом задача об отыскании наименьшего общего времени в пути в стационарном случае перейдет в следующую задачу. Обозначим  $\bar{r}_i = \min\{d_i, R_i\}$ . Для кольцевой автомагистрали

$$\begin{cases} 0 \leq f_i \leq F_i^d, & i = 1, \dots, K, \\ 0 \leq f_i/\beta_i^f - f_{i-1} \leq \bar{r}_i, & i = 1, \dots, K, \\ \sum_{i=1}^K \frac{\beta_i^s}{\beta_i^f} f_i \rightarrow \max. \end{cases} \quad (1.3)$$

Для незамкнутой автомагистрали обозначим дополнительно  $\bar{f}_0 = \min\{f_{-1}, F_0\}$ ,  $\beta_{K+1}^f = 1$ ,  $\bar{r}_{K+1} = 0$ . Задача о наименьшем общем времени в пути имеет вид

$$\begin{cases} 0 \leq f_i \leq F_i^d, & i = 1, \dots, K+1, \\ 0 \leq f_i/\beta_i^f - f_{i-1} \leq \bar{r}_i, & i = 1, \dots, K+1, \\ 0 \leq f_0 \leq \bar{f}_0, \\ \sum_{i=1}^K \frac{\beta_i^s}{\beta_i^f} f_i + f_{K+1} \rightarrow \max. \end{cases} \quad (1.4)$$

Максимизируемое выражение в обоих случаях является суммой исходящих потоков  $s_i$  и  $f_{K+1}$  для незамкнутой автомагистрали. Поэтому имеет смысл значение максимизируемого выражения на решении задачи при достаточно больших входных потоках  $d_i$ ,  $f_{-1}$ , а именно, при  $d_i \geq R_i$ ,  $f_{-1} \geq F_0$ , назвать *пропускной способностью автомагистрали*.

### 1.3.2.1 Пропускная способность незамкнутой автомагистрали

Для незамкнутой автомагистрали задача (1.4), и, в частности, задача о пропускной способности, решается явно. Для этого вычислим вектор, ограничивающий сверху все равновесные потоки  $\bar{f}$  по следующему правилу:  $\bar{f}_0$  уже задан:  $\bar{f}_0 = \min\{f_{-1}, F_0\}$ , а поток  $\bar{f}_i$  вычисляется через  $\bar{f}_{i-1}$ :

$$\bar{f}_i = \min\{\beta_i^f(\bar{f}_{i-1} + \bar{r}_i), F_i^d\}, \quad i = 1, \dots, K + 1.$$

После этого пересчитываем максимальные равновесные потоки  $f^*$  таким образом, чтобы выполнялось неравенство  $f_{i-1}^* \leq f_i^*/\beta_i^f$  для  $i = 1, \dots, K + 1$ :  $f_{K+1}^* = \bar{f}_{K+1}$ ,

$$f_{i-1}^* = \min\{f_i^*/\beta_i^f, \bar{f}_{i-1}\}, \quad i = K + 1, \dots, 1.$$

При этом  $f_i^*/\beta_i^f - f_{i-1}^* \geq 0$ , и в то же время, поскольку  $f_i^* \leq \bar{f}_i \leq \beta_i^f(\bar{f}_{i-1} + \bar{r}_i)$ ,

$$f_i^*/\beta_i^f - f_{i-1}^* = \max\{0, f_i^*/\beta_i^f - \bar{f}_{i-1}\} \leq \bar{r}_i.$$

Понятно, что при таком определении  $f^*$  — максимальный равновесный поток для заданных входных потоков  $d, f_{-1}$ .

Значение максимизируемого функционала на решении задачи (1.4), таким образом, есть

$$\sum_{i=1}^K \frac{\beta_i^s}{\beta_i^f} f_i^*(f_{-1}, r) + f_{K+1}^*(f_{-1}, r),$$

а пропускная способность незамкнутой автомагистрали равна

$$\sum_{i=1}^K \frac{\beta_i^s}{\beta_i^f} f_i^*(F_0, R) + f_{K+1}^*(F_0, R).$$

### 1.3.2.2 Пропускная способность кольцевой автомагистрали

Поскольку решение задачи (1.3) о пропускной способности автомагистрали содержит контролируемый уровень концентраций, то для равновесного потока  $f^*$  должны выполняться неравенства  $f_{i-1}^* \leq f_i^*/\beta_i^f$  для всех  $i$ , а поскольку  $f^* \leq F^d$ , то

$$f_i^* \leq F_i^* = \min \left\{ F_i^d, F_{i+1}^d \frac{1}{\beta_{i+1}^f}, F_{i+2}^d \frac{1}{\beta_{i+1}^f \beta_{i+2}^f}, \dots, F_{i+K-1}^d \prod_{k=1}^{K-1} \frac{1}{\beta_{i+k}^f} \right\}.$$

Для вектора  $F^*$  справедливо следующее утверждение.

**Утверждение 1.5.** Для всех  $i$  справедливо неравенство  $F_{i-1}^* \leq F_i^*/\beta_i^*$ .

*Доказательство.* Указанное неравенство следует из представления

$$F_{i-1}^* = \min \left\{ F_{i-1}^d, F_i^d \frac{1}{\beta_i^f}, F_{i+1}^d \frac{1}{\beta_i^f \beta_{i+1}^f}, \dots, F_{i+K-2}^d \prod_{k=1}^{K-1} \frac{1}{\beta_{i-1+k}^f} \right\}$$

$$\frac{F_i^*}{\beta_i^f} = \min \left\{ F_i^d \frac{1}{\beta_i^f}, F_{i+1}^d \frac{1}{\beta_i^f \beta_{i+1}^f}, \dots, F_{i+K-2}^d \prod_{k=1}^{K-1} \frac{1}{\beta_{i-1+k}^f}, F_{i+K-1}^d \prod_{k=1}^K \frac{1}{\beta_{i-1+k}^f} \right\}.$$

Поскольку  $F_{i-1}^d$  и  $F_{i+K-1}^d$  — это одно и то же число и  $\prod_{k=1}^K (\beta_{i-1+k}^f)^{-1} > 1$ , то  $F_{i-1}^* \leq F_i^*/\beta_i^f$ .  $\square$

Положим  $\bar{f}_0(f_K) = f_K$ ,

$$\bar{f}_i(f_K) = \min\{\beta_i^f(\bar{f}_{i-1}(f_K) + \bar{r}_i), F_i^d\}, \quad i = 1, \dots, K.$$

Для решения задачи о пропускной способности нам потребуется следующая лемма.

**Лемма 1.2.** *Если для некоторого  $f_K$ ,  $0 \leq f_K \leq F_K^*$ , справедливо неравенство  $\bar{f}_K(f_K) \geq f_K$ , то поток  $f^*(f_K)$ , определенный по формулам  $f_K^*(f_K) = f_K$ ,*

$$f_k^*(f_K) = \min\{f_{i+1}^*(f_K)/\beta_{i+1}^f, \bar{f}_i(f_K)\}, \quad i = K-1, \dots, 1,$$

*является наибольшим равновесным потоком с заданной компонентой  $f_K$ .*

*Доказательство.* Из неравенства  $F_{i-1}^* \leq F_i^*/\beta_i^f$ , справедливого для всех  $i$ , следует, что для всех  $i = 1, \dots, K$  выполнено неравенство

$$F_i^d \geq F_i^* \geq \beta_i^f F_{i-1}^* \geq \dots \geq F_K^* \prod_{k=1}^i \beta_k^f.$$

Далее, если  $\bar{f}_{i-1}(f_K) \geq f_K \prod_{k=1}^{i-1} \beta_k^f$ , то

$$F_i^d \geq F_K^* \prod_{k=1}^i \beta_k^f \geq f_K \prod_{k=1}^i \beta_k^f \quad \text{и} \quad \beta_i^f(\bar{f}_{i-1}(f_K) + \bar{r}_i) \geq \beta_i^f \bar{f}_{i-1}(f_K) \geq f_K \prod_{k=1}^i \beta_k^f,$$

поэтому

$$\bar{f}_i(f_K) = \min\{\beta_i^f(\bar{f}_{i-1}(f_K) + \bar{r}_i), F_i^d\} \geq f_K \prod_{k=1}^i \beta_k^f.$$

Поскольку для  $i = 0$  неравенство  $f_K = \bar{f}_0(f_K) \leq f_K$  справедливо, то

$$\bar{f}_i(f_K) \geq f_K \prod_{k=1}^i \beta_k^f, \quad i = 1, \dots, K.$$

Далее, пусть для некоторого  $i$  справедливо неравенство  $f_{i+1}^*(f_K) \geq f_K \prod_{k=1}^{i+1} \beta_k^f$ . Тогда

$$f_i^*(f_K) = \min\{f_{i+1}^*(f_K)/\beta_{i+1}^f, \bar{f}_i(f_K)\} \geq f_K \prod_{k=1}^i \beta_k^f.$$

Для  $i + 1 = K$  неравенство  $f_K^*(f_K) = f_K \geq f_K \prod_{k=1}^K \beta_k^f$  справедливо. Следовательно, неравенство  $f_i^*(f_K) \geq f_K \prod_{k=1}^i \beta_k^f$  выполнено для всех  $i = K, \dots, 1$ . Поэтому

$$f_K = f_K^*(f_K) = f_0^*(f_K) = \min\{f_1^*(f_K)/\beta_1^f, \bar{f}_0(f_K)\}.$$

Далее, для всех без исключения  $i$  справедливо неравенство  $f_{i-1}^*(f_K) \leq f_i^*(f_K)/\beta_i^f$ , и, кроме того,  $f_i^*(f_K) \leq \bar{f}_i(f_K) \leq \beta_i^f(\bar{f}_{i-1}(f_K) + \bar{r}_i)$ , поэтому

$$f_i^*(f_K)/\beta_i^f - f_{i-1}^*(f_K) = \max\{0, f_i^*(f_K)/\beta_i^f - \bar{f}_{i-1}(f_K)\} \leq \bar{r}_i.$$

Таким образом, для всех  $i$  выполнены неравенства  $0 \leq f_i^*(f_K)/\beta_i^f - f_{i-1}^*(f_K) \leq \bar{r}_i$ , следовательно, вектор  $f^*(f_K)$  является равновесным потоком.

Вектор  $\bar{f}(f_K)$ , очевидно, ограничивает сверху значения равновесных векторов потоков с заданной компонентой  $f_K$ , а определение вектора  $f^*(f_K)$  дополнительно обеспечивает выполнение условия  $f_{i-1}^* \leq f_i^*/\beta_i^f$ . Максимальность вектора  $f^*(f_K)$  среди всех векторов с заданной компонентой  $f_K$ , таким образом, следует из самого определения  $f^*(f_K)$ .  $\square$

Справедливо следующее утверждение.

**Утверждение 1.6.** *Если  $\bar{f}_K(F_K^*) \geq F_K^*$ , то вектор  $f^*(F_K^*)$  является решением задачи (1.3).*

*Доказательство.* Ранее было показано, что для любого равновесного вектора потоков  $f^*$  выполнено неравенство  $f^* \leq F^*$ . Кроме того, согласно лемме 1.2,  $f^*(F_K^*)$  есть максимальный из равновесных векторов с заданной компонентой  $F_K^*$ .  $\square$

Если же  $\bar{f}_K(F_K^*) < F_K^*$ , то решение задачи о пропускной способности кольцевой автомагистрали можно отыскать следующим образом.

**Утверждение 1.7.** *Если  $\bar{f}_K(F_K^*) < F_K^*$ , то на отрезке  $[0, F_K^*]$  существует единственный корень  $f_K^*$  уравнения  $\bar{f}_K(f_K) = f_K$ , и максимум в задаче (1.3) достигается на векторе  $f^*(f_K^*)$ , где  $f_K^*$  — решение уравнения  $\bar{f}_K(f_K) = f_K$ .*

*Доказательство.* Функция  $\bar{f}_K(f_K)$  представляет собою минимум из функций, линейных по  $f_K$ , и, следовательно, является вогнутой функцией.

При  $\bar{r} = 0$  единственный корень уравнения  $\bar{f}_K(f_K) = f_K$  на отрезке  $[0, F_K^*]$  есть  $f_K^* = 0$ , поскольку при  $f_K > 0$  справедливо неравенство

$$\bar{f}_K(f_K) \leq \beta_K^f \bar{f}_{K-1}(f_K) \leq \dots \leq f_K \prod_{i=1}^K \beta_i^f < f_K.$$

При  $\bar{r} > 0$  справедливы строгие неравенства  $\bar{f}_K(0) > 0$ ,  $\bar{f}_K(F_K^*) - F_K^* < 0$ , и функция  $\bar{f}_K(f_K) - f_K$  вогнутая, следовательно, существует единственный корень  $f_K^*$  уравнения  $\bar{f}_K(f_K) - f_K = 0$  на отрезке  $[0, F_K^*]$ , причем  $\bar{f}_K(f_K) < f_K$  при  $f_K^* < f_K \leq F_K^*$ .

Согласно лемме 1.2,  $f^*(f_K^*)$  есть максимальный из равновесных векторов с заданной компонентой  $f_K^*$ , следовательно, он и является решением задачи (1.3).  $\square$

### 1.3.3 Уровень загруженности автомагистрали

Выберем некоторый контролируемый уровень концентраций  $n^* \gg 0$ , например, уровень концентраций, соответствующий решению задачи о пропускной способности. Для любого состояния системы в момент времени  $t$ , а точнее, для любого вектора состояний основных ячеек  $n(t)$ , можно определить *уровень загруженности автомагистрали*  $c(t)$  как число шагов, за которое можно привести систему во множество  $\mathcal{N}^* = \{n: 0 \leq n \leq n^*\}$  за счет ограничения потоков со въездов:

$$c(t) = c(n(t)) = \min_{u(\cdot)} \min\{\Delta t \geq 0: n(t + \Delta t) \leq n^*\}.$$

Для уровня загруженности автомагистрали справедливы следующие свойства.

**Утверждение 1.8.** *Автомагистраль разгружается быстрее всего при  $u \equiv 0$ , то есть когда все въезды перекрыты.*

*Доказательство.* Действительно, пусть  $0 \leq n^1(t) = n^2(t) \leq N$ ,  $0 = u^1(t + \Delta t) \leq u^2(t + \Delta t)$ . Тогда  $0 = r^{1,d}(t) \leq r^{2,d}(t)$  (а также  $0 = f_0^{1,d}(t) \leq f_0^{2,d}(t)$  в модели незамкнутой автомагистрали). В силу леммы 1.1 о монотонности,  $n^1(t + 1) \leq n^2(t + 1)$ .

Из неравенства  $n^1(t + \Delta t) \leq n^2(t + \Delta t)$  следует неравенство  $n^1(t + \Delta t + 1) \leq n^2(t + \Delta t + 1)$ . Применяя математическую индукцию, получаем, что неравенство  $n^1(t + \Delta t) \leq n^2(t + \Delta t)$  справедливо для всех  $\Delta t = 0, 1, 2, \dots$ .  $\square$

**Утверждение 1.9.** *Определение уровня загруженности автомагистрали корректно.*

*Доказательство.* Поскольку дорога разгружается быстрее всего, когда перекрыты въезды, то уровень загруженности автомагистрали не зависит от входных потоков  $d$  (и  $f_{-1}$ , для незамкнутой автомагистрали) и длин очередей  $q(t)$  (и  $n_0(t)$ ).  $\square$

**Утверждение 1.10.** *Для модели незамкнутой автомагистрали существует максимальный уровень загруженности, а именно,  $c(N)$ .*

*Доказательство.* То, что  $c(N)$  — максимальный уровень загруженности, следует из леммы о монотонности.

Конечность уровня загруженности  $c(N)$  вытекает из следующих соображений. Пусть в момент  $t$  неравенство  $n(t) \leq n^*$  еще не выполнено: по крайней мере для одного  $i$  справедливо неравенство  $n_i(t) > n^*$ . С учетом леммы о монотонности и контролируемости уровня концентраций  $n^*$ , справедливы неравенства  $n_{i+1}(t+1) \geq \beta_i^f v_i n_i^*$ ,  $n_{i+2}(t+2) \geq \beta_i^f \beta_{i+1}^f v_i v_{i+1} n_i^*$  и, продолжая цепочку,  $n_{K+1}(t+K+1-i) \geq n_i^* \prod_{k=i}^K (\beta_k^f v_k)$ , поэтому исходящий поток на этом шаге  $f_{K+1}(t+K+1-i) \geq n_i^* \prod_{k=i}^{K+1} (\beta_k^f v_k)$ . Следовательно, через  $K+1$  шагов число автомобилей в основных ячейках автомагистрали  $\sum_{i=1}^{K+1} n_i(t)$  уменьшится как минимум на  $\min_i n_i^* \prod_{k=i}^{K+1} (\beta_k^f v_k)$ . Следовательно,

$$c(N) \leq \left[ (K+1) \left( \sum_{i=1}^{K+1} N_i - \min_i n_i^* \right) / \min_i \left( n_i^* \prod_{k=i}^{K+1} (\beta_k^f v_k) \right) \right]. \quad \square$$

**Утверждение 1.11.** *В модели кольцевой автомагистрали не существует максимального уровня загруженности: для любого вектора состояний основных ячеек автомагистрали  $n^1 \ll N$  найдется вектор  $n^2 \ll N$ , такой, что  $c(n^2) > c(n^1)$ .*

*Доказательство.* Будем считать, что  $n^1 \geq n^c(F^d)$ , где  $n_i^c(F^d) = N_i - F_i^d/w_i$ ,  $i = 1, \dots, K$ . Если это не так, увеличим вектор  $n^1$ , при этом уровень загруженности, согласно лемме о монотонности, не уменьшится.

Для  $n \geq n^c$  поток  $f$  между ячейками при  $r^d = 0$  зависит от  $n$  линейно:  $f_i(n) = w_{i+1}(N_{i+1} - n_{i+1})$ . Поэтому для  $n(t) \geq n^c$

$$n_i(t+1) = n_i(t) + w_i(N_i - n_i(t)) - w_{i+1}(N_{i+1} - n_{i+1}(t))/\beta_i^f.$$

Обозначим  $\nu_i(t) = N_i - n_i(t)$ . Тогда

$$\nu_i(t+1) = \nu_i(t) - w_i \nu_i(t) + w_{i+1} \nu_{i+1}(t)/\beta_i^f = (1 - w_i) \nu_i(t) + w_{i+1} \nu_{i+1}(t)/\beta_i^f.$$

Пусть  $A$  — линейный оператор, переводящий  $\nu(t)$  в  $\nu(t+1)$ . Ясно, что если  $\nu \gg 0$ , то  $A\nu \gg 0$ .

Обозначим  $\nu^1 = N - n^1$ . Поскольку  $n^1 \ll N$ , то существует число  $\varepsilon \in (0, 1)$ , такое, что выполнено неравенство  $\varepsilon A\nu^1 \leq \nu^1$ . Положим  $n^2 = N - \varepsilon \nu^1$ . Пусть  $n^1(t) = n^1$ ,  $n^2(t) = n^2$ . При нулевых входящих потоках

$$n^2(t+1) = N - \varepsilon A\nu^1 \geq N - \nu^1 = n^1(t),$$

следовательно,  $c(n^2) \geq c(n^1) + 1$ . □

### 1.3.3.1 Примеры

Примеры здесь и в следующей главе будут приведены для автомагистралей с двумя основными ячейками ( $K = 2$ ). Схемы незамкнутой и кольцевой автомагистрали с двумя основными ячейками изображены на рис.1.7. Первая и вторая основные ячейки выделены.

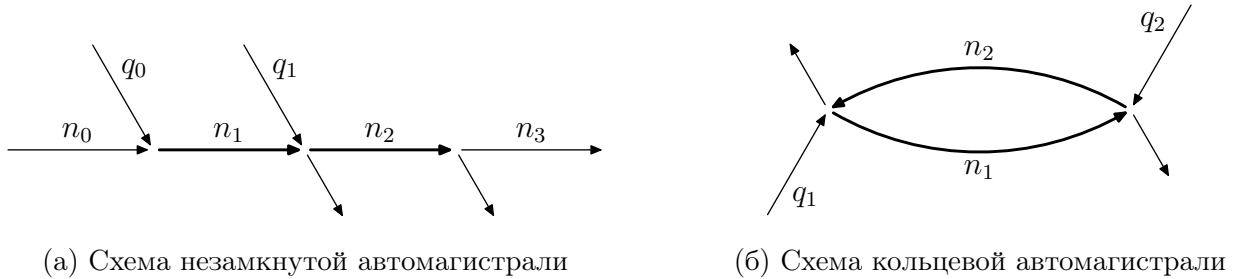
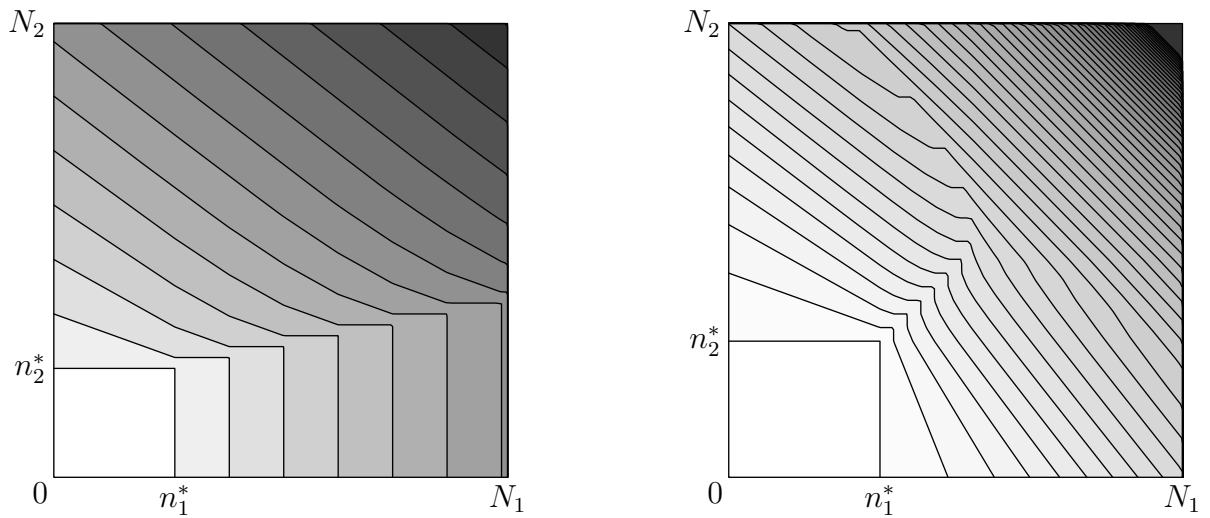


Рис. 1.7. Схемы автомагистралей с двумя основными ячейками

На рисунке 1.8 представлены карты уровней загруженности незамкнутой и кольцевой автомагистралей, состоящих из двух ячеек. Цветом одной яркости обозначены области с одинаковым уровнем загруженности. Чем светлее оттенок, тем меньше соответствующий этой области уровень загруженности.



(а) Уровни загруженности незамкнутой автомагистралей (б) Уровни загруженности кольцевой автомагистралей

Рис. 1.8. Карты уровней загруженности кольцевой и обычной автомагистралей

## Глава 2

# Равновесные состояния в модели автомагистрали при постоянных входных потоках

В этой главе обобщаются результаты работ [35; 36] на модель незамкнутой автомагистрали с произвольными коэффициентами приоритета и на модель кольцевой автострады. Результаты статьи [42] переработаны с учетом изменений в модели кольцевой автострады. Некоторые результаты этой главы изложены в статье [43].

В модели автомагистрали зафиксируем входные потоки  $d_i(t) \equiv d_i$ ,  $i = 1, \dots, K$ , а также, в модели незамкнутой автомагистрали,  $f_{-1}(t) \equiv f_{-1}$ . Под *равновесием* или *положением равновесия* будем понимать такое состояние автомагистрали, в котором число автомобилей в основных ячейках и потоки между ними остается неизменным:  $n_i(t) \equiv n_i$ ,  $i = 1, \dots, K$ ,  $f_i(t) \equiv f_i$ ,  $i = 0, \dots, K$ , при этом постоянны также потоки со въездов и исходящие потоки:  $r_i(t) \equiv r_i$ ,  $s_i(t) \equiv s_i$ ,  $i = 1, \dots, K$ . Ясно, что  $r_i \leq d_i$ ,  $i = 1, \dots, K$ ,  $f_0 \leq f_{-1}$  (в модели незамкнутой автомагистрали). Если  $r_i = d_i$ , то длина очереди перед  $i$ -м въездом постоянна, если же  $r_i < d_i$ , то очередь перед  $i$ -м въездом растет со скоростью  $(d_i - r_i)$  автомобилей за шаг симуляции. То же самое можно сказать про нулевую ячейку-въезд в модели незамкнутой автомагистрали: если  $f_0 = f_{-1}$ , то число автомобилей в нулевой ячейке постоянно, если же  $f_0 < f_{-1}$ , то число автомобилей в нулевой ячейке растет со скоростью  $(f_{-1} - f_0)$  автомобилей за шаг.

### 2.1 Зависимость между потоками со въездов и потоками между ячейками

Как в модели незамкнутой автомагистрали, так и в модели кольцевой автомагистрали потоки со въездов  $r_i$  (а также  $f_0$ , в случае обычной, незамкнутой автомагистрали) однознач-

но определяют потоки между ячейками  $f_i$ ,  $i = 1, \dots, K$ . В обеих моделях эта зависимость следует из равенства суммарного входящего и суммарного исходящего потока для каждой ячейки:  $f_i = \beta_i^f(f_{i-1} + r_i)$ ,  $i = 1, \dots, K$ .

Для незамкнутой автомагистрали потоки  $f_i$  определяются по потокам  $r_i$  и  $f_0$  последовательно: поток  $f_0$  уже определен, а если определен  $f_i$ , то  $f_{i+1} = \beta_{i+1}^f(f_i + r_{i+1})$ . Ясно, что потоки  $f_i(f_0, r)$ ,  $i = 0, \dots, K$ , определяются однозначно.

**Утверждение 2.1.** *Для незамкнутой автомагистрали*

$$f_i(f_0, r) = f_0 \prod_{k=1}^i \beta_k^f + \sum_{j=1}^i r_j \prod_{k=j}^i \beta_k^f, \quad i = 1, \dots, K.$$

*Доказательство.* Действительно, равенство  $f_1(f_0, r) = \beta_1^f(f_0 + r_1)$  верно. Для  $i > 1$

$$f_i(f_0, r) = f_0 \prod_{k=1}^i \beta_k^f + \sum_{j=1}^i r_j \prod_{k=j}^i \beta_k^f = \beta_i^f \left( f_0 \prod_{k=1}^{i-1} \beta_k^f + \sum_{j=1}^{i-1} r_j \prod_{k=j}^{i-1} \beta_k^f + r_i \right) = \beta_i^f(f_{i-1}(f_0, r) + r_i). \quad \square$$

Для кольцевой дороги зависимость потоков между ячейками  $f_i$  от входящих потоков  $r_i$  задается системой линейных алгебраических уравнений  $Af = r$ , где  $f$  и  $r$  — векторы-столбцы потоков между ячейками и входящих потоков,

$$A = \begin{pmatrix} 1/\beta_1^f & 0 & 0 & \cdots & 0 & -1 \\ -1 & 1/\beta_2^f & 0 & \cdots & 0 & 0 \\ 0 & -1 & 1/\beta_3^f & \cdots & 0 & 0 \\ \vdots & \vdots & \vdots & \ddots & \vdots & \vdots \\ 0 & 0 & 0 & \cdots & 1/\beta_{K-1}^f & 0 \\ 0 & 0 & 0 & \cdots & -1 & 1/\beta_K^f \end{pmatrix}.$$

Поскольку определитель матрицы  $A$  отличен от нуля, а именно,

$$\det A = \prod_{i=1}^K \frac{1}{\beta_i^f} - 1 > 0,$$

то решение системы уравнений  $Af = r$  существует и единственно.

Напомним, что для модели кольцевой автомагистрали индексы, эквивалентные по модулю  $K$ , считаются одинаковыми.

**Утверждение 2.2.** *Для кольцевой дороги потоки между ячейками  $f_i$  зависят от потоков со вездов  $r_i$  линейно:  $f_i(r) = \sum_{j=1}^K \pi_{ij} r_j$ , где  $\pi_{j-1,j} = (\det A)^{-1}$ ,  $\pi_{i-1,j} = \pi_{ij}/\beta_i^f$ ,  $i \neq j$ .*

*Доказательство.* Заметим, что

$$\pi_{j-k,j} = \frac{1}{\det A} \prod_{m=j-k+1}^{j-1} \frac{1}{\beta_m^f}, \quad k = 1, \dots, K$$

В частности,

$$p_{jj} = \frac{1}{\det A} \prod_{m=j-(K-1)}^{j-1} \frac{1}{\beta_m^f} = \beta_j^f \frac{1}{\det A} \prod_{m=1}^K \frac{1}{\beta_m^f}.$$

С учетом этого равенства и определения коэффициентов  $\pi_{ij}$ , получаем

$$\frac{\pi_{ij}}{\beta_i^f} = \begin{cases} \pi_{i-1,j} & i \neq j, \\ \frac{1}{\det A} \prod_{m=1}^K \frac{1}{\beta_m^f} = \pi_{i-1,i} + 1, & i = j. \end{cases}$$

Наконец, для всех  $i$  выполнено равенство

$$f_i(r) = \sum_{j=i-K}^{i-1} \pi_{ij} r_j = \beta_i^f \sum_{j=i-K}^{i-1} \frac{\pi_{ij}}{\beta_i^f} r_j = \beta_i^f \left( \sum_{j=i-K}^{i-1} \pi_{i-1,j} r_j + r_i \right) = \beta_i^f (f_{i-1}(r) + r_i),$$

что завершает доказательство.  $\square$

### 2.1.1 Допустимые и недопустимые входные потоки

В модели незамкнутой автомагистрали обозначим  $r_{K+1} = 0$ . Поток со въездов  $(f_0, r)$ ,  $f_0 \leq F_0$ ,  $r \leq R$ , назовем *допустимым*, если выполнены неравенства  $f_i(f_0, r) \leq F_i^d$ ,  $i = 1, \dots, K$ ,  $f_{i-1}(f_0, r) + r_i \leq F_i^s$ ,  $i = 1, \dots, K + 1$ . Если хотя бы одно из этих неравенств не выполнено, поток со въездов  $(f_0, r)$  назовем *недопустимым*. Если все неравенства выполнены строго ( $f_i(f_0, r) < F_i^d$ ,  $i = 1, \dots, K$ ,  $f_{i-1}(f_0, r) + r_i < F_i^s$ ,  $i = 1, \dots, K + 1$ ), то поток со въездов назовем *строго допустимым*.

Для модели кольцевой автомагистрали поток со въездов  $r \leq R$  назовем *допустимым*, если для всех  $i = 1, \dots, K$  выполнены неравенства  $f_i(r) \leq F_i^d$  и  $f_{i-1}(r) + r_i \leq F_i^s$ . Если не выполнено хотя бы одно из указанных неравенств, то поток со въездов  $r$  назовем *недопустимым*. Если все неравенства выполнены строго ( $f_i(r) < F_i^d$ ,  $f_{i-1}(r) + r_i < F_i^s$ ,  $i = 1, \dots, K$ ), то поток  $r$  назовем *строго допустимым*.

Заметим, что из неравенства  $f_i \leq F_i^d$  следует неравенство  $f_{i-1} + r_i \leq F_i^s$ :

$$f_{i-1} + r_i = f_i / \beta_i^f \leq F_i^d / \beta_i^f \leq F_i^s,$$

поскольку  $F_i^d \leq \beta_i^f F_i^s$ . Поэтому в определении допустимого потока со въездов можно уменьшить число неравенств. Пусть в модели незамкнутой автомагистрали  $f_{K+1}(f_0, r) = f_K(f_0, r)$ ,  $F_{K+1}^d = F_{K+1}$ . Для модели незамкнутой автомагистрали поток со въездов  $(f_0, r)$  является

$$\begin{aligned} &\text{допустимым,} && \text{если } f_i(f_0, r) \leq F_i^d, i = 1, \dots, K + 1, \\ &\text{недопустимым,} && \text{если } \exists i \in \{1, \dots, K + 1\}: f_i(f_0, r) > F_i^d, \\ &\text{строго допустимым,} && \text{если } f_i(f_0, r) < F_i^d, i = 1, \dots, K + 1. \end{aligned}$$

Для модели кольцевой автомагистрали поток со въездов  $r$  является

допустимым, если  $f_i(r) \leq F_i^d$  для всех  $i = 1, \dots, K$ ,  
недопустимым, если  $f_i(r) > F_i^d$  хотя бы для одного  $i$ ,  
строго допустимым, если  $f_i(r) < F_i^d$  для всех  $i$ .

Входному потоку  $d$  (и  $f_{-1}$ , в случае незамкнутой автомагистрали) в положении равновесия могут соответствовать потоки со въездов  $r \leq \bar{r}$  (и  $f_0 \leq \bar{f}_0$ ), где  $\bar{r}_i = \min\{d_i, R_i\}$ ,  $i = 1, \dots, K$  ( $\bar{f}_0 = \min\{f_{-1}, F_0\}$ ). Входной поток  $d$  (и  $f_{-1}$ ) назовем допустимым, недопустимым или строго допустимым, если поток со въездов  $\bar{r}$  (и  $\bar{f}_0$ ) является допустимым, недопустимым или строго допустимым соответственно.

Ясно, что если входной поток  $d$  (или  $(f_{-1}, d)$ , в случае незамкнутой дороги) не является допустимым, то не существует положений равновесия, в которых  $r = \bar{r}$  (и  $f_0 = \bar{f}_0$ ), поэтому в любом положении равновесия по крайней мере на одном въезде будет расти очередь.

## 2.2 Общие условия на равновесные состояния

Обозначим для  $i = 1, \dots, K$

$$f_i^d = f_i^d(n) = \min\{\beta_i^f v_i n_i, F_i^d\},$$

$$f_i^s = f_i^s(n) = \min\{w_i(N_i - n_i), F_i^s\},$$

кроме того, для модели незамкнутой автомагистрали  $f_{K+1}^s = F_{K+1}$ ,  $r_{K+1}^d = 0$ .

Множество положений равновесия есть множество наборов векторов  $(n, f, r)$ ,  $r \leq \bar{r}$  (и  $f_0 \leq \bar{f}_0$  для незамкнутой автомагистрали), для которых справедливы равенства суммарных входящих и суммарных исходящих потоков для основных ячеек автомагистрали

$$f_{i-1} + r_i = f_i / \beta_i^f, \quad i = 1, \dots, K, \quad (2.1)$$

и правила приоритета:

1. Если  $f_{i-1}^d + r_i^d \leq f_i^s$ , то  $f_{i-1} = f_{i-1}^d$ ,  $r_i = r_i^d$ .
2. Иначе, если  $f_{i-1}^d \leq p_{i-1}^f f_i^s$ , то  $f_{i-1} = f_{i-1}^d$ ,  $r_i = f_i^s - f_{i-1}^d$ .
3. Если  $r_i^d \leq p_i^r f_i^s$ , то  $r_i = r_i^d$ ,  $f_{i-1} = f_i^s - r_i^d$ .
4. Если же  $f_{i-1}^d > p_{i-1}^f f_i^s$  и  $r_i^d > p_i^r f_i^s$ , то  $f_{i-1} = p_{i-1}^f f_i^s$ ,  $r_i = p_i^r f_i^s$ .

Правила приоритета должны выполняться для всех  $i = 1, \dots, K$ , а в случае незамкнутой автомагистрали также при  $i = K + 1$ .

### 2.3 Множество равновесий для фиксированных потоков со въездов

Для фиксированных потоков со въездов  $r$  (и  $f_0$  для незамкнутой дороги) потоки  $f$  между ячейками, как уже было сказано, определяются однозначно:  $f = f(r)$  для кольцевой автомагистрали и  $f = f(f_0, r)$  для обычной, незамкнутой автомагистрали, а значения  $n$  определяются из вытекающего из правил приоритета уравнения  $f_i = \min\{f_i^d, f_{i+1}^s - r_{i+1}\}$ :

$$f_i = \min\{\beta_i^f v_i n_i, \tilde{F}_i, w_{i+1}(\tilde{N}_{i+1} - n_{i+1})\}, \quad (2.2)$$

где  $\tilde{F}_i = \min\{F_i^d, F_{i+1}^s - r_{i+1}\}$ ,  $\tilde{N}_i = N_i - r_i/w_i$ .

Ясно, что уравнение (2.2) имеет решение, только если  $f_i \leq \tilde{F}_i$ , то есть если выполнены неравенства  $f_i \leq F_i^d$ ,  $f_i + r_{i+1} \leq F_{i+1}^s$ , а это равносильно допустимости потока со въездов. Обозначим

$$n_i^u = n_i^u(f, r) = \frac{f_i}{\beta_i^f v_i}, \quad n_i^c = n_i^c(f, r) = \tilde{N}_i - \frac{f_{i-1}}{w_i}.$$

Поскольку для решений  $n$  уравнения (2.2)  $\beta_i^f v_i n_i \geq f_i$  и  $w_i(\tilde{N}_i - n_i) \leq f_{i-1}$ , то справедливы неравенства  $n_i^u(f, r) \leq n_i \leq n_i^c(f, r)$ .

**Утверждение 2.3.** *Для допустимого потока со въездов  $n_i^u(f, r) \leq n_i^c(f, r)$ .*

*Доказательство.* С учетом предположения (1.2), для допустимого потока со въездов

$$n_i^u = \frac{f_i}{\beta_i^f v_i} \leq \frac{F_i^d}{\beta_i^f v_i} \leq \frac{F_i}{v_i} \leq N_i - \frac{F_i}{w_i} = N_i - \frac{F_i^s}{w_i} \leq N_i - \frac{f_{i-1} + r_i}{w_i} = \tilde{N}_i - \frac{f_{i-1}}{w_i} = n_i^c. \quad \square$$

Заметим, что для всех  $n$  из множества  $n^u \leq n \leq n^c$  выполнены неравенства  $f_i^d(n) \geq f_i$ ,  $f_i^s(n) - r_i \geq f_{i-1}$ . Для каждого равновесного  $n$  для всех  $i$  хотя бы одно из равенств  $f_{i-1} = f_{i-1}^d$ ,  $f_{i-1} = f_{i-1}^s - r_i$  выполнено, поскольку  $f_{i-1} = \min\{f_{i-1}^d, f_{i-1}^s - r_i\}$ .

Выпишем ограничения, накладываемые на  $n$  каждым из четырех случаев правил приоритета в отдельности. В случае 1, поскольку неравенство  $f_{i-1} + r_i \leq f_i^s$  выполнено для всех  $n$ , таких, что  $n^u \leq n \leq n^c$ , то

$$\begin{cases} f_{i-1}^d + r_i^d \leq f_i^s, \\ f_{i-1}^d = f_{i-1}, \\ r_i^d = r_i, \end{cases} \Leftrightarrow \begin{cases} f_{i-1} = f_{i-1}^d, \\ r_i = r_i^d. \end{cases}$$

В случае 2

$$\begin{cases} f_{i-1}^d + r_i^d > f_i^s, \\ f_{i-1}^d \leq p_{i-1}^f f_i^s, \\ f_{i-1}^d = f_{i-1}, \\ f_{i-1}^d + r_i = f_i^s, \end{cases} \Leftrightarrow \begin{cases} f_i^s = f_{i-1} + r_i, \\ f_{i-1}/p_{i-1}^f \leq r_i/p_i^r, \\ f_{i-1}^d = f_{i-1}, \\ r_i^d > r_i. \end{cases}$$

В случае 3

$$\begin{cases} f_{i-1}^d + r_i^d > f_i^s, \\ r_i^d \leq p_i^r f_i^s, \\ r_i^d = r_i, \\ f_{i-1} + r_i^d = f_i^s, \end{cases} \Leftrightarrow \begin{cases} f_i^s = f_{i-1} + r_i, \\ f_{i-1}/p_{i-1}^f \geq r_i/p_i^r, \\ r_i^d = r_i, \\ f_{i-1}^d > f_{i-1}. \end{cases}$$

Наконец, в случае 4

$$\begin{cases} f_{i-1}^d + r_i^d > f_i^s, \\ f_{i-1}^d > p_{i-1}^r f_i^s, \\ r_i^d > p_i^r f_i^s, \\ r_i = p_i^r f_i^s, \\ f_{i-1} = p_{i-1}^f f_i^s, \end{cases} \Leftrightarrow \begin{cases} f_i^s = f_{i-1} + r_i, \\ f_{i-1}/p_{i-1}^f = r_i/p_i^r, \\ r_i^d > r_i, \\ f_{i-1}^d > f_{i-1}. \end{cases}$$

Выпишем теперь все ограничения на  $n$ , происходящие из правил приоритетов при фиксированных значениях потоков со въездов.

- Если  $r_i = r_i^d$ , то выполнены пункты 1 или 3 из правила приоритетов:

$$\begin{cases} f_{i-1}^d = f_{i-1}, \\ \begin{cases} f_i^s = f_{i-1} + r_i, \\ f_{i-1}/p_{i-1}^f \geq r_i/p_i^r. \end{cases} \end{cases}$$

Поскольку хотя бы одно равенств  $f_{i-1}^d = f_{i-1}$ ,  $f_i^s = f_{i-1} + r_i$  выполнено для всех  $n$ , решающих уравнение (2.2), то дополнительные ограничения на  $n$  возникают лишь в том случае, когда  $f_{i-1}/p_{i-1}^f < r_i/p_i^r$ : если при этом  $f_{i-1} < F_{i-1}^d$ , то  $n_{i-1} = n_{i-1}^u$ .

- Если  $r_i < r_i^d$ , то могут выполняться лишь пункты 2 или 4 из правила приоритетов, что накладывает следующие ограничения на  $n$ :

$$\begin{cases} f_i^s = f_{i-1} + r_i, \\ f_{i-1}/p_{i-1}^f \leq r_i/p_i^r, \\ \begin{cases} f_{i-1}^d = f_{i-1}, \\ f_{i-1}/p_{i-1}^f = r_i/p_i^r. \end{cases} \end{cases}$$

Это означает, что если  $f_{i-1}/p_{i-1}^f > r_i/p_i^r$ , то неравенство  $r_i < r_i^d$  в положении равновесия невозможно; если  $f_{i-1} + r_i < F_i^s$ , то  $n_i = n_i^c$ ; если  $f_{i-1}/p_{i-1}^f < r_i/p_i^r$  и  $f_{i-1} < F_{i-1}^d$ , то, кроме того,  $n_{i-1} = n_{i-1}^u$ .

- Аналогично, в случае незамкнутой автомагистрали, если  $f_0 = f_0^d$ , то выполнены пункты 1 или 2 из правила приоритетов:

$$\begin{cases} r_1 = r_1^d, \\ \begin{cases} f_1^s = f_0 + r_1, \\ f_0/p_0^f \leq r_1/p_1^r. \end{cases} \end{cases}$$

Неравенства  $r_1 < r_1^d$  и  $f_0/p_0^f > r_1/p_1^r$ , как уже было отмечено, одновременно выполняться в положении равновесия не могут. Дополнительные ограничения на  $n$  возникают, если  $r_1 < r_1^d$ ,  $f_0/p_0^f \leq r_1/p_1^r$ , и при этом  $f_0 + r_1 < F_1^s$ : при таких условиях  $n_1 = n_1^c$ .

- Если же  $f_0 < f_0^d$ , то выполнены пункты 3 или 4 из правила приоритетов:

$$\begin{cases} \begin{cases} f_1^s = f_0 + r_1, \\ f_0/p_0^f \geq r_1/p_1^r, \end{cases} \\ \begin{cases} r_1^d = r_1, \\ f_0/p_0^f = r_1/p_1^r. \end{cases} \end{cases}$$

Здесь должны выполняться неравенство  $f_0/p_0^f \geq r_1/p_1^r$  и одно из равенств  $r_1^d = r_1$ ,  $f_0/p_0^f = r_1/p_1^r$ , а ограничение на  $n$  появляется при  $f_0 + r_1 < F_1$ :  $n_1 = n_1^c$ .

Если в положении равновесия  $r_i < \bar{r}_i$ , то  $r_i < r_i^d = R_i$ , поскольку  $\bar{r}_i \leq R_i$ . Если же  $r_i = \bar{r}_i$ , то возможны как равенство  $r_i = r_i^d$ , так и неравенство  $r_i < r_i^d$ , впрочем, последнее неравенство возможно лишь в случае  $\bar{r}_i < R_i$ , и при этом  $\bar{r}_i < r_i^d \leq R_i$ .

Неравенство  $r_i < r_i^d$  необходимо выполнено лишь в случае  $r_i < \bar{r}_i$ , а равенство  $r_i = r_i^d$  необходимо выполнено лишь при  $r_i = \bar{r}_i = R_i$ . В остальных случаях, то есть если  $r_i = \bar{r}_i < R_i$  может выполняться как строгое неравенство  $r_i < r_i^d$ , так и равенство  $r_i = r_i^d$ . Аналогично, неравенство  $f_0 < f_0^d$  необходимо выполнено при  $f_0 < \bar{f}_0$ , а равенство  $f_0 = f_0^d$  необходимо выполнено при  $f_0 = \bar{f}_0 = F_0$ .

Обозначим

$$\mathcal{U} = \{i: f_i/p_i^f < r_{i+1}/p_{i+1}^r, f_i < F_i^d\}, \quad (2.3)$$

$$\mathcal{C} = \{i: r_i < \bar{r}_i, f_{i-1} + r_i < F_i^s\}. \quad (2.4)$$

Для незамкнутой автомагистрали множество  $\mathcal{C}$  содержит индекс 1, если выполнены неравенства  $f_0 < \bar{f}_0$  и  $f_0 + r_1 < F_1^s$ :

$$\mathcal{C} = \{i: r_i < \bar{r}_i, f_{i-1} + r_i < F_i^s\} \cup \{1, \text{ если } f_0 < \bar{f}_0, f_0 + r_1 < F_1^s\}. \quad (2.5)$$

При фиксированных входных потоках  $d, f_{-1}$ , множество положений равновесия в проекции на пространство  $n$  есть множество решений уравнения (2.2), таких, что для  $i \in \mathcal{U}$  выполняется равенство  $n_i = n_i^u$ , для  $i \in \mathcal{C}$  выполняется равенство  $n_i = n_i^c$ . Множество равновесий в пространстве  $n$  пусто, если хотя бы для одного  $i$  одновременно выполнены неравенства  $f_{i-1}/p_{i-1}^f > r_i/p_i^r$  и  $r_i < \bar{r}_i = \min\{d_i, R_i\}$ .

Теперь найдем решения уравнения (2.2) для каждой из двух моделей.

### 2.3.1 Решение уравнения для $n$ в модели незамкнутой автомагистрали

Решение системы уравнений

$$\begin{aligned} f_i &= \min\{\beta_i^f v_i n_i, \tilde{F}_i, w_{i+1}(\tilde{N}_{i+1} - n_{i+1})\}, & i = 1, \dots, K-1, \\ f_K &= \min\{\beta_K^f v_K n_K, \tilde{F}_K\}, \end{aligned} \quad (2.6)$$

при допустимых потоках со въездов, то есть если для всех  $i = 1, \dots, K$  выполнено неравенство  $f_i \leq \tilde{F}_i$ , приведено в работах [35; 36].

В систему (2.6) не включено уравнение на  $n_{K+1}$ , поскольку  $(K+1)$ -я ячейка предполагается незагруженной, и потому  $n_{K+1} = n_{K+1}^u$ .

Обозначим  $\mathcal{I} = \{i: f_i = \tilde{F}_i\}$ . Пусть  $\mathcal{I} = \{i_1, \dots, i_M\}$ ,  $i_1 < \dots < i_M$ , при этом  $0 \leq M \leq K$ . Положим  $i_0 = 0$ . Введем множества индексов

$$\begin{aligned} \mathcal{S}_m &= \{i: i_{m-1} < i \leq i_m\}, & m = 1, \dots, M, \\ \mathcal{S}_{M+1} &= \{i: i_M < i \leq K\}. \end{aligned}$$

Если  $\mathcal{I} = \emptyset$ , то есть  $M = 0$ , то  $\mathcal{S}_{M+1} = \mathcal{S}_1 = \{1, \dots, K\}$ .

Следующая теорема описывает структуру решения.

**Теорема 2.1.** *Решения системы (2.6) на множествах индексов  $\mathcal{S}_m$  определяются независимо, поэтому множество решений  $\mathcal{E}$  представимо в виде декартова произведения*

$$\mathcal{E} = \bigotimes_{m=1}^{M+1} \mathcal{E}_m,$$

где множество  $\mathcal{E}_{M+1}$  состоит из единственного вектора,  $\mathcal{E}_{M+1} = \{(n_{i_M}^u, \dots, n_K^u)\}$ , а остальные множества  $\mathcal{E}_m$ ,  $m = 1, \dots, M$ , представляются в виде объединения

$$\mathcal{E}_m = \bigcup_{h=i_{m-1}+1}^{i_m} \mathcal{E}_m^h,$$

где

$$\begin{aligned} \mathcal{E}_m^h &= \{(n_{i_{m-1}+1}, \dots, n_{i_m}): n_i = n_i^u, \quad i < h, \\ & \quad n_h^u \leq n_h \leq n_h^c, \\ & \quad n_i = n_i^c, \quad i > h\}. \end{aligned}$$

Эта теорема, как уже было сказано, доказана в работах [35; 36].

### 2.3.2 Решение уравнения для $n$ в модели кольцевой автомагистрали

Напомним, что индексы  $i$ ,  $i \pm K$ ,  $i \pm 2K$  и т. д. в модели кольцевой автомагистрали эквивалентны.

Решается система уравнений

$$f_i = \min\{\beta_i^f v_i n_i, \tilde{F}_i, w_{i+1}(\tilde{N}_{i+1} - n_{i+1})\}, \quad i = 1, \dots, K. \quad (2.7)$$

Обозначим, как и для незамкнутой автомагистрали,  $\mathcal{I} = \{i: f_i = \tilde{F}_i\}$ . Упорядочим индексы во множестве  $\mathcal{I}$  по возрастанию:  $\mathcal{I} = \{i_1, \dots, i_M\}$ ,  $i_1 < \dots < i_M$ , при этом  $0 \leq M = |\mathcal{I}| \leq K$ . Если  $\mathcal{I} \neq \emptyset$ , то положим  $i_0 = i_m - K$  и введем множества индексов

$$\mathcal{S}_m = \{i: i_{m-1} < i \leq i_m\}, \quad m = 1, \dots, M.$$

**Теорема 2.2.** *Множество решений  $\mathcal{E}$  системы уравнений (2.7) имеет следующий вид.*

*Если  $\mathcal{I} = \emptyset$ , то множество  $\mathcal{E}$  состоит всего из двух векторов:  $\mathcal{E} = \{n^u, n^c\}$ .*

*Если же  $\mathcal{I} \neq \emptyset$ , то решения уравнения (2.7) на множествах индексов  $\mathcal{S}_m$  определяются независимо, поэтому*

$$\mathcal{E} = \bigotimes_{m=1}^M \mathcal{E}_m,$$

*множества  $\mathcal{E}_m$  можно представить в виде*

$$\mathcal{E}_m = \bigcup_{h=i_{m-1}+1}^{i_m} \mathcal{E}_m^h,$$

*где, как и в случае незамкнутой автомагистрали,*

$$\mathcal{E}_m^h = \{(n_{i_{m-1}+1}^u, \dots, n_{h-1}^u, n_h, n_{h+1}^c, \dots, n_{i_m}^c), n_h^u \leq n_h \leq n_h^c\}.$$

*Доказательство.* Если  $f_i = \tilde{F}_i$ , то уравнение  $f_i = \min\{\beta_i^f v_i n_i, \tilde{F}_i, w_{i+1}(\tilde{N}_{i+1} - n_{i+1})\}$  эквивалентно системе неравенств

$$\begin{cases} n_i \geq n_i^u, \\ n_{i+1} \leq n_{i+1}^c. \end{cases}$$

Поскольку  $n_i$  и  $n_{i+1}$  больше никакими уравнениями между собой не связаны, то решение, действительно, определяется независимо на каждом из множеств индексов  $\mathcal{S}_m$ .

Если же  $f_i < \tilde{F}_i$ , то уравнение  $f_i = \min\{\beta_i^f v_i n_i, \tilde{F}_i, w_{i+1}(\tilde{N}_{i+1} - n_{i+1})\}$  эквивалентно системе условий

$$\begin{cases} n_i \geq n_i^u, \\ n_{i+1} \leq n_{i+1}^c, \\ \left[ \begin{array}{l} n_i = n_i^u, \\ n_{i+1} = n_{i+1}^c. \end{array} \right. \end{cases}$$

Несложно видеть, что если  $n_{i+1} = n_{i+1}^u$  и  $f_i < \tilde{F}_i$ , то  $n_{i+1}^u < n_{i+1}^c$ , и потому должно выполняться равенство  $n_i = n_i^u$ . Аналогично, если  $n_i = n_i^c$  и  $f_i < \tilde{F}_i$ , то  $n_i^c > n_i^u$ , поэтому должно выполняться равенство  $n_{i+1} = n_{i+1}^c$ . Следовательно, если  $n_i = n_i^u$ ,  $i_{m-1} + 1 \leq i \leq i_m$ , то  $n_j = n_j^u$  для всех  $j \in \{i_{m-1} + 1, \dots, i\}$ , а если  $n_i = n_i^c$ ,  $i_{m-1} + 1 \leq i \leq i_m$ , то  $n_j = n_j^c$  для всех  $j \in \{i, \dots, i_m\}$ . То есть, на множестве индексов  $\mathcal{S}_m$  любое решение представимо в виде

$$(n_{i_{m-1}+1}^u, \dots, n_{i^u}^u, n_{i^u+1}, \dots, n_{i^c-1}, n_{i^c}^c, \dots, n_{i_m}^c),$$

где  $i_{m-1} \leq i^u < i^c \leq i_m + 1$ ,  $n_i^u < n_i < n_i^c$  для  $i^u < i < i^c$ . Поскольку для всех  $i \in \{i_{m-1} + 1, \dots, i_m - 1\}$  должно выполняться хотя бы одно из равенств  $n_i = n_i^u$  и  $n_{i+1} = n_{i+1}^c$ , то  $i^c - i^u \leq 2$ , то есть либо  $i^c = i^u + 1$ , либо  $i^c = i^u + 2$ .

Мы только что доказали, что множество  $\mathcal{E}$ , определенное в формулировке теоремы, содержит все решения системы (2.7). В том, что все векторы из множества  $\mathcal{E}$  являются решениями системы (2.7), легко убедиться непосредственной проверкой.  $\square$

## 2.4 Равновесные потоки со въездов

Наконец, следует выяснить, для каких потоков со въездов проекция множества равновесий на пространство  $n$  не является пустым множеством.

### 2.4.1 Равновесные потоки со въездов в модели незамкнутой автомагистрали

В модели незамкнутой автомагистрали равновесные потоки со въездов и, следовательно, потоки между ячейками определяются однозначно. Разберем отдельно случаи допустимого и недопустимого входного потока.

#### Допустимый входной поток

**Утверждение 2.4.** *В модели незамкнутой автомагистрали если входной поток  $(f_{-1}, d)$  является допустимым, то единственный равновесный поток  $(f_0, r)$  есть  $f_0 = \bar{f}_0$ ,  $r = \bar{r}$ .*

*Доказательство.* Пусть для некоторого равновесного потока  $r_i < \bar{r}_i$  или  $f_0 < \bar{f}_0$ . Пусть  $i$  — наибольший индекс, для которого выполнено строгое неравенство  $r_i < \bar{r}_i$ , или же  $i = 1$ , если  $r = \bar{r}$ ,  $f_0 < \bar{f}_0$ . Поскольку входной поток является допустимым, то для рассматриваемого равновесного потока выполнены строгие неравенства  $f_j < F_j^d$ ,  $f_{j-1} + r_j < F_j^s$  для всех  $j = i, \dots, K + 1$ , поэтому  $f_j < \tilde{F}_j$ ,  $j = i, \dots, K$ . Отсюда следует, что, в обозначениях теоремы 2.1,  $\mathcal{S}_{M+1} \supseteq \{i, \dots, K\}$ , следовательно,  $n_i = n_i^u$  во всех положениях равновесия, соответствующих рассматриваемому потоку со въездов  $(f_0, r)$ . В то же время,  $i \in \mathcal{C}$ , значит,  $n_i = n_i^c$ . Однако  $n_i^u < n_i^c$ , поскольку  $f_i < \tilde{F}_i$ . Значит, проекция множества равновесий, соответствующих рассматриваемому потоку со въездов  $(f_0, r)$ , на пространство  $n$  есть пустое множество.  $\square$

**Недопустимый входной поток** Для недопустимого входного потока  $(f_{-1}, d)$  обозначим

$$\bar{f}_i = \min\{\beta_i^f(\bar{f}_{i-1} + \bar{r}_i), F_i^d\}, \quad i = 1, \dots, K + 1.$$

Ясно, что в положении равновесия  $f \leq \bar{f}$ .

Для дальнейшего исследования нам потребуется следующая лемма.

**Лемма 2.1.** *Если  $f_i < \bar{f}_i$ , то  $f_i < f_i^d$ .*

*Доказательство.* Для  $i = 0$  утверждение очевидно и было пояснено ранее. Будем доказывать лемму для  $1 \leq i \leq K + 1$ .

Ясно, что, поскольку  $f_i < \bar{f}_i$ , то либо  $r_j < \bar{r}_j$  для некоторого  $j \leq i$ , либо  $f_0 < \bar{f}_0$ . Пусть  $I$  — наибольший из таких индексов  $j$ . Если  $r_j = \bar{r}_j$  для всех  $j = 1, \dots, i$  и  $f_0 < \bar{f}_0$ , то  $I = 1$ .

Для всех  $j = I, \dots, i$  выполнено неравенство  $f_j < \bar{f}_j$ , потому что в противном случае было бы невозможно строгое неравенство  $f_i < \bar{f}_i$ .

Из неравенства  $f_I < \bar{f}_I \leq F_I^d$  следует неравенство  $f_{I-1} + r_I < F_I^s$ , а поскольку  $r_I < \bar{r}_I$ , то  $I \in \mathcal{C}$ , то есть  $n_I = n_I^c$ . Поскольку  $f_j < \bar{f}_j \leq F_j^d$  для всех  $j = I, \dots, i$ , то  $f_{j-1} + r_j < F_j^s$ ,  $j = I, \dots, i$ , и, следовательно,  $f_j < \min\{F_j^d, F_{j+1}^s - r_{j+1}\} = \tilde{F}_j$  для  $j = I, \dots, i - 1$ , поэтому  $n_j = n_j^c$  также для  $j = I + 1, \dots, i$ . Следовательно,  $f_I^d = \min\{\beta_I^f v_I n_I^c, F_I^d\} = F_I^d \leq \bar{f}_I > f_I$ .  $\square$

Из леммы 2.1 сразу же следует, что  $f_{K+1} = \bar{f}_{K+1}$ , поскольку  $(K + 1)$ -я ячейка является выездом и, следовательно, выполнено равенство  $f_{K+1} = f_{K+1}^d$ .

Пусть теперь для некоторого  $i \in \{1, \dots, K + 1\}$  определен равновесный поток  $f_i \leq \bar{f}_i$ . Покажем, что потоки  $f_{i-1}$  и  $r_i$  определяются однозначно.

Если  $f_i = \beta_i^f(\bar{f}_{i-1} + \bar{r}_i)$ , то, разумеется,  $f_{i-1} = \bar{f}_{i-1}$ ,  $r_i = \bar{r}_i$ . Если же  $f_i < \beta_i^f(\bar{f}_{i-1} + \bar{r}_i)$ , то выполнено по крайней мере одно из неравенств  $f_{i-1} < \bar{f}_{i-1}$ ,  $r_i < \bar{r}_i$ .

Если  $r_i < \bar{r}_i$ , то  $r_i < r_i^d$  и выполнены случаи 2 или 4 и правила приоритетов, поэтому

$$\begin{cases} f_{i-1}/p_{i-1}^f \leq r_i/p_i^r, \\ \left[ \begin{array}{l} f_{i-1}^d = f_{i-1}, \\ f_{i-1}/p_{i-1}^f = r_i/p_i^r. \end{array} \right. \end{cases}$$

Если при этом  $f_{i-1} = \bar{f}_{i-1}$ , должно выполняться неравенство  $\bar{f}_{i-1}/p_{i-1}^f \leq r_i/p_i^r$ . Поскольку  $r_i + \bar{f}_{i-1} = f_i/\beta_i^f$ , то должно выполняться неравенство  $\bar{f}_{i-1} \leq p_{i-1}^f f_i/\beta_i^f$ .

Если же  $r_i < \bar{r}_i$ ,  $f_{i-1} < \bar{f}_{i-1}$ , то, согласно утверждению 2.1,  $f_{i-1} < f_{i-1}^d$ , поэтому должно выполняться равенство  $f_{i-1}/p_{i-1}^f = r_i/p_i^r$ , а поскольку  $r_i + \bar{f}_{i-1} = f_i/\beta_i^f$ , то в этом случае выполнены неравенства  $\bar{f}_{i-1} > p_{i-1}^f f_i/\beta_i^f$ ,  $\bar{r}_i > p_i^r f_i/\beta_i^f$ .

Наконец, если  $r_i = \bar{r}_i$ ,  $f_{i-1} < \bar{f}_{i-1}$ , должны выполняться случаи 3 или 4 из правил приоритета, поэтому  $f_{i-1}/p_{i-1}^f \geq r_i/p_i^r = \bar{r}_i/p_i^r$ . Поскольку  $r_i + \bar{f}_{i-1} = f_i/\beta_i^f$ , то в этом случае должно выполняться неравенство  $\bar{r}_i \leq p_i^r f_i/\beta_i^f$ .

Сформулируем только что обоснованный алгоритм определения равновесных потоков в виде теоремы.

**Теорема 2.3.** *В модели незамкнутой автомагистрали равновесные потоки со въездов  $(f_0, r)$  и, следовательно, потоки между ячейками  $f_i$ ,  $i = 1, \dots, K$ , единственны и определяются по следующему правилу.*

*Вычисляются максимальные потоки между ячейками  $\bar{f}_i$ ,  $i = 1, \dots, K$ , а также максимальный исходящий поток из последней ячейки  $\bar{f}_{K+1}$ :*

$$\bar{f}_i = \min\{\beta_i^f(\bar{f}_{i-1} + \bar{r}_i), F_i^d\}, \quad i = 1, \dots, K + 1.$$

*Равновесный исходящий поток из  $(K + 1)$ -й ячейки равен максимальному своему значению:  $f_{K+1} = \bar{f}_{K+1}$ . Пусть уже определено равновесное значение потока  $f_i$  для некоторого  $i \in \{1, \dots, K + 1\}$ . Тогда потоки  $f_{i-1}$ ,  $r_i$  определяются по следующему правилу.*

1. *Если  $\bar{f}_{i-1} \leq p_{i-1}^f f_i/\beta_i^f$ , то  $f_{i-1} = \bar{f}_{i-1}$ ,  $r_i = f_i/\beta_i^f - \bar{f}_{i-1}$ .*
2. *Если  $\bar{r}_i \leq p_i^r f_i/\beta_i^f$ , то  $r_i = \bar{r}_i$ ,  $f_{i-1} = f_i/\beta_i^f - \bar{r}_i$ .*
3. *Если же  $\bar{f}_{i-1} > p_{i-1}^f f_i/\beta_i^f$  и  $\bar{r}_i > p_i^r f_i/\beta_i^f$ , то  $f_{i-1} = p_{i-1}^f f_i/\beta_i^f$ ,  $r_i = p_i^r f_i/\beta_i^f$ .*

Завершим этот раздел описанием множества равновесий в модели незамкнутой автомагистрали.

После того, как найдены потоки  $r$  и  $f$ , определяются множество  $\mathcal{U}$  по формуле (2.3), множество  $\mathcal{C}$  по формуле (2.5) и множество  $\mathcal{I} = \{i \leq K : f_i = F_i^d \text{ или } f_i + r_{i+1} = F_{i+1}^s\}$ .

Индексы из множества  $\mathcal{I}$  упорядочиваются по возрастанию,  $\mathcal{I} = \{i_1, \dots, i_M\}$ ,  $i_1 < \dots, i_M$ , и определяются множества

$$\mathcal{S}_m = \{i: i_{m-1} < i \leq i_m\}, \quad m = 1, \dots, M,$$

$$\mathcal{S}_{M+1} = \{i: i_M < i \leq K + 1\},$$

где  $i_0 = 0$ . Если  $\mathcal{I} = \emptyset$ , то  $M = 0$  и  $\mathcal{S}_{M+1} = \{1, \dots, K + 1\}$ . Множество положений равновесия в пространстве  $n$  есть декартово произведение  $\mathcal{E} = \bigotimes_{m=1}^{M+1} \mathcal{E}_m$ , где  $\mathcal{E}_{M+1} = \{(n_{i_{M+1}}^u, \dots, n_{K+1}^u)\}$ , а множества  $\mathcal{E}_m$ ,  $m = 1, \dots, M$  определяются согласно следующему правилу.

Вычисляются индексы

$$i_m^u = \begin{cases} i_{m-1}, & \mathcal{U} \cap \mathcal{S}_m = \emptyset, \\ \max(\mathcal{U} \cap \mathcal{S}_m), & \mathcal{U} \cap \mathcal{S}_m \neq \emptyset, \end{cases} \quad i_m^c = \begin{cases} i_m + 1, & \mathcal{C} \cap \mathcal{S}_m = \emptyset, \\ \min(\mathcal{C} \cap \mathcal{S}_m), & \mathcal{C} \cap \mathcal{S}_m \neq \emptyset. \end{cases}$$

Если  $i_m^c - i_m^u = 1$ , то

$$\mathcal{E}_m = \{(n_{i_{m-1}+1}^u, \dots, n_{i_m^u}^u, n_{i_m^c}^c, \dots, n_{i_m}^c)\}.$$

Если же  $i_m^c - i_m^u > 1$ , то  $\mathcal{E}_m = \bigcup_{h=i_m^u+1}^{i_m^c-1} \mathcal{E}_m^h$ , множества  $\mathcal{E}_m^h$  определены как в теореме 2.1:

$$\mathcal{E}_m^h = \{(n_{i_{m-1}+1}^u, \dots, n_{h-1}^u, n_h, n_{h+1}^c, \dots, n_{i_m}^c), n_h^u \leq n_h \leq n_h^c\}.$$

## 2.4.2 Равновесные потоки в модели кольцевой автомагистрали

Множество равновесных потоков в модели кольцевой автомагистрали состоит из двух частей. Опишем каждую из двух частей отдельно.

**Первая часть множества равновесий** В первой части множества равновесий выполнены равенства  $r = \bar{r}$ , если входной поток является допустимым, и  $f_i = F_i^d$  для некоторого  $i$ , если входной поток не является строго допустимым.

Если входной поток является допустимым, то этим условиям соответствует поток со въездов  $r = \bar{r}$  и поток между ячейками  $f = f(\bar{r})$ . При этом  $\mathcal{C} = \emptyset$ , поэтому в проекции на пространство  $n$  множество положений равновесия для потока со въездов  $r = \bar{r}$  содержит по крайней мере один вектор, а именно  $n^u$ .

Запись  $\mathcal{E}|_r$  обозначает равновесное множество в пространстве  $n$  при заданном потоке со въездов  $r$ .

**Строго допустимый входной поток** Если входной поток строго допустимый, то

$$\mathcal{E}|_{\bar{r}} = \begin{cases} \{n^u, n^c\}, & \mathcal{U} = \emptyset, \\ \{n^u\} & \mathcal{U} \neq \emptyset. \end{cases}$$

**Допустимый, но не строго допустимый входной поток** Если входной поток допустимый, но не строго допустимый, определяем множество  $\mathcal{S}_m$  как в теореме 2.2 и множество  $\mathcal{U}$  по формуле (2.3). Для всех  $m = 1, \dots, M$  определяем

$$i_m^u = \begin{cases} i_{m-1}, & \mathcal{U} \cap \mathcal{S}_m = \emptyset, \\ \max(\mathcal{U} \cap \mathcal{S}_m), & \mathcal{U} \cap \mathcal{S}_m \neq \emptyset. \end{cases}$$

Множество равновесий  $\mathcal{E}|_{\bar{r}} = \bigotimes_{m=1}^M \mathcal{E}_m$ , где

$$\mathcal{E}_m = \begin{cases} (n_{i_{m-1}+1}^u, \dots, n_{i_m}^u), & i_m^u = i_m, \\ \bigcup_{h=i_m+1}^{i_m} \mathcal{E}_m^h, & i_m^u < i_m, \end{cases}$$

множества  $\mathcal{E}_m^h$  определены в теореме 2.2.

**Недопустимый входной поток** Пусть фиксирован поток  $f_0$  или, что то же,  $f_K$ ,  $0 \leq f_0 \leq F_0^d$ .

Определим максимальные потоки  $\bar{f}_0 = f_0$ ,

$$\bar{f}_i = \min\{\beta_i^f(f_{i-1} + \bar{r}_i), F_i^d\}, \quad i = 1, \dots, K.$$

Ясно, что  $f_0$  может быть компонентой равновесного потока, лишь если  $\bar{f}_K \geq f_0$ .

Как и в модели незамкнутой автомагистрали, справедлива следующая лемма.

**Лемма 2.2.** *Если для некоторого  $i \in \{1, \dots, K\}$  выполнено неравенство  $f_i < \bar{f}_i$ , то выполнено также неравенство  $f_i < f_i^d$ .*

Доказательство этой леммы аналогично доказательству леммы 2.1.

С учетом леммы 2.2, равновесные потоки  $f_1, \dots, f_{K-1}$  однозначно определяются потоком  $f_K = f_0$ , а именно, для известного потока  $f_i$ ,  $i > 1$ , потоки  $f_{i-1}$  и  $r_i$  вычисляются по такому же правилу, как и в модели незамкнутой автомагистрали:

1. Если  $\bar{f}_{i-1} \leq p_{i-1}^f f_i / \beta_i^f$ , то  $f_{i-1} = \bar{f}_{i-1}$ ,  $r_i = f_i / \beta_i^f - \bar{f}_{i-1}$ .
2. Если  $\bar{r}_i \leq p_i^r f_i / \beta_i^f$ , то  $r_i = \bar{r}_i$ ,  $f_{i-1} = f_i / \beta_i^f - \bar{r}_i$ .
3. Если же  $\bar{f}_{i-1} > p_{i-1}^f f_i / \beta_i^f$  и  $\bar{r}_i > p_i^r f_i / \beta_i^f$ , то  $f_{i-1} = p_{i-1}^f f_i / \beta_i^f$ ,  $r_i = p_i^r f_i / \beta_i^f$ .

Если  $\bar{f}_0 + \bar{r}_1 = f_1 / \beta_1^f$ , то  $f_0 = \bar{f}_0$ ,  $r_1 = \bar{r}_1$ . Если же  $\bar{f}_0 + \bar{r}_1 < f_1 / \beta_1^f$ , то, поскольку  $f_0 = \bar{f}_0$ , выполнено неравенство  $r_1 < \bar{r}_1$ , следовательно,  $f_0 / p_0^f \leq r_1 / p_1^r$ , откуда  $\bar{f}_0 \leq p_0^f f_1 / \beta_1^f$ . В обоих случаях  $f_0$  и  $r_1$  должны определяться из  $f_1$  по общему правилу (то есть, по тому же правилу,

по которому  $f_{i-1}$  и  $r_i$  определяются из  $f_i$  для  $i > 1$ ), только в этом случае поток  $f$  может быть равновесным.

Фактически, мы доказали следующее утверждение.

**Утверждение 2.5.** *Равновесный поток  $f$  в модели кольцевой автомагистрали однозначно определяется любой своей компонентой: например, по компоненте  $f_K$  все остальные компоненты  $f_i$ ,  $i = 1, \dots, K - 1$  восстанавливаются однозначно.*

Ясно, что величины  $\bar{f}_i$  монотонно не убывают как функции  $f_K$ , то же самое можно сказать о величинах  $f_i$ ,  $i = 0, \dots, K - 1$ . Вместе с утверждением 2.5 это приводит нас к следующему результату.

**Утверждение 2.6.** *В модели кольцевой автомагистрали при недопустимом входном потоке существует не более одного равновесного потока со вьездов  $r$ , для которого  $f_i(r) = F_i^d$  по крайней мере для одного  $i$ .*

*Доказательство.* Пусть существует два различных равновесных потока  $f^1, f^2$  с указанным свойством. Поскольку любая компонента определяет весь равновесный поток (утверждение 2.5), то потоки  $f^1$  и  $f^2$  не совпадают ни в одной компоненте. Значит, существуют индексы  $i_1 \neq i_2$ , такие, что  $f_{i_1}^1 = F_{i_1}^d > f_{i_1}^2$ ,  $f_{i_2}^2 = F_{i_2}^d > f_{i_2}^1$ . Но это противоречит тому, что при увеличении одной компоненты равновесного потока остальные компоненты не уменьшаются.  $\square$

Этот равновесный поток можно найти, отыскав значение потока  $f_K \in [0, F_K^d]$ , такое, что вычисленный согласно общему правилу поток  $f_0$  совпадает с заданным потоком  $f_K$ , и хотя бы для одного  $i$  выполнено равенство  $f_i = F_i^d$ .

После того, как найден равновесный поток с заданными свойствами, если он вообще существует, определяются множества  $\mathcal{I}$ ,  $\mathcal{S}_m$  как в теореме 2.2,  $\mathcal{U}$  и  $\mathcal{C}$  по формулам (2.3), (2.4), индексы  $i_m^u, i_m^c$  как в модели незамкнутой автомагистрали. Множество равновесий в пространстве  $n$ , как и прежде, представляется в виде декартова произведения  $\mathcal{E} = \bigotimes_{m=1}^M \mathcal{E}_m$ . Если  $i_m^c - i_m^u = 1$ , то

$$\mathcal{E}_m = \{(n_{i_{m-1}+1}^u, \dots, n_{i_m^u}^u, n_{i_m^c}^c, \dots, n_{i_m}^c)\},$$

а если  $i_m^c - i_m^u > 1$ , то  $\mathcal{E}_m = \bigcup_{h=i_m^u+1}^{i_m^c-1} \mathcal{E}_m^h$ , множества  $\mathcal{E}_m^h$  определены как в теореме 2.2.

**Вторая часть множества равновесий** Во второй части множества равновесий для равновесных потоков справедливы неравенства  $r < \bar{r}$ ,  $f \ll F^d$ .

Поскольку  $f \ll F^d$ , то множество равновесий в пространстве  $n$  для фиксированных входных потоков  $r$  и потоков между ячейками  $f$ , согласно теореме 2.2, может состоять лишь

из векторов  $n^u$  и  $n^c$ , а поскольку для всех  $i$  выполнено неравенство  $f_{i-1} + r_i < F_i^s$ , следующее из неравенства  $f_i < F_i^d$ , и  $r < \bar{r}$ , то  $\mathcal{C} \neq \emptyset$ , поэтому множество  $\mathcal{E}|_r$ , если оно не пустое, состоит из единственного вектора:  $\mathcal{E}|_r = \{n^c\}$ .

Множество  $\mathcal{E}|_r$  не пустое, если  $\mathcal{U} = \emptyset$ , то есть для всех  $i$  должно выполняться неравенство  $f_{i-1}/p_{i-1}^f \geq r_i/p_i^r$ , которое, с учетом равенства  $f_{i-1} + r_i = f_i/\beta_i^f$ , равносильно неравенству  $f_{i-1} \geq p_{i-1}^f f_i/\beta_i^f$ . При этом для участков без въезда, то есть для таких  $i$ , что  $\bar{r}_i = 0$ , неравенство  $f_{i-1}/p_{i-1}^f \geq r_i/p_i^r$  выполнено автоматически.

Заметим, что второй части множества равновесий в любом случае принадлежит точка  $r = 0, f = 0, n = n^c = 0$ . Есть ли во второй части множества равновесий другие точки, зависит от величины

$$\gamma = \prod_{i=1}^K \frac{1}{\beta_i^f} \times \prod_{i: \bar{r}_i > 0} p_{i-1}^f.$$

А именно, справедливы следующие три утверждения.

**Утверждение 2.7.** *Если  $\gamma > 1$ , то, кроме  $r = 0, f = 0$ , других равновесных потоков во второй части множества равновесий нет.*

*Доказательство.* Пусть во второй части множества равновесий существует ненулевой равновесный поток  $r, f$ . Все компоненты ненулевого равновесного потока между ячейками  $f$  строго положительны, поскольку, согласно утверждению 2.5, равновесный поток полностью определяется любой своей компонентой.

Поскольку  $f_{i-1} = f_i/\beta_i^f$ , если  $\bar{r}_i = 0$ , и  $f_{i-1} \geq p_{i-1}^f f_i/\beta_i^f$ , если  $\bar{r}_i > 0$ , то

$$f_K = f_0 \geq f_K \prod_{i=1}^K \frac{1}{\beta_i^f} \prod_{i: \bar{r}_i > 0} p_{i-1}^f = f_K \gamma.$$

Поскольку  $f_K > 0$ , то  $\gamma \leq 1$ . Отсюда следует, что при  $\gamma > 1$  вторая часть множества равновесий не содержит ненулевых равновесных потоков.  $\square$

**Утверждение 2.8.** *Если  $\gamma = 1$ , то множество равновесных потоков во второй части множества равновесий есть однопараметрическое семейство*

$$f_i(\lambda) = \lambda \prod_{j=i+1}^K \frac{1}{\beta_j^f} \times \prod_{j>i, \bar{r}_j>0} p_j^f, \quad r_i(\lambda) = \begin{cases} p_i^r f_i(\lambda)/\beta_i^f, & \bar{r}_i > 0, \\ 0, & \bar{r}_i = 0, \end{cases}$$

$0 \leq \lambda \leq \lambda^{\max}$ , где  $\lambda^{\max} = \max\{\lambda: r(\lambda) \leq \bar{r}, f(\lambda) \leq F^d\}$ . Причем если  $r(\lambda^{\max}) = \bar{r}$  или хотя бы для одного  $i$  выполнено равенство  $f_i(\lambda^{\max}) = F_i^d$ , то  $0 \leq \lambda < \lambda^{\max}$ , поскольку потоки  $r(\lambda^{\max})$  и  $f(\lambda^{\max})$  принадлежат первой части множества равновесий.

*Доказательство.* Пусть  $r, f$  — равновесные потоки. Тогда  $f_{i-1} = f_i/\beta_i^f$ , если  $\bar{r}_i = 0$ , и  $f_{i-1} \geq p_{i-1}^f f_i/\beta_i^f$ , если  $\bar{r}_i > 0$ . Обозначим

$$\pi_i = \begin{cases} 1, & \bar{r}_i = 0, \\ p_{i-1}^f, & \bar{r}_i > 0. \end{cases}$$

Тогда

$$f_K = f_0 \geq f_1 \frac{\pi_1}{\beta_1^f} \geq f_2 \frac{\pi_1 \pi_2}{\beta_1^f \beta_2^f} \geq \dots \geq f_K \prod_{i=1}^K \frac{\pi_i}{\beta_i^f} = f_K \prod_{i=1}^K \frac{1}{\beta_i^f} \prod_{i: \bar{r}_i > 0} p_{i-1}^f = f_K \gamma = f_K,$$

поэтому все неравенства должны выполняться как равенства:  $f_{i-1} = \pi_i f_i/\beta_i^f$ , или

$$f_{i-1} = \begin{cases} f_i/\beta_i^f, & \bar{r}_i = 0, \\ p_{i-1}^f f_i/\beta_i^f, & \bar{r}_i > 0. \end{cases}$$

При этом

$$r_i = f_i/\beta_i^f - f_{i-1} = \begin{cases} 0, & \bar{r}_i = 0, \\ p_i^r f_i/\beta_i^f, & \bar{r}_i > 0. \end{cases}$$

Ясно поэтому, что множество равновесных потоков есть однопараметрическое семейство  $r(\lambda)$ ,  $f(\lambda)$ , описанное в формулировке утверждения,  $\lambda = f_0 = f_K$ .  $\square$

**Утверждение 2.9.** *Если  $\gamma < 1$ , то во второй части множества равновесий не более двух равновесных потоков, один из которых нулевой ( $r = 0, f = 0$ ), а второй определяется следующим образом. Определим функцию  $\Phi(\varphi) = f_0(\varphi)$ , где  $f_K(\varphi) = \varphi$ ,*

$$f_{i-1}(\varphi) = \max \left\{ \frac{f_i(\varphi)}{\beta_i^f} - \bar{r}_i, p_{i-1}^f \frac{f_i(\varphi)}{\beta_i^f} \right\}, \quad i = K, \dots, 1.$$

*Уравнение  $\Phi(\varphi) = \varphi$  имеет ровно два решения, одно из которых  $\varphi = 0$ , а второе  $\varphi^* > 0$ . Если для всех  $i = 1, \dots, K$  выполнено строгое неравенство  $f_i(\varphi^*) < F_i^d$ , то второй ненулевой равновесный поток из второй части есть  $f(\varphi^*)$ , в противном случае вторая часть множества равновесий содержит лишь нулевой равновесный поток.*

*Доказательство.* Во второй части множества равновесий в модели кольцевой автомагистрали  $f \ll F^d$ ,  $n = n^c$ , поэтому  $f_i < f_i^d$  для всех  $i$ . Если  $r_i < \bar{r}_i$ , то  $r_i < r_i^d$  и  $f_{i-1}/p_{i-1}^f = r_i/p_i^r$ , поэтому

$$f_{i-1} = p_{i-1}^f \frac{f_i}{\beta_i^f} = \frac{f_i}{\beta_i^f} - r_i > \frac{f_i}{\beta_i^f} - \bar{r}_i.$$

Если же  $r_i = \bar{r}_i$ , то  $f_{i-1} = f_i/\beta_i^f - \bar{r}_i$  и выполняется неравенство  $f_{i-1}/p_{i-1}^f \geq r_i/p_i^r$ , поэтому  $f_{i-1} \geq p_{i-1}^f f_i/\beta_i^f$ . В обоих случаях

$$f_{i-1} = \max \left\{ \frac{f_i}{\beta_i^f} - \bar{r}_i, p_{i-1}^f \frac{f_i}{\beta_i^f} \right\}. \quad (2.8)$$

Положим  $f_K = \varphi$ . Тогда потоки  $f_{K-1}, \dots, f_1$ , а также  $f_0$  определяются однозначно по формуле (2.8). Для того, чтобы  $f$  был равновесным потоком, необходимо и достаточно, чтобы выполнялось равенство  $f_0 = f_K$  и неравенства  $f_i \leq F_i^d, i = 1, \dots, K$ . При этом  $r_i = f_i/\beta_i^f - f_{i-1} \in [0, \bar{r}_i]$ .

Условие  $f_0 = f_K$  приводит к уравнению  $\Phi(\varphi) = \varphi$  из формулировки доказываемого утверждения. Ясно, что нуль является корнем этого уравнения. Функция  $\Phi(\varphi)$  есть максимум из  $2K$  линейных по  $\varphi$  выражений, следовательно, функция  $\Phi(\cdot)$  непрерывная и выпуклая. При малых значениях  $\varphi$ , начиная с нуля,  $\Phi(\varphi) = \gamma\varphi$ , поэтому производная функции  $\Phi(\varphi)$  меньше единицы:  $\Phi'(\varphi) = \gamma < 1$ . При очень больших значениях  $\varphi$  производная функции  $\Phi(\varphi)$  больше единицы:  $\Phi'(\varphi) = \prod_{i=1}^K 1/\beta_i^f > 1$ . Поэтому существует единственный строго положительный корень  $\varphi^*$  уравнения  $\Phi(\varphi) = \varphi$ . Если  $f(\varphi^*) \ll F^d$ , поток  $f$  является равновесным потоком из второй части множества равновесий, если же  $f(\varphi^*) \leq F^d$ , и при этом хотя бы для одного  $i$  выполнено равенство  $f_i(\varphi^*) = F_i^d$ , то  $f(\varphi^*)$  — равновесный поток для первой части множества равновесий.  $\square$

## 2.5 Об устойчивости равновесий

Поскольку длина очереди  $q$  не входит в определение равновесия, необходимо определить, что мы понимаем под устойчивым и неустойчивым равновесием. Для этого наложим некоторые ограничения на значения  $q$  в начальный момент времени.

Пусть в начальный момент времени  $t = 0$  в очереди перед каждым въездом  $i$  есть столько автомобилей, что  $r_i^d(0) = \bar{r}_i$ : если  $\bar{r}_i < R_i$ , то  $q_i(0) = \bar{r}_i/v_i^r$ , если же  $\bar{r}_i = R_i$ , то  $q_i(0) \geq R_i/v_i^r$ . Величина  $n_0$  в модели незамкнутой автомагистрали также считается длиной очереди, и для нее в начальный момент должно выполняться аналогичное условие,  $f_0^d(0) = \bar{f}_0$ , здесь и дальше это специально не оговаривается. При таких ограничениях на длину очереди в начальный момент выполнено неравенство  $q(t) \geq q(0)$  и, следовательно,  $r_i^d(t) \geq \bar{r}_i$  для всех  $t$ . Действительно, если  $\bar{r}_i < R_i$ , то  $d_i = \bar{r}_i$ , и если  $q_i(t) \geq q_i(0) = \bar{r}_i/v_i^r$ , то

$$\begin{aligned} q_i(t+1) &\geq q_i(t) + d_i - r_i^d(t) = q_i(t) + d_i - \min\{v_i^r q_i(t), R_i\} \geq \\ &\geq q_i(t)(1 - v_i^r) + d_i \geq q_i(0)(1 - v_i^r) + d_i = q_i(0). \end{aligned}$$

Если же  $\bar{r}_i = R_i$ , то  $d_i \geq R_i$ , и если  $q_i(t) \geq q_i(0) \geq R_i/v_i^r$ , то

$$q_i(t+1) \geq q_i(t) + d_i - r_i^d(t) = q_i(t) + d_i - R_i \geq q_i(t) \geq q_0(t).$$

Кроме того, если тройка  $(f, r, n)$  является равновесием и в начальный момент выполнено равенство  $r^d(0) = \bar{r}$ , то  $f(t) = f$ ,  $r(t) = r$ ,  $n(t) = n$  для всех  $t = 1, 2, \dots$ . Таким образом, вектор  $n$  (в случае незамкнутой автомагистрали вектор  $n$  не включает компоненту  $n_0$ , то есть  $n = (n_1, \dots, n_{K+1})$ ) однозначно определяет равновесные потоки  $f, r$ . Действительно, если в равновесии  $r_i = \bar{r}_i$ , то в равновесии  $r_i^d = \bar{r}_i$ . Если же в равновесии  $r_i < \bar{r}_i = r_i^d(0)$ , то в равновесии  $r_i^d = R_i$ . Согласно модели узла, если  $r_i(t) < r_i^d(t)$ , то при увеличении  $r_i^d(t)$  величина  $r_i(t)$  не изменится. Поэтому имеют смысл следующие определения.

Пусть  $n^e$  — равновесный вектор концентраций. Вектор  $n^e$  назовем *устойчивым равновесием*, если для любого сколь угодно малого  $\varepsilon > 0$  найдется  $\delta > 0$ , такое, что при  $\|n(0) - n^e\| \leq \delta$  и  $r^d(0) = \bar{r}$  выполнено неравенство  $\|n(t) - n^e\| \leq \varepsilon$  для всех  $t = 1, 2, \dots$ . Вектор  $n^e$  назовем *асимптотически устойчивым равновесием*, если он является устойчивым равновесием и для некоторого  $\delta > 0$   $n(t) \rightarrow n^e$  при  $t \rightarrow \infty$  при любом значении  $n(0)$  из  $\delta$ -окрестности вектора  $n^e$ .

**Замечание.** В конечномерном пространстве все нормы эквивалентны, поэтому не имеет значения, какая именно норма имеется ввиду в определении устойчивости равновесия.

Разберем сначала некоторые частные случаи, а именно, исследуем устойчивость наименее загруженного и наиболее загруженного положения равновесия.

### 2.5.1 Устойчивость наименее загруженного равновесия

Иследуем устойчивость равновесия  $n = n^u$  в модели обычной и кольцевой автострады.

**Утверждение 2.10.** Если равновесный поток  $f \ll F^d$ , то положение равновесия  $n = n^u$  устойчиво как в модели незамкнутой автострады, так и в модели кольцевой автострады.

*Доказательство.* Если  $f \ll F^d$ ,  $n = n^u$ , то  $f_i^s = F_i^s \geq F_i^d/\beta_i^f > f_i/\beta_i^f = f_{i-1} + r_i$ , поэтому в точке  $n = n^u$  и в небольшой ее окрестности выполнены равенства  $f_i = \beta_i^f v_i n_i$ ,  $r_i = r_i^d = \bar{r}_i$  для всех  $i$ .

Поэтому если  $n(t)$  находится в небольшой окрестности точки  $n^u$  и  $r^d(t) = \bar{r}$  (и  $f_0^d(t) = \bar{f}_0$  в случае незамкнутой автострады), то

$$n_i(t+1) = n_i(t) - f_i(t)/\beta_i^f + f_{i-1}(t) + r_i(t) = n_i(t)(1 - v_i) + \beta_{i-1}^f v_{i-1} n_{i-1}(t) + \bar{r}_i,$$

$r^d(t+1) = \bar{r}$  и  $f_0^d(t+1) = \bar{f}_0$  в модели незамкнутой автострады.

Следовательно,  $n(t+1) - n^u = A(n(t) - n^u)$ , где

$$A = \begin{pmatrix} 1 - v_1 & 0 & 0 & \cdots & 0 & \beta_K^f v_K \\ \beta_1^f v_1 & 1 - v_2 & 0 & \cdots & 0 & 0 \\ 0 & \beta_2^f v_2 & 1 - v_3 & \cdots & 0 & 0 \\ \vdots & \vdots & \vdots & \ddots & \vdots & \vdots \\ 0 & 0 & 0 & \cdots & 1 - v_{K-1} & 0 \\ 0 & 0 & 0 & \cdots & \beta_{K-1}^f v_{K-1} & 1 - v_K \end{pmatrix}$$

в модели кольцевой автострады. В модели незамкнутой автострады  $n(t)$  обозначает вектор  $(n_1(t), \dots, n_K(t))$ ,  $n(t+1) - n^u = A(n(t) - n^u)$ , матрица  $A$  такая же, как в модели кольцевой автомагистрали, но правый верхний элемент  $a_{1K} = 0$ , то есть матрица  $A$  нижнетреугольная.

Как в модели незамкнутой автострады, так и в модели кольцевой автострады оператор  $A$  не увеличивает норму  $\|x\|_1 = |x_1| + \dots + |x_K|$ . Действительно, в обоих случаях

$$\|Ax\|_1 \leq \sum_{i=1}^K (|(1 - v_i)x_i| + |\beta_{i-1}^f v_{i-1} x_{i-1}|) = \sum_{i=1}^k (1 - (1 - \beta_i^f)v_i)|x_i| \leq \sum_{i=1}^k |x_i| = \|x\|_1.$$

Отсюда сразу же следует, что положение равновесия  $n = n^u$  при  $f \ll F^d$  устойчиво.  $\square$

### 2.5.2 Устойчивость наиболее загруженного положения равновесия в модели кольцевой автострады

Будем исследовать устойчивость наиболее загруженного положения равновесия в модели кольцевой автомагистрали, а именно,  $f = 0$ ,  $r = 0$ ,  $n = N$ .

Величина  $\gamma$  определяет устойчивость положения равновесия  $f = 0$ ,  $r = 0$ ,  $n = N$ . А именно, имеет место следующее утверждение.

**Утверждение 2.11.** *Положение равновесия  $f = 0$ ,  $r = 0$ ,  $n = N$  устойчиво, если и только если  $\gamma \leq 1$ , и асимптотически устойчиво, если и только если  $\gamma < 1$ .*

*Доказательство.* В окрестности положения равновесия  $f = 0$ ,  $r = 0$ ,  $n = N$  состояние системы на шаге  $t+1$  зависит от состояния системы на шаге  $t$  линейно:

$$n_i(t+1) = n_i(t) + f_i^s(t) - f_i(t)/\beta_i^f = n_i(t) + w_i(N_i - n_i(t)) - f_i(t)/\beta_i^f,$$

где

$$f_i(t) = \begin{cases} f_{i+1}^s(t), & \bar{r}_{i+1} = 0, \\ p_i^f f_{i+1}^s(t), & \bar{r}_{i+1} > 0. \end{cases}$$

Обозначим

$$\alpha_i = \begin{cases} 1/\beta_i^f, & \bar{r}_{i+1} = 0, \\ p_i/\beta_i^f, & \bar{r}_{i+1} > 0. \end{cases}$$

Отметим, что  $\gamma = \prod_{i=1}^K \alpha_i$ . Обозначим  $\nu(t) = N - n(t)$ . Тогда

$$\nu_i(t+1) = \nu_i(t) - w_i \nu_i(t) + \alpha_i w_{i+1} \nu_{i+1}(t),$$

то есть  $\nu(t+1) = A\nu(t)$ , где

$$A = \begin{pmatrix} 1 - w_1 & \alpha_1 w_2 & 0 & \cdots & 0 & 0 \\ 0 & 1 - w_2 & \alpha_2 w_3 & \cdots & 0 & 0 \\ 0 & 0 & 1 - w_3 & \cdots & 0 & 0 \\ \vdots & \vdots & \vdots & \ddots & \vdots & \vdots \\ 0 & 0 & 0 & \cdots & 1 - w_{K-1} & \alpha_{K-1} w_K \\ \alpha_K w_1 & 0 & 0 & \cdots & 0 & 1 - w_K \end{pmatrix}.$$

Все элементы матрицы  $A$  неотрицательны.

Если  $\gamma = 0$ , то  $\alpha_i = 0$  по крайней мере для одного  $i$ . Пусть, например,  $\alpha_K = 0$ . Тогда матрица  $A$  верхнетреугольная, на главной диагонали стоят числа  $1 - w_i \in (0, 1)$ , следовательно,  $A^t \rightarrow 0$  при  $t \rightarrow \infty$ , следовательно,  $\nu(t) \rightarrow 0$  при  $t \rightarrow \infty$  для любого значения  $\nu(0)$ , то есть положение равновесия  $\nu = 0$  ( $n = N$ ) асимптотически устойчиво. Действительно, рассмотрим матрицы  $D = \text{diag}(1 - w_1, \dots, 1 - w_K)$ ,  $S = A - D$ . Матрица  $S$  верхнетреугольная, с нулями на главной диагонали, следовательно,  $S^K = 0$ . Поэтому при  $t > K$ ,  $t \in \mathbb{N}$

$$A^t = (D + S)^t = \sum_{k=0}^{K-1} C_t^k D^{t-k} S^k,$$

где  $C_t^k$  — биномиальный коэффициент:

$$C_t^k = \frac{t!}{k!(t-k)!} = \frac{t \times (t-1) \times \dots \times (t-k+1)}{k!} \leq t^k.$$

Далее,  $t^k D^{t-k} \rightarrow 0$  при  $t \rightarrow \infty$ , поскольку  $D^{t-k} = \text{diag}((1-w_1)^{t-k}, \dots, (1-w_K)^{t-k})$  и  $t^k x^{t-k} \rightarrow 0$  при  $t \rightarrow \infty$ , если  $|x| < 1$ . Следовательно,  $A^t \rightarrow 0$  при  $t \rightarrow \infty$ .

Пусть  $\gamma > 0$ . Тогда матрица  $A$  является неразложимой, и к ней можно применить теорему Фробениуса — Перрона (см. [44], глава XIII): существует положительное собственное значение  $\lambda^*$  матрицы  $A$ , такое, что все остальные собственные значения матрицы  $A$  не превосходят его по модулю, этому собственному значению  $\lambda^*$  соответствует собственный вектор с положительными компонентами.

Рассмотрим характеристический многочлен матрицы  $A$

$$\chi_A(\lambda) = \det(\lambda E - A) = \prod_{i=1}^K (\lambda - 1 + w_i) - \prod_{i=1}^K \alpha_i w_i = \prod_{i=1}^K (\lambda - 1 + w_i) - \gamma \prod_{i=1}^K w_i.$$

Максимальное по модулю положительное собственное значение  $\lambda^*$  матрицы  $A$  является наибольшим корнем характеристического многочлена  $\chi_A(\lambda)$ . Заметим, что

$$\chi_A(1 - \min_i w_i) = -\gamma \prod_{i=1}^K w_i < 0, \quad \chi_A(1) = (1 - \gamma) \prod_{i=1}^K w_i,$$

функция  $\chi_A(\lambda)$  монотонно возрастает при  $\lambda \geq 1 - \min_i w_i$ , и  $\chi_A(\lambda) \rightarrow +\infty$  при  $\lambda \rightarrow +\infty$ . Следовательно, для максимального корня  $\lambda^*$  характеристического многочлена  $\chi_A(\lambda)$  выполнены следующие условия:

$$\begin{aligned} \gamma > 1, & \quad \lambda^* > 1, \\ \text{если } \gamma = 1, & \quad \text{то } \lambda^* = 1, \\ \gamma < 1, & \quad 0 < 1 - \min_i w_i < \lambda^* < 1. \end{aligned}$$

Кроме того, собственному значению  $\lambda^*$  соответствует собственный вектор с положительными компонентами  $\nu^*$ . Отсюда сразу же следует, что при  $\gamma > 1$  положение равновесия  $\nu = 0$  ( $n = N$ ) неустойчиво. Если же  $\gamma \leq 1$ , то для любого  $\nu(0)$ ,  $0 \leq \nu(0) \leq \varepsilon \nu^*$ , справедливо неравенство  $0 \leq \nu(t) \leq (\lambda^*)^t \varepsilon \nu^*$ . Следовательно, положение равновесия  $\nu = 0$  ( $n = N$ ) устойчиво при  $\gamma \leq 1$  и асимптотически устойчиво при  $\gamma < 1$ .  $\square$

### 2.5.3 Устойчивость произвольного положения равновесия

В силу монотонности системы (лемма 1.1), для выяснения устойчивости любого положения равновесия  $n^e$  необходимо проверить лишь точки  $n \geq n^e$  и  $n \leq n^e$ .

**Лемма 2.3.** *Для любого положения равновесия  $n^e$  вектор  $n(t+1)$  зависит от  $n(t)$  линейно в областях  $\{n \geq n^e\} \cap \{\|n - n^e\| < \varepsilon\}$ ,  $\{n \leq n^e\} \cap \{\|n - n^e\| < \varepsilon\}$  для некоторого малого  $\varepsilon > 0$ . Точнее,  $n(t+1) - n^e = A^+(n(t) - n^e)$ , если  $n \geq n^e$ ,  $\|n - n^e\| < \varepsilon$ , и  $n(t+1) - n^e = A^-(n(t) - n^e)$ , если  $n \leq n^e$ ,  $\|n - n^e\| < \varepsilon$ , где  $A^-$ ,  $A^+$  — матрицы с неотрицательными компонентами.*

*Доказательство.* Пусть  $f^e$ ,  $r^e$  — равновесные потоки, соответствующие равновесию  $n^e$ .

Рассмотрим область  $\{n \geq n^e\} \cap \{\|n - n^e\| < \varepsilon\}$ . Мы считаем, конечно, что  $n^e \ll N$ . В качестве нормы возьмем максимум модулей компонент вектора,  $\|x\|_\infty = \max_i |x_i|$ , и подберем  $\varepsilon$  из следующих соображений. В любом случае,  $\varepsilon \leq N_i - n_i^e$ . Если  $n_i^e < N_i - F_i^s/w_i$ , то  $\varepsilon \leq N_i - F_i^s/w_i - n_i^e$ , а если  $n_i^e < F_i^d/(\beta_i^f v_i)$ , то  $\varepsilon \leq F_i^d/(\beta_i^f v_i) - n_i^e$ .

Если  $f_i^s(n^e) > f_{i-1}^d(n^e) + \bar{r}_i$ , то

$$\varepsilon \leq \frac{f_i^s(n^e) - f_{i-1}^d(n^e) - \bar{r}_i}{w_i + \beta_{i-1}^f v_{i-1}}.$$

При таких  $\varepsilon$ , если  $\|n - n^e\|_\infty < \varepsilon$ , то  $f_i^s(n) > f_i^s(n^e) - \varepsilon w_i$ ,  $f_{i-1}^d(n) < f_{i-1}^d(n^e) + \beta_{i-1}^f v_{i-1} \varepsilon$ , поэтому по-прежнему выполнено неравенство  $f_i^s(n) > f_{i-1}^d(n) + \bar{r}_i$ .

Если же, напротив,  $f_i^s(n^e) \leq f_{i-1}^d(n^e) + \bar{r}_i$ , условия на  $\varepsilon$  следующие. Если  $\bar{r}_i < p_i^r f_i^s(n^e)$ , то

$$\varepsilon \leq N_i - \frac{\bar{r}_i}{p_i^r w_i} - n_i^e,$$

тогда в рассматриваемой области выполняется равенство  $r_i(t) = \bar{r}_i$  при  $r_i^d(0) = \bar{r}_i$ . Если  $f_{i-1}^d(n^e) < p_{i-1}^f f_i^s(n^e)$ , то

$$\varepsilon \leq \frac{p_{i-1}^f f_i^s(n^e) - f_{i-1}^d(n^e)}{p_{i-1}^f w_i + \beta_{i-1}^f v_{i-1}},$$

тогда  $f_{i-1}(t) = f_{i-1}^d(t)$ .

При указанных ограничениях на  $\varepsilon$  потоки  $f(t)$ ,  $r(t)$  в области  $\{n \geq n^e\} \cap \{\|n - n^e\| < \varepsilon\}$  определяются следующим образом.

1. Если  $f_i^s(n^e) \leq f_{i-1}^d(n^e) + \bar{r}_i$ , то

$$f_{i-1}(t) + r_i(t) = f_i^s(t) = \begin{cases} F_i^s, & n_i^e < N_i - F_i^s/w_i, \\ w_i(N_i - n_i(t)), & n_i^e \geq N_i - F_i^s/w_i. \end{cases}$$

Поток  $f_{i-1}(t)$  определяется следующим образом.

- Если  $\bar{r}_i < p_i^r f_i^s(n^e)$ , то

$$f_{i-1}(t) = f_{i-1}^s(t) - \bar{r}_i = -\bar{r}_i + \begin{cases} F_i^s, & n_i^e < N_i - F_i^s/w_i, \\ w_i(N_i - n_i(t)), & n_i^e \geq N_i - F_i^s/w_i. \end{cases}$$

- Если  $f_{i-1}^d(n^e) < p_{i-1}^f f_i^s(n^e)$ , то

$$f_{i-1}(t) = f_{i-1}^d(t) = \begin{cases} F_{i-1}^d, & \beta_{i-1}^f v_{i-1} n_{i-1}^e \geq F_{i-1}^d, \\ \beta_{i-1}^f v_{i-1}^f n_{i-1}(t), & \beta_{i-1}^f v_{i-1} n_{i-1}^e < F_{i-1}^d. \end{cases}$$

- Иначе

$$f_{i-1}(t) = p_{i-1}^f f_{i-1}^s(t) = p_{i-1}^f \times \begin{cases} F_i^s, & n_i^e < N_i - F_i^s/w_i, \\ w_i(N_i - n_i(t)), & n_i^e \geq N_i - F_i^s/w_i. \end{cases}$$

2. Если же  $f_i^s(n^e) > f_{i-1}^d(n^e) + \bar{r}_i$ , то  $r_i(t) = \bar{r}_i$ ,

$$f_{i-1}(t) = f_{i-1}^d(t) = \begin{cases} F_{i-1}^d, & \beta_{i-1}^f v_{i-1} n_{i-1}^e \geq F_{i-1}^d, \\ \beta_{i-1}^f v_{i-1} n_{i-1}(t), & \beta_{i-1}^f v_{i-1} n_{i-1}^e < F_{i-1}^d. \end{cases}$$

Поскольку потоки  $f(t)$ ,  $r(t)$  зависят от  $n(t)$  линейно, то и  $n(t+1)$  зависит от  $n(t)$  линейно, поэтому  $n(t+1) - n^e = A^+(n(t) - n^e)$ , где  $A = \{a_{ij}^+\}_{i=1, \dots, K}^{j=1, \dots, K}$   $a_{ij}^+ = 0$ , если  $|i - j| > 1$  (в модели кольцевой магистрали элементы  $a_{K1}$  и  $a_{1K}$  могут быть ненулевыми),

$$a_{i,i-1}^+ = \begin{cases} \beta_{i-1}^f v_{i-1}^f, & f_i^s(n^e) > f_{i-1}^d(n^e) + \bar{r}_i, \beta_{i-1}^f v_{i-1} n_{i-1}^e < F_{i-1}^d, \\ 0, & \text{иначе,} \end{cases}$$

$$a_{i,i}^+ = \begin{cases} 1 - w_i, & f_i^s(n^e) \leq f_{i-1}^d(n^e) + \bar{r}_i, n_i^e \geq N_i - F_i/w_i, \\ 1 - v_i, & f_{i+1}^s(n^e) > f_i^d(n^e) + \bar{r}_{i+1} \text{ или } f_i^d(n^e) < p_i^f f_{i+1}^s(n^e), \\ & \beta_i^f v_i n_i^e < F_i^d, \\ 1, & \text{иначе,} \end{cases} \quad (2.9)$$

$$a_{i,i+1}^+ = \begin{cases} w_{i+1}/\beta_i^f, & f_{i+1}^s(n^e) \leq f_i^d(n^e) + \bar{r}_{i+1}, \bar{r}_{i+1} < p_{i+1}^r f_{i+1}^s(n^e), \\ & n_{i+1}^e \geq N_{i+1} - F_{i+1}^s/w_{i+1}, \\ p_i^f w_{i+1}/\beta_i^f, & f_{i+1}^s(n^e) \leq f_i^d(n^e) + \bar{r}_{i+1}, \bar{r}_{i+1} \geq p_{i+1}^r f_{i+1}^s(n^e), \\ & f_i^d(n^e) \geq p_i^f f_{i+1}^s(n^e), n_{i+1}^e \geq N_{i+1} - F_{i+1}^s/w_{i+1}, \\ 0, & \text{иначе.} \end{cases}$$

В модели кольцевой автострады  $a_{K1}$  и  $a_{1K}$  определяются по формулам для  $a_{i,i+1}$  и  $a_{i,i-1}$ .

Область  $\{n \leq n^e\} \cap \{\|n - n^e\| < \varepsilon\}$  рассматривается аналогично. Считаем, что  $n^e \gg 0$ .

В любом случае,  $\varepsilon \leq n_i$  для всех  $i$ . Если  $\beta_i^f v_i n_i^e > F_i^d$ , то  $\varepsilon \leq n_i^e - F_i^d/(\beta_i^f v_i)$ . Если  $w_i(N_i - n_i^e) < F_i^s$ , то  $\varepsilon \leq n_i^e - (N_i - F_i^s/w_i)$ .

Если  $f_i^s(n^e) < f_{i-1}^d(n^e) + \bar{r}_i$ , то

$$\varepsilon \leq \frac{f_{i-1}^d(n^e) + \bar{r}_i - f_i^s(n^e)}{w_i + \beta_{i-1}^f v_{i-1}}.$$

При этом  $f_{i-1}(t) + r_i(t) = f_i^s(t)$ . Если  $\bar{r}_i > p_i^r f_i^s(n^e)$ , то  $\varepsilon \leq n_i^e - (N_i - \bar{r}_i/(p_i^r w_i))$ . Если  $f_{i-1}^d(n^e) > p_{i-1}^f f_i^s(n^e)$ , то

$$\varepsilon \leq \frac{f_{i-1}^d(n^e) - p_{i-1}^f f_i^s(n^e)}{\beta_{i-1}^f v_{i-1} + p_{i-1}^f w_i}.$$

При таких ограничениях на  $\varepsilon$  потоки  $f(t)$ ,  $r(t)$  в области  $\{n \leq n^e\} \cap \{\|n - n^e\| < \varepsilon\}$  определяются по следующему правилу.

1. Если  $f_{i-1}^d(n^e) + \bar{r}_i > f_i^s(n^e)$ , то

$$f_{i-1}(t) + r_i(t) = f_i^s(t) = \begin{cases} F_i^s, & n_i^e \leq N_i - F_i^s/w_i, \\ w_i(N_i - n_i(t)), & n_i^e > N_i - F_i^s/w_i. \end{cases}$$

Поток  $f_{i-1}(t)$  определяется следующим образом.

• Если  $\bar{r}_i \leq p_i^r f_i^s(n^e)$ , то

$$f_{i-1}(t) = f_{i-1}^s(t) - \bar{r}_i = -\bar{r}_i + \begin{cases} F_i^s, & n_i^e \leq N_i - F_i^s/w_i, \\ w_i(N_i - n_i(t)), & n_i^e > N_i - F_i^s/w_i. \end{cases}$$

• Если  $f_{i-1}^d(n^e) \leq p_{i-1}^f f_i^s(n^e)$ , то

$$f_{i-1}(t) = f_{i-1}^d(t) = \begin{cases} F_{i-1}^d, & \beta_{i-1}^f v_{i-1} n_{i-1}^e > F_{i-1}^d, \\ \beta_{i-1}^f v_{i-1}^f n_{i-1}(t), & \beta_{i-1}^f v_{i-1} n_{i-1}^e \leq F_{i-1}^d. \end{cases}$$

• Иначе

$$f_{i-1}(t) = p_{i-1}^f f_{i-1}^s(t) = p_{i-1}^f \times \begin{cases} F_i^s, & n_i^e \leq N_i - F_i^s/w_i, \\ w_i(N_i - n_i(t)), & n_i^e > N_i - F_i^s/w_i. \end{cases}$$

2. Если  $f_{i-1}^d(n^e) + \bar{r}_i \leq f_i^s(n^e)$ ,  $r_i^d(t) = \bar{r}_i$ , то  $r_i(t) = \bar{r}_i$ ,

$$f_{i-1}(t) = \begin{cases} F_{i-1}^d, & \beta_{i-1}^f v_{i-1} n_{i-1}^e > F_{i-1}^d, \\ \beta_{i-1}^f v_{i-1} n_{i-1}(t), & \beta_{i-1}^f v_{i-1} n_{i-1}^e \leq F_{i-1}^d, \end{cases}$$

и при этом  $r_{i+1}^d(t) = \bar{r}_i$ .

Потоки  $f(t)$  и  $r(t)$  зависят от  $n(t)$  линейно, поэтому  $n(t+1) - n^e = A^-(n(t) - n^e)$ . Элементы матрицы  $A^-$  определяются так же, как элементы матрицы  $A^+$ , но в формулах (2.9) все строгие неравенства следует заменить на нестрогие и наоборот.  $\square$

Положение равновесия  $n^e$  устойчиво в том и только в том случае, если все элементы матриц  $(A^\pm)^t$  равномерно ограничены для всех  $t = 1, 2, \dots$ , и асимптотически устойчиво, если  $(A^\pm)^t \rightarrow 0$  при  $t \rightarrow \infty$ . Эти условия равносильны следующим. Положение равновесия  $n^e$  устойчиво, если и только если все собственные значения матриц  $A^\pm$  по модулю не превосходят 1, а собственным значениям, равным по модулю 1, соответствует ровно столько собственных векторов, какова их кратность. Положение равновесия  $n^e$  является асимптотически устойчивым, если все собственные значения матриц  $A^\pm$  по модулю строго меньше 1.

Из леммы 2.3, а именно, из вида матриц  $A^\pm$ , вытекают следующие факты, справедливые как для матрицы  $A^+$  (все знаки « $\pm$ » заменяются на «+»), так и для матрицы  $A^-$  (все знаки « $\pm$ » заменяются на «-»).

**Утверждение 2.12.** *Если  $a_{i,i-1}^\pm \neq 0$ , то  $a_{i-1,i-1}^\pm = 1 - v_{i-1}$ . Если  $a_{i,i+1}^\pm \neq 0$ , то  $a_{i+1,i+1}^\pm = 1 - w_{i+1}$ . Следовательно, если  $a_{ii}^\pm = 1$ , то  $a_{i-1,i}^\pm = a_{i+1,i}^\pm = 0$ .*

**Утверждение 2.13.** *Для каждого  $i$  по крайней мере одна из двух величин  $a_{i+1,i}^\pm$ ,  $a_{i,i+1}^\pm$  равна нулю.*

### 2.5.3.1 Устойчивость равновесий в модели незамкнутой автострады

Используя утверждения 2.12, 2.13, можно сразу же показать, что все положения равновесия в модели незамкнутой автострады являются устойчивыми, но не все — асимптотически устойчивыми.

**Теорема 2.4.** *В модели незамкнутой автострады любое положение равновесия является устойчивым.*

*Доказательство.* Покажем, что для любого положения равновесия диагональные элементы матриц  $A^+$  и  $A^-$ , и только они, являются собственными значениями.

Рассмотрим, к примеру, матрицу  $\lambda E - A^+$  (для матрицы  $A^-$  доказательство аналогично). В модели незамкнутой автострады  $a_{Kj}^+ = 0$ ,  $j \neq K$ ,  $j \neq K - 1$  и  $a_{iK}^+ = 0$ ,  $i \neq K$ ,  $i \neq K - 1$ . Кроме того, согласно утверждению 2.13, по крайней мере одна из величин  $a_{K,K-1}^+$ ,  $a_{K-1,K}^+$  равна нулю. Следовательно,  $(\lambda - a_{KK}^+)$  — единственный ненулевой элемент матрицы  $(\lambda E - A^+)$  или в своей строке, или в своем столбце. Следовательно,  $\det(\lambda E - A^+) = \Delta_K = (\lambda - a_{KK}^+) \Delta_{K-1}$ , где  $\Delta_i$  — определитель матрицы, стоящей на пересечении первых  $i$  строк и  $i$  столбцов матрицы  $(\lambda E - A^+)$ . Как и для минора  $\Delta_K$ , несложно показать, что  $\Delta_i = (\lambda - a_{ii}^+) \Delta_{i-1}$ . Кроме того, очевидно,  $\Delta_1 = (\lambda - a_{11}^+)$ . Поэтому  $\det(\lambda E - A^+) = \prod_{i=1}^K (\lambda - a_{ii}^+)$ . Таким образом, диагональные элементы матрицы  $A^+$ , и только они, являются ее собственными значениями.

Все диагональные элементы матрицы  $A^+$  положительны и не превосходят единицы. Диагональным элементам, равным единице,  $a_{ii}^+ = 1$ , соответствуют собственные векторы  $(0, \dots, 0, 1, 0, \dots, 0)$ , где единственный ненулевой элемент стоит в  $i$ -й позиции. Действительно, если  $a_{ii}^+ = 1$ , то, согласно утверждению 2.12,  $a_{i-1,i}^+ = a_{i+1,i}^+ = 0$ , все остальные элементы  $i$ -го столбца матрицы  $A^+$ , кроме  $a_{ii}^+$ , нулевые, поскольку матрица  $A^+$  трехдиагональная. Таким образом, собственному значению 1 матрицы  $A^+$  соответствует ровно столько линейно независимых собственных векторов, какова его кратность.

Это доказывает устойчивость любого положения равновесия в модели незамкнутой автострады.  $\square$

Если же среди диагональных элементов хотя бы одной из матриц  $A^\pm$  есть единица, то рассматриваемое положение равновесия не является асимптотически устойчивым.

Вспомним, что множество равновесий в модели незамкнутой автострады представляет собою односвязное множество. То есть, если множество равновесий содержит более одной точки, то в окрестности каждого равновесия есть другие равновесия, поэтому ни одно равновесие не является асимптотически устойчивым. Таким образом, равновесие может быть асимптотически устойчивым, только если оно единственно. С другой стороны, собственные значения матриц  $A^\pm$ , соответствующих единственному равновесию  $n^e$ , по модулю строго меньше 1. Действительно, пусть, например, у матрицы  $A^+$  есть собственное значение 1. Как уже было показано, ему соответствует собственный вектор вида  $\nu = (0, \dots, 0, 1, 0, \dots, 0)$ . Тогда для некоторого малого положительного  $\varepsilon$  вектор  $n^e + \varepsilon\nu$  также является равновесием.

Таким образом, справедлива следующая теорема.

**Теорема 2.5.** *В модели незамкнутой автострады положение равновесия асимптотически устойчиво, если и только если оно единственно.*

### 2.5.3.2 Устойчивость равновесий в модели кольцевой автострады

Квадратную матрицу  $A$  назовем *устойчивой*, если все ее собственные значения по модулю не превосходят единицы, а собственным значениям, по модулю равным единице, соответствует ровно столько линейно независимых собственных векторов, какова кратность этих собственных значений. Квадратную матрицу  $A$  назовем *асимптотически устойчивой*, если все ее собственные значения по модулю строго меньше единицы.

В дальнейшем, если утверждение формулируется для матрицы  $A = \{a_{ij}\}_{i=1, \dots, K}^{j=1, \dots, K}$ , то имеется в виду как матрица  $A^+$ , так и матрица  $A^-$ . Для напоминания будем обозначать это так:  $A = A^\pm$ .

**Лемма 2.4.** *Пусть  $a_{ij} = 0$  для некоторого  $i$  и для всех  $j \neq i$ , то есть  $a_{ii}$  — единственный ненулевой элемент в своем столбце. Тогда диагональные элементы матрицы  $A = A^\pm$ , и только они, являются ее собственными значениями, и матрица  $A$  является устойчивой. При этом матрица  $A$  является асимптотически устойчивой, если все ее диагональные элементы строго меньше единицы.*

*Доказательство.* Пусть, к примеру,  $a_{KK}$  — единственный ненулевой элемент в своем столбце (в общем случае этого можно добиться сдвигом индексов). Как в доказательстве теоремы 2.4,

можно показать, что определитель матрицы  $\lambda E - A$  равен произведению ее диагональных элементов, поэтому диагональные элементы матрицы  $A$ , и только они, являются собственными значениями этой матрицы. При этом диагональные элементы, равные 1, являются единственными ненулевыми элементами в своем столбце, и им соответствуют линейно независимые собственные вектора вида  $(0, \dots, 0, 1, 0, \dots, 0)$ .

Следовательно, матрица  $A$  является устойчивой. Асимптотически устойчивой матрица  $A$  является лишь в том случае, если все ее диагональные элементы строго меньше 1.  $\square$

Пусть для любого  $i$  один из элементов  $a_{i-1,i}$ ,  $a_{i+1,i}$  не равен нулю. Пусть, например,  $a_{K-1,K} \neq 0$ . Согласно утверждению 2.13,  $a_{K,K-1} = 0$ , значит, при  $i = K - 1$ ,  $a_{K-2,K-1} \neq 0$ . Рассуждая таким образом, мы приходим к тому, что  $a_{i-1,i} \neq 0$ ,  $a_{i+1,i} = 0$  для всех  $i$ . Аналогично, если  $a_{2,1} \neq 0$ , то  $a_{1,2} = 0$ , потому, при  $i = 2$ ,  $a_{3,2} \neq 0$ , и так далее:  $a_{i+1,i} \neq 0$ ,  $a_{i-1,i} = 0$ . То есть, если в каждом столбце матрицы  $A$  по крайней мере два ненулевых элемента, то ненулевыми являются (а) либо главная диагональ, и диагональ снизу под главной, а также элемент  $a_{1,K}$ , и в этом случае  $a_{i,i-1} = \beta_{i-1}^f v_{i-1}^f$ ,  $a_{ii} = 1 - v_i$ . Либо (б) не нулевые лишь главная диагональ, диагональ сверху от главной, и элемент  $a_{K,1}$ . В этом случае  $a_{i,i+1} = w_{i+1}/\beta_i^f$  или  $a_{i,i+1} = p_i^f w_{i+1}/\beta_i^f$ ,  $a_{ii} = 1 - w_i$ .

Случай (а) разобран в доказательстве утверждения 2.10. Матрица  $A$  в этом случае устойчивая. Более того, несложно показать, что матрица  $A$  асимптотически устойчивая. Это можно доказать, например, используя теорему Фробениуса — Перрона.

Случай (б), фактически, разобран в доказательстве утверждения 2.11. Устойчивость матрицы  $A$  в этом случае зависит от величины

$$\gamma(A) = \prod_{i=1}^K a_{i,i+1} \times \prod_{i=1}^K \frac{1}{w_i}.$$

А именно, матрица  $A$  является устойчивой, если и только если  $\gamma(A) \leq 1$ , и асимптотически устойчивой, если  $\gamma(A) < 1$ .

Таким образом, справедлива следующая теорема.

**Теорема 2.6.** *В модели кольцевой автострады положение равновесия  $n^e$  является неустойчивым, если и только если одно из чисел  $\gamma(A^-)$ ,  $\gamma(A^+)$  строго больше единицы. Положение равновесия  $n^e$  является асимптотически устойчивым, если  $\gamma(A^\pm) < 1$  и все элементы главных диагоналей матриц  $A^\pm$  строго меньше единицы.*

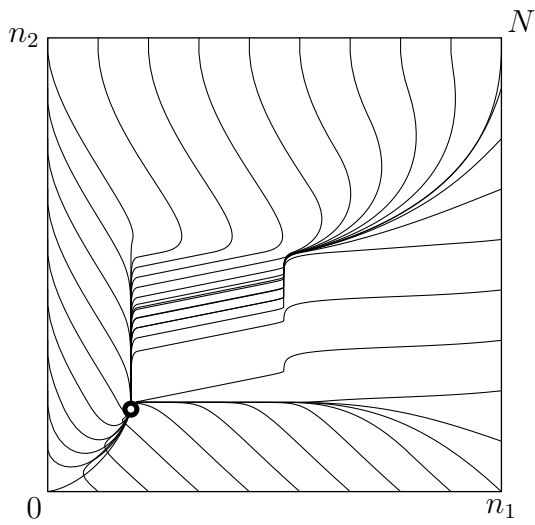
В частности, если в положении равновесия  $n^e$  хотя бы для одного  $i$  справедливо неравенство  $n_i^e < N_i - F_i^s/w_i$ , то это положение равновесия является устойчивым.

## 2.6 Примеры

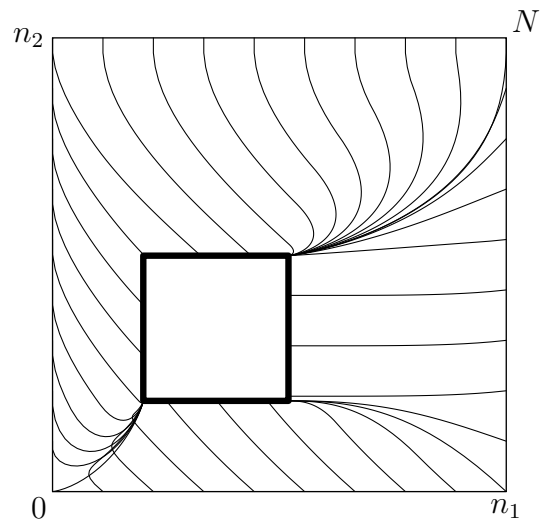
Примеры, как и в предыдущей главе, будут для незамкнутой и кольцевой автомагистрали с двумя основными ячейками,  $K = 2$ . Схемы таких автомагистралей приведены на рис. 1.7 на стр. 30.

Расчеты к примерам в этой и в следующей главе выполнены с помощью программы [45].

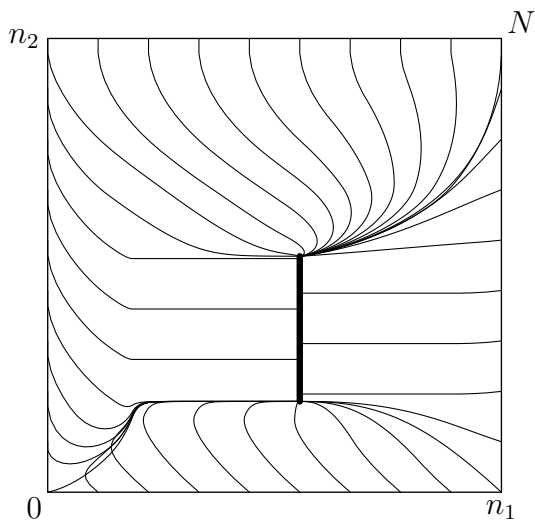
**Незамкнутая автомагистраль** На рис. 2.1 приведены проекции траекторий системы на пространство  $(n_1, n_2)$  плотностей в основных ячейках автомагистрали, широкими линиями и небольшими незакрашенными кругами выделены точки множества равновесия.



(а) Строго допустимый входной поток

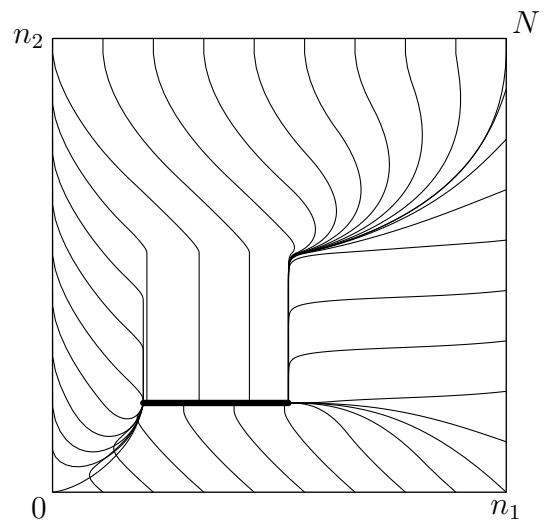


(б) Допустимый, но не строго, входной поток,  $f_1 = \bar{f}_1 = F_1^d$ ,  $f_2 = \bar{f}_2 = F_2^d$



(в) Недопустимый входной поток,

$$f_1 < \bar{f}_1 = F_1^d, f_2 = \bar{f}_2 = F_2^d$$



(г) Недопустимый входной поток,

$$f_1 = \bar{f}_1 = F_1^d, f_2 = \bar{f}_2 < F_2^d$$

Рис. 2.1. Траектории системы и положения равновесия в модели незамкнутой автострады

Все траектории начинаются на границе прямоугольника  $0 \leq n_i \leq N_i$ ,  $i = 1, 2$ . В начальный момент времени число автомобилей на въездах таково, что выполнены равенства  $f_0^d(0) = \bar{f}_0$ ,  $r_i^d(0) = \bar{r}_i$ ,  $i = 1, 2$ .

Здесь и во всех примерах к этой главе вся внутренность прямоугольника, состоящего из равновесных точек, как, например, на рис. 2.1б, состоит лишь из равновесных точек.

Отметим, что в модели незамкнутой автомагистрали с двумя основными ячейками выполнено равенство  $f_2 = \bar{f}_2$ , если, конечно, в третьей ячейке нет сужения, то есть  $F_3 \geq F_2$ . Для строго допустимого входного потока  $f_i = \bar{f}_i \leq F_1^d$ ,  $i = 1, 2$ , для любого допустимого потока  $f_i = \bar{f}_i \leq F_i^d$ ,  $i = 1, 2$ .

В примерах на рис. 2.1 коэффициенты приоритета пропорциональны пропускным способностям. Посмотрим, как зависит множество равновесий и траектории системы от коэффициентов приоритета (рис. 2.2). Рассмотрим два крайних случая: нулевые приоритеты въездов (рис. 2.2а) и нулевые приоритеты основных ячеек автомагистрали (рис. 2.2б). Входной поток недопустимый,  $\bar{f}_1 = F_1^d$ ,  $\bar{f}_2 = F_2^d$ , сужений нет,  $F_1 = F_2 = F_3$ . Если у въездов нулевые приоритеты,  $p_i^r = 0$ ,  $i = 1, 2$ , то  $f_i = \bar{f}_i$ ,  $i = 1, 2$ , если же нулевые приоритеты у основных ячеек,  $p_0^f = p_1^f = 0$ , то  $f_1 < \bar{f}_1$ ,  $f_2 = \bar{f}_2$ .

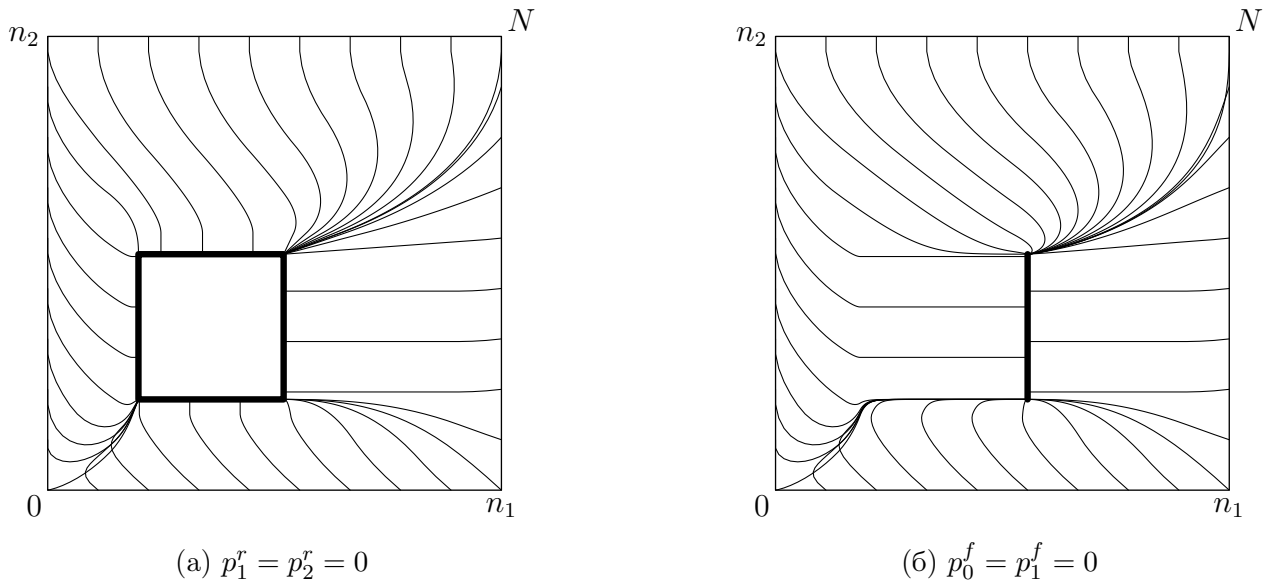


Рис. 2.2. Влияние коэффициентов приоритета на траектории системы и равновесия

**Кольцевая автомагистраль** На рис. 2.3 представлены примеры траекторий системы и множеств положений равновесия в модели кольцевой автомагистрали с двумя ячейками. При  $\gamma < 1$  положение равновесия  $n = N$  асимптотически устойчиво, при  $\gamma > 1$  неустойчиво. При  $\gamma = 1$  множество равновесий содержит отрезок, начинающийся в точке  $n = N$  (см. утвер-

ждение 2.8).

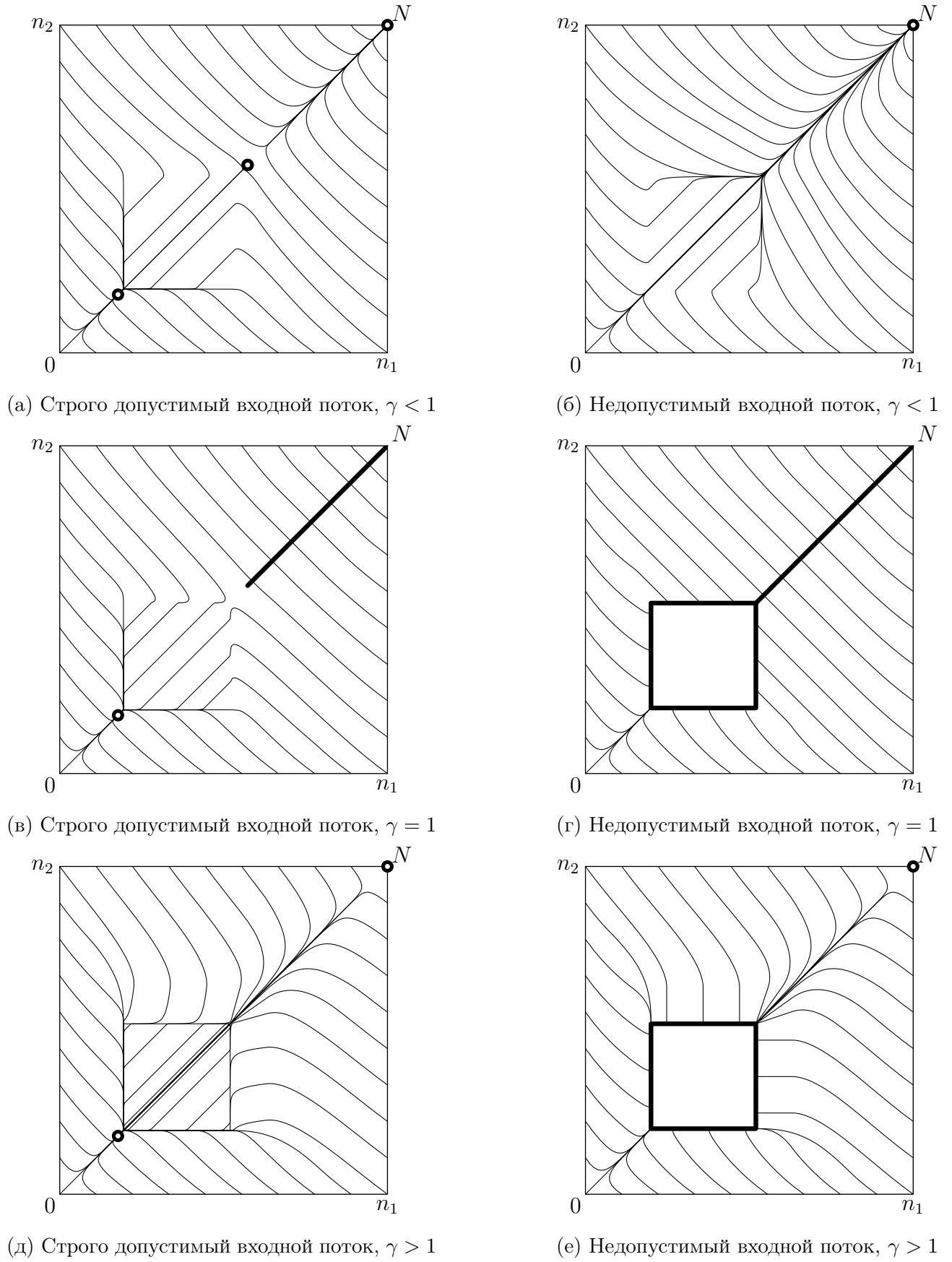


Рис. 2.3. Траектории системы и равновесия в модели кольцевой автострады

## Глава 3

# Управление состоянием автомагистрали при помощи выделенных полос

В этой главе представлена модель автомагистрали с выделенными полосами. Предлагается алгоритм управления коэффициентами расщепления потоков в узлах посредством изменения стоимости въезда в платные полосы, поддерживающий выделенные полосы в состоянии свободного движения, насколько это возможно при условии максимального использования пропускной способности выделенных полос. При построении управления существенно используются результаты первых двух глав, касающиеся пропускной способности автострады и структуры множества равновесий.

### 3.1 Модель автомагистрали с выделенными полосами

Модифицируем модель автомагистрали из § 1.2. В каждой ячейке есть  $l_1$  выделенных и  $l_2$  обычных полос. Параметры и переменные, относящиеся к выделенным полосам, обозначаются верхним индексом  $\xi = 1$ , а относящиеся к обычным полосам — верхним индексом  $\xi = 2$ . Схема модели автомагистрали с выделенными полосами приведена на рисунке 3.1

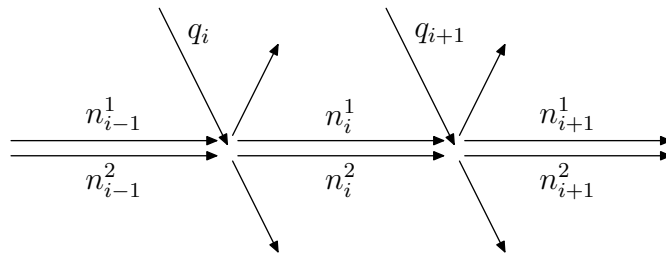


Рис. 3.1. Схема модели автомагистрали с выделенными полосами

Пропускные способности  $F_i^\xi$ , вместимости  $N_i^\xi$ , коэффициенты приоритетов  $p_i^\xi$ , пропускные способности выездов  $S_i^\xi$ , и, следовательно, пропускные способности  $F_i^{\xi,d}$ ,  $F_i^{\xi,s}$ ,  $\xi = 1, 2$ ,

пропорциональны числу выделенных и обычных полос в ячейке:  $F_i^\xi = F_i l_\xi / (l_1 + l_2)$ ,  $\xi = 1, 2$ ,  $N_i^\xi = N_i l_\xi / (l_1 + l_2)$ ,  $\xi = 1, 2$ , и так далее.

Схема узла автомагистрали, не являющегося источником или стоком, представлена на рис. 3.2.

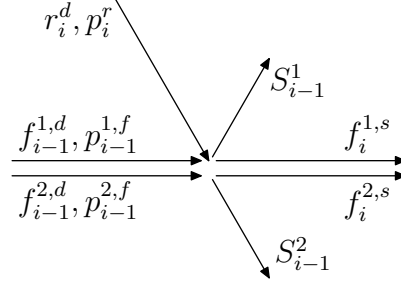


Рис. 3.2. Схема узла в модели автомагистрали с выделенными полосами

Требуемые исходящие и допустимые входящие потоки определяются как в модели автомагистрали без выделенных полос:

$$\begin{aligned} r_i^d(t) &= \min\{v_i^r q_i(t), R_i\}, \\ f_i^{\xi,d}(t) &= \min\{\beta_i^f v_i n_i^\xi(t), F_i^{\xi,d}\}, \quad \xi = 1, 2, \\ f_i^{\xi,s}(t) &= \min\{w_i(N_i^\xi - n_i^\xi(t)), F_i^{\xi,s}\}, \quad \xi = 1, 2. \end{aligned}$$

Водители могут выбрать выделенные или обычные полосы только в момент въезда на автомагистраль. Управление устанавливает стоимость въезда на платные полосы для каждого въезда. Для некоторых категорий транспортных средств (например, общественный транспорт или автомобили с несколькими пассажирами) стоимость въезда на выделенные полосы может быть снижена вплоть до нуля. Выбор водителя зависит от текущего состояния выделенных и обычных полос, от стоимости въезда на выделенные полосы, а также от цены времени для конкретного водителя. Об этом речь пойдет позже. Управление, таким образом, на каждом шаге определяет коэффициенты расщепления  $\alpha_i^1, \alpha_i^2$  для потока со въездов. Разумеется,  $\alpha_i^1, \alpha_i^2 \geq 0$ ,  $\alpha_i^1 + \alpha_i^2 = 1$ . Стоимость въезда на платные полосы может быть ограничена как снизу (например, условие неотрицательности), так и сверху (задана максимальная стоимость въезда в платные полосы). Пусть  $\mathcal{B}_i$  — множество пар коэффициентов расщепления  $(\alpha_i^1, \alpha_i^2)$ , соответствующих допустимым ценам въезда на выделенные полосы в узле  $i$ .

**Определение потоков в узле** Выясним, как вычисляются потоки со въездов и из предыдущих ячеек в текущие. Шаг по времени  $t$  не упоминается для упрощения изложения.

Нужно определить потоки со въездов в выделенные и обычные полосы  $r_i^\xi$ ,  $\xi = 1, 2$ , и потоки между соседними ячейками в выделенных или обычных полосах  $f_{i-1}^\xi$ ,  $\xi = 1, 2$ .

Если в рассматриваемом узле нет въезда или  $r_i^d = 0$ , потоки между соседними ячейками  $f_{i-1}^1$  и  $f_{i-1}^2$  вычисляются независимо:

$$f_{i-1}^\xi = \min\{f_{i-1}^{\xi,d}, f_i^{\xi,s}\}, \quad \xi = 1, 2,$$

потоки со въезда, если въезд есть, нулевые:  $r_i^1 = r_i^2 = 0$ .

Если же в рассматриваемом узле въезд есть, и  $r_i^d > 0$ , то вычисляются потенциальные потоки  $\psi_i^1, \psi_i^2$ : если  $\alpha_i^\xi = 0$ , то  $\psi_i^\xi = 0$ , иначе

$$\psi_i^\xi = \min \left\{ \max \left\{ f_i^{\xi,s} \frac{\alpha_i^\xi p_i^r}{\alpha_i^\xi p_i^r + \beta_{i-1}^f p_{i-1}^{\xi,f}}, f_i^{\xi,s} - f_{i-1}^{\xi,d} \right\}, \alpha_i^\xi r_i^d \right\}, \quad \xi = 1, 2.$$

Потенциальный поток  $\psi_i^1$  — это поток  $r_i^1$  со въезда в выделенные полосы, при условии, если нет ограничений со стороны обычных полос. Аналогично,  $\psi_i^2$  — это поток  $r_i^2$  со въезда в обычные полосы, если нет ограничений со стороны выделенных полос. Ограничения могут появиться, поскольку потоки  $r_i^1$  и  $r_i^2$  связаны коэффициентами расщепления:  $r_i^1/\alpha_i^1 = r_i^2/\alpha_i^2$ .

Определим величины

$$\lambda_i^\xi = \begin{cases} 1, & \alpha_i^\xi = 0, \\ \psi_i^\xi / (\alpha_i^\xi r_i^d), & \alpha_i^\xi > 0, \end{cases} \quad \xi = 1, 2,$$

и  $\lambda_i = \min\{\lambda_i^1, \lambda_i^2\}$ . Ясно, что  $\lambda_i^\xi \leq 1$ , поэтому  $\lambda_i \leq 1$ .

Наконец, потоки  $r_i^\xi$  и  $f_{i-1}^\xi$  вычисляются по формуле

$$r_i^\xi = \lambda_i \alpha_i^\xi r_i^d, \quad f_{i-1}^\xi = \min\{f_{i-1}^{\xi,d}, f_i^{\xi,s} - r_i^\xi\}, \quad \xi = 1, 2.$$

### 3.2 Построение управления

Будем строить управление для модели незамкнутой автомагистрали. Предполагаем, что нулевой ячейки нет, а в первую ячейку автомобили попадают только со въезда перед первой ячейкой. Цель управления, как уже упоминалось, состоит в том, чтобы привести выделенные полосы в состояние свободного движения и поддерживать их в этом состоянии, насколько это возможно при условии максимального использования пропускной способности выделенных полос.

На шаге  $t$  известно текущее состояние системы, то есть векторы  $n(t)$  и  $r(t)$ , но нет информации о будущем, то есть, о входных потоках  $d_i(t + \Delta t)$ ,  $\Delta t = 0, 1, 2, \dots$ .

### 3.2.1 Оценивание множества допустимых коэффициентов расщепления

Зная ограничения на цену въезда в платные полосы, можно оценить множество допустимых коэффициентов расщепления  $\mathcal{B}_i$ , оценивая распределение стоимости времени в очередях перед въездами и ожидаемое время в пути по платным и бесплатным полосам. Под *стоимостью времени* конкретного водителя мы понимаем ту сумму, которую водитель готов заплатить за уменьшение времени поездки на единицу времени.

Распределение стоимости времени во входном потоке можно оценивать статистически, путем опросов и на основании исторических данных, то есть по реальным решениям водителей. Это сделано, например, в работах [46–48] на основе моделей дискретного выбора [49]. Вполне вероятно, что распределения стоимости времени различны для разных въездов и зависят от дня недели и времени суток.

Пусть для каждого въезда известна функция распределения цены времени  $P_i(p)$ , то есть для любого  $p$  определена доля участников движения в очереди перед  $i$ -м въездом  $P_i(p)$ , цена времени которых не превышает  $p$ . Ясно, что  $P_i(0) = 0$ , функция  $P_i(\cdot)$  не убывает, и  $P_i(p) \rightarrow 1$  при  $p \rightarrow \infty$ .

Пусть  $\delta_{ij}(t)$  — доля водителей в очереди перед въездом в  $i$ -ю ячейку на шаге  $t$ , которые покинут автомагистраль на съезде в конце  $j$ -й ячейки,  $j \geq i$ . Если этой информации о маршрутах нет, положим  $\delta_{ij} = \beta_j^s \prod_{k=i}^{j-1} \beta_k^f$ , если  $j \leq k$ , и  $\delta_{i,K+1} = \prod_{k=i}^K \beta_k^f$ . Пусть стоимость времени водителей не зависит от маршрутов.

Скорость движения в ячейке  $i$  платных ( $\xi = 1$ ) или бесплатных ( $\xi = 2$ ) полос в момент времени  $t$  есть скорость свободного движения  $v_i$ , если  $n_i^\xi(t) = 0$ , и  $v_i^\xi(t) = f_i^{\xi, \text{out}}(t)/n_i^\xi(t) = f_i^\xi(t)/(\beta_i^f n_i^\xi(t))$ , если  $n_i^\xi(t) > 0$ . Здесь  $f_i^{\xi, \text{out}}(t)$  — суммарный исходящий поток для ячейки  $i$  платных или бесплатных полос на шаге  $t$ . Время в пути от начала  $i$ -й ячейки до выезда из  $j$ -й ячейки при текущих условиях по платным ( $\xi = 1$ ) или бесплатным ( $\xi = 2$ ) полосам есть  $T_{ij}^\xi(t) = \sum_{k=i}^j (v_k^\xi(t))^{-1}$ . Пусть на въезде  $i$  в момент времени  $t$  установлена стоимость въезда в платные полосы  $p_i(t) \geq 0$ . Тогда водители, въезжающие на автомагистраль с  $i$ -го въезда и выезжающие на  $j$ -м выезде, выберут платные полосы, если их цена времени не меньше  $p_i(t)/(T_{ij}^2(t) - T_{ij}^1(t))$ . Доля таких водителей в очереди перед въездом определяется функцией распределения стоимости времени, а именно,  $\alpha_{ij}^2(t) = P_i(p_i(t)/(T_{ij}^2(t) - T_{ij}^1(t)))$  — доля водителей, выбирающих бесплатные полосы,  $\alpha_{ij}^1(t) = 1 - \alpha_{ij}^2(t)$  — доля водителей, выбирающих платные полосы, среди всех водителей, въезжающих на автомагистраль через  $i$ -й въезд и планирующих выехать на  $j$ -м съезде. Ясно, что, если  $T_{ij}^2(t) < T_{ij}^1(t)$ , то все водители выберут бесплатные полосы, то есть  $\alpha_{ij}^1(t) = 0$ ,  $\alpha_{ij}^2(t) = 1$ . Коэффициенты расщепления для потока с

$i$ -го въезда, таким образом, определяются по формуле  $\alpha_i^\xi(t) = \sum_{j=i}^{K+1} \delta_{ij} \alpha_{ij}^\xi(t)$ .

Оценивание зависимости коэффициентов расщепления от стоимости въезда в платные полосы, однако, может быть неточным. С другой стороны, можно не оценивать стоимость времени и время в пути для каждого маршрута, а подбирать стоимость въезда в платные полосы динамически, ориентируясь на желаемые и реальные потоки. Такой подход развивается в работе [33].

### 3.2.2 Условие максимального использования пропускной способности платных полос

Управлять состоянием автомагистрали, с платными полосами или без них, имеет смысл лишь в том случае, когда входной поток  $d$  не является строго допустимым, то есть достаточно велик. Действительно, если входной поток строго допустимый, то состояние системы сходится к единственному положению равновесия  $n^u$ , а в этом положении равновесия автомагистраль не загружена, то есть скорость движения максимальна. Если же входящий поток не является допустимым, то неизбежно возникнут заторы в основных ячейках автомагистрали или на въездах. Пропускную способность платных полос важно использовать полностью, иначе будут расти заторы на въездах и, таким образом, даже водители, готовые заплатить за въезд в платные полосы, будут вынуждены ожидать в очереди перед въездом на автомагистраль.

Для максимального использования пропускной способности платных полос можно предложить по крайней мере два условия: условие минимизации скорости роста очереди перед въездами или условие максимизации суммарного входящего потока для основных ячеек автострады. Разберем оба условия.

#### 3.2.2.1 Минимизация скорости роста очереди

Определим множество пар коэффициентов расщепления  $(\alpha_i^1(t), \alpha_i^2(t)) \in \mathcal{B}_i(t)$ , минимизирующих скорость роста длины очереди перед  $i$ -м въездом на шаге  $t$ , или, что эквивалентно, максимизирующих  $\lambda_i(t, \alpha_i^1(t), \alpha_i^2(t))$ . Напомним, что  $\mathcal{B}_i(t)$  — множество наборов коэффициентов расщепления, соответствующих допустимым ценам. Будем считать, что множество  $\mathcal{B}_i(t)$  не пусто и замкнуто.

Шаг по времени  $t$  упоминаться некоторое время не будет для упрощения изложения.

Обозначим  $\mathcal{B}_i^1 = \{\alpha_i^1 : (\alpha_i^1, 1 - \alpha_i^1) \in \mathcal{B}_i\}$ . Ясно, что  $\mathcal{B} = \{(\alpha_i^1, \alpha_i^2) : \alpha_i^1 \in \mathcal{B}_i^1, \alpha_i^2 = 1 - \alpha_i^1\}$ .

Обозначим

$$\lambda_i^* = \max_{\alpha_i^1 \in \mathcal{B}_i^1} \lambda_i(\alpha_i^1, 1 - \alpha_i^1),$$

$$\mathcal{A}_i^1 = \text{Arg max}_{\alpha_i^1 \in \mathcal{B}_i^1} \lambda_i(\alpha_i^1, 1 - \alpha_i^1).$$

Наша цель — определить множество  $\mathcal{A}_i^1$ .

Несложно видеть, что  $\lambda_i^\xi(\alpha_i^\xi)$ ,  $\xi = 1, 2$  — монотонно невозрастающие функции, непрерывные на полуинтервале  $(0, 1]$  и полунепрерывные сверху в точке  $\alpha_i^\xi = 1$ . Действительно, для  $\alpha_i^\xi \in (0, 1]$

$$\lambda_i^\xi(\alpha_i^\xi) = \min \left\{ \max \left\{ \frac{f_i^{\xi,s}}{r_i^d} \frac{p_i^r}{\alpha_i^\xi p_i^r + p_{i-1}^{\xi,f}}, \frac{f_i^{\xi,s} - f_{i-1}^{\xi,d}}{\alpha_i^\xi r_i^d} \right\}, 1 \right\}.$$

При этом  $\lambda_i^\xi(\alpha_i^\xi) \equiv 0$  при  $\alpha_i^\xi \in (0, 1]$ , если  $p_i^r = 0$  и  $f_i^{\xi,s} \leq f_{i-1}^{\xi,d}$ .

Обозначим

$$\bar{\alpha}_i^\xi = \max\{\alpha_i^\xi \in [0, 1] : \lambda_i^\xi(\alpha_i^\xi) = 1\}.$$

Ясно, что  $\bar{\alpha}_i^\xi = \min\{1, \max\{0, a_i^\xi\}\}$ , где

$$a_i^\xi = \begin{cases} \frac{f_i^{\xi,s} - f_{i-1}^{\xi,d}}{r_i^d}, & p_i^r = 0, \\ \max \left\{ \frac{f_i^{\xi,s} - f_{i-1}^{\xi,d}}{r_i^d}, \frac{f_i^{\xi,s}}{r_i^d} - \frac{p_{i-1}^{\xi,f}}{p_i^r} \right\}, & p_i^r > 0. \end{cases}$$

Рассмотрим следующие случаи.

1.  $\bar{\alpha}_i^1 + \bar{\alpha}_i^2 \geq 1$ . В этом случае  $\lambda_i^1(\alpha_i^1) = \lambda_i^2(\alpha_i^2) = 1$  и, следовательно,  $\lambda_i(\alpha_i^1, \alpha_i^2) = 1$  для  $\alpha_i^2 = 1 - \alpha_i^1$ ,  $\alpha_i^1 \in [1 - \bar{\alpha}_i^2, \bar{\alpha}_i^1]$  (рис. 3.3).

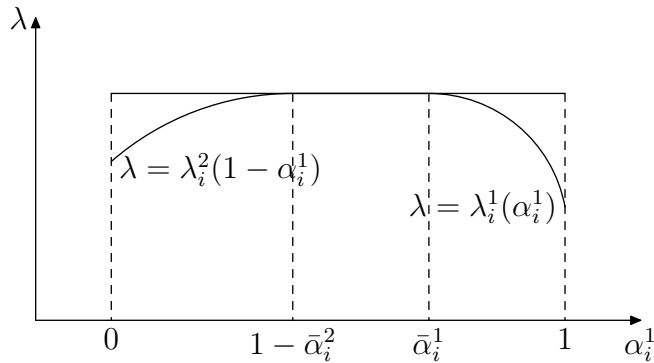


Рис. 3.3. Максимизация  $\lambda_i$  при  $\bar{\alpha}_i^1 + \bar{\alpha}_i^2 \geq 1$

Если  $\mathcal{B}_i^1 \cap [1 - \bar{\alpha}_i^2, \bar{\alpha}_i^1] \neq \emptyset$ , то  $\lambda_i^* = 1$ ,  $\mathcal{A}_i^1 = \mathcal{B}_i^1 \cap [1 - \bar{\alpha}_i^2, \bar{\alpha}_i^1]$ .

В противном случае справедливо по крайней мере одно из условий  $\mathcal{B}_i^1 \cap [0, 1 - \bar{\alpha}_i^2] \neq \emptyset$ ,  $\mathcal{B}_i^1 \cap [\bar{\alpha}_i^1, 1] \neq \emptyset$ . Если  $\mathcal{B}_i^1 \cap [0, 1 - \bar{\alpha}_i^2] \neq \emptyset$ , определим  $\underline{\alpha}_i^1 = \max(\mathcal{B}_i^1 \cap [0, 1 - \bar{\alpha}_i^2])$ . Если  $\mathcal{B}_i^1 \cap [\bar{\alpha}_i^1, 1] \neq \emptyset$ , определим  $\bar{\alpha}_i^1 = \min(\mathcal{B}_i^1 \cap [\bar{\alpha}_i^1, 1])$ .

Если определены обе величины  $\underline{a}_i^1, \bar{a}_i^1$ , то  $\lambda_i^* = \max\{\lambda_i(\underline{a}_i^1, 1 - \underline{a}_i^1), \lambda_i(\bar{a}_i^1, 1 - \bar{a}_i^1)\}$ ,  $\mathcal{A}_i^1 = \{\alpha_i^1 \in \mathcal{B}: \lambda_i(\alpha_i^1, 1 - \alpha_i^1) = \lambda_i^*\} \subseteq \{\underline{a}_i^1, \bar{a}_i^1\}$ .

Если же определена лишь одна из величин  $\underline{a}_i^1, \bar{a}_i^1$ , то она является единственным элементом множества  $\mathcal{A}_i^1$ , а  $\lambda_i^*$  есть значение функции  $\lambda(\alpha_i^1, 1 - \alpha_i^1)$  в точке  $\alpha_i^1 = \underline{a}_i^1$  или  $\alpha_i^1 = \bar{a}_i^1$  соответственно.

2.  $\bar{\alpha}_i^1 + \bar{\alpha}_i^2 < 1$ . В этом случае  $\lambda_i(\alpha_i^1, \alpha_i^2) < 1$  для всех  $\alpha_i^1, \alpha_i^2 \geq 0, \alpha_i^1 + \alpha_i^2 = 1$ , поэтому  $\lambda_i^* < 1$ , то есть, поток с  $i$ -го въезда будет ограничен в любом случае.

(а) Если  $p_i^r = 0$  и  $f_i^{\xi, s} \leq f_{i-1}^{\xi, d}$ ,  $\xi = 1, 2$ , то  $\bar{\alpha}_i^1 = \bar{\alpha}_i^2 = 0$  и  $\lambda(\alpha_i^1, 1 - \alpha_i^1) = 0$  для всех  $\alpha_i^1$ .  
Значит,  $\lambda_i^* = 0, \mathcal{A}_i^1 = \mathcal{B}_i^1$ .

(б) Пусть выполнено по крайней мере одно из неравенств  $p_i^r > 0, f_i^{\xi, s} > f_{i-1}^{\xi, d}$ ,  $\xi = 1, 2$ .

i. Если  $\bar{\alpha}_i^2 = 0$  и  $\lambda_i^1(1) \geq \lim_{\alpha_2 \rightarrow +0} \lambda_i^2(\alpha_2)$  (рис. 3.4), то  $\mathcal{A}_i^1 = \max \mathcal{B}_i^1, \lambda_i^* = \lambda_i^2(1 - \max \mathcal{B}_i^1)$ .

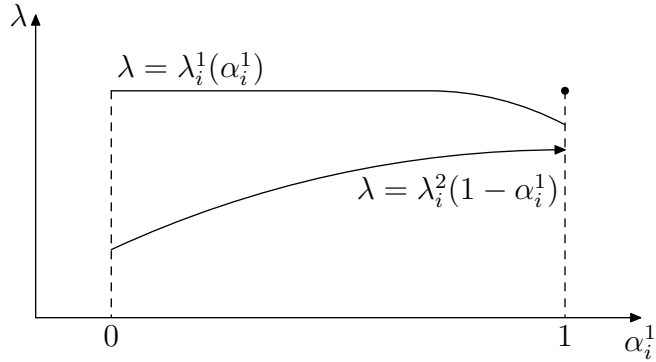


Рис. 3.4. Максимизация  $\lambda_i$  при  $\bar{\alpha}_i^2 = 0, \lambda_i^1(1) \geq \lim_{\alpha_2 \rightarrow +0} \lambda_i^2(\alpha_2)$

ii. Если  $\bar{\alpha}_i^1 = 0$  и  $\lambda_i^2(1) \geq \lim_{\alpha_1 \rightarrow +0} \lambda_i^1(\alpha_1)$  (рис. 3.5), то  $\mathcal{A}_i^1 = \min \mathcal{B}_i^1, \lambda_i^* = \lambda_i^1(\min \mathcal{B}_i^1)$ .

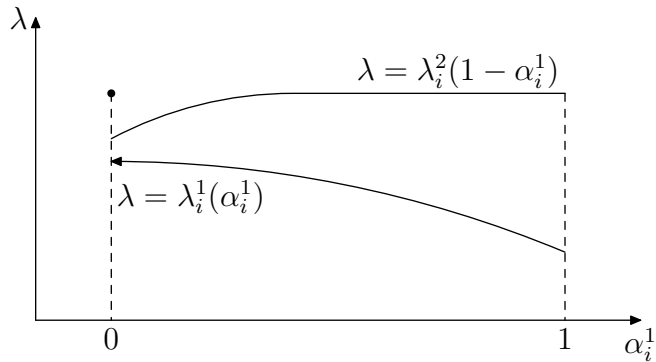


Рис. 3.5. Максимизация  $\lambda_i$  при  $\bar{\alpha}_i^1 = 0, \lambda_i^2(1) \geq \lim_{\alpha_1 \rightarrow +0} \lambda_i^1(\alpha_1)$

iii. В противном случае выполнены неравенства

$$\lambda_i^1(1 - \bar{\alpha}_i^2) < \lim_{\alpha_2 \rightarrow \bar{\alpha}_i^2 + 0} \lambda_i^2(\alpha_2), \quad \lambda_i^2(1 - \bar{\alpha}_i^1) < \lim_{\alpha_1 \rightarrow \bar{\alpha}_i^1 + 0} \lambda_i^1(\alpha_1).$$

Рассмотрим функцию  $\delta(\alpha_i^1) = \alpha_i^1(\alpha_i^1) - \alpha_i^2(1 - \alpha_i^1)$ . Поскольку каждая из функций  $\lambda_i^\xi(\alpha_i^\xi)$ ,  $\xi = 1, 2$ , строго убывает и непрерывна при  $\alpha_i^\xi \in (0, 1]$ , то функция  $\delta(\alpha_i^1)$  также строго убывает и непрерывна при  $\alpha_i^1 \in (0, 1)$ . Кроме того,  $\lim_{\alpha_i^1 \rightarrow \bar{\alpha}_i^1 + 0} \delta(\alpha_i^1) > 0$ ,  $\lim_{\alpha_i^1 \rightarrow 1 - \bar{\alpha}_i^2 - 0} \delta(\alpha_i^1) < 0$ . Следовательно, уравнение  $\lambda_i^1(\alpha_i^1) = \lambda_i^2(1 - \alpha_i^1)$  имеет единственное решение  $\alpha_i^{1,*}$ , причем  $\alpha_i^{1,*} \in (\bar{\alpha}_i^1, 1 - \bar{\alpha}_i^2)$  (рис. 3.6).

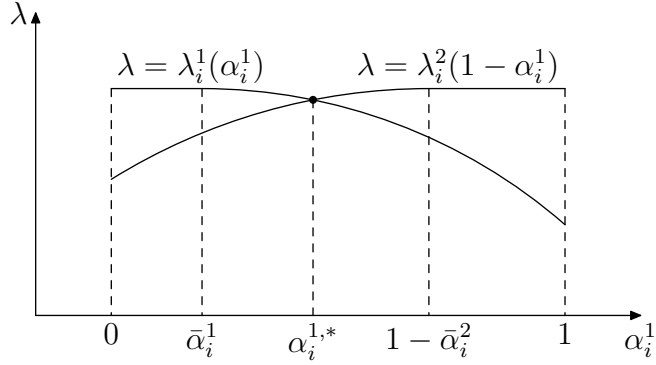


Рис. 3.6. Максимизация  $\lambda_i$  при  $\lambda_i^1(1 - \bar{\alpha}_i^2) < \lim_{\alpha_2 \rightarrow \bar{\alpha}_i^2 + 0} \lambda_i^2(\alpha_2)$ ,  $\lambda_i^2(1 - \bar{\alpha}_i^1) < \lim_{\alpha_1 \rightarrow \bar{\alpha}_i^1 + 0} \lambda_i^1(\alpha_1)$

Если  $\alpha_i^{1,*} \in \mathcal{B}_i^1$ , то  $\lambda_i^* = \lambda_i^1(\alpha_i^{1,*}) = \lambda_i^2(1 - \alpha_i^{1,*})$ ,  $\mathcal{A}_i^1 = \{\alpha_i^{1,*}\}$ . Иначе по крайней мере одно из множеств  $\mathcal{B}_i^1 \cap [0, \alpha_i^{1,*}]$ ,  $\mathcal{B}_i^1 \cap [\alpha_i^{1,*}, 1]$  не пусто. Если  $\mathcal{B}_i^1 \cap [0, \alpha_i^{1,*}] \neq \emptyset$ , определяем  $\underline{\alpha}_i^1 = \max(\mathcal{B}_i^1 \cap [0, \alpha_i^{1,*}])$ . Если  $\mathcal{B}_i^1 \cap [\alpha_i^{1,*}, 1] \neq \emptyset$ , определяем  $\bar{\alpha}_i^1 = \min(\mathcal{B}_i^1 \cap [\alpha_i^{1,*}, 1])$ . Далее величина  $\lambda_i^*$  и множество  $\mathcal{A}_i^1$  определяются как в пункте 1.

Пусть множество  $\mathcal{B}_i^1$  является отрезком. Тогда множество  $\mathcal{A}_i^1$  также является отрезком, или содержит только одну точку. Если множество  $\mathcal{A}_i^1$  является отрезком, то значения потоков с  $i$ -го въезда в выделенные полосы  $r_i^1$ , соответствующие элементам  $\alpha_i^1$  из множества  $\mathcal{A}_i^1$ ,

$$r_i^1 = r_i^1(\alpha_i^1) = \lambda_i^* \alpha_i^1 r_i^d,$$

образуют отрезок  $[r_i^{1,\min}, r_i^{1,\max}]$ , где  $r_i^{1,\min} = r_i^1(\min \mathcal{A}_i^1)$ ,  $r_i^{1,\max} = r_i^1(\max \mathcal{A}_i^1)$ .

### 3.2.2.2 Максимизация суммарного входящего потока

Шаг по времени  $t$  не упоминается. Суммарный входящий поток для основных ячеек автомагистрали в узле  $i$  есть

$$\phi_i = r_i^1 + r_i^2 + f_{i-1}^1 + f_{i-1}^2 = \min\{r_i^1 + f_{i-1}^{1,d}, f_i^{1,s}\} + \min\{r_i^2 + f_{i-1}^{2,d}, f_i^{2,s}\}.$$

Требуется определить число  $\phi^*$  и множество  $\mathcal{A}_i^1$ :

$$\phi^* = \max_{\alpha_i^1 \in \mathcal{B}_i^1} \phi_i(\alpha_i^1),$$

$$\mathcal{A}_i^1 = \text{Arg max}_{\alpha_i^1 \in \mathcal{B}_i^1} \phi_i(\alpha_i^1).$$

Нам понадобится следующее утверждение.

**Утверждение 3.1.** Поток  $r_i^\xi$  является монотонно неубывающей функцией коэффициента расщепления  $\alpha_i^\xi$ ,  $\xi = 1, 2$ , непрерывной на полуинтервале  $[0, 1)$ . В точке  $\alpha_i^\xi = 1$  функция  $r_i^\xi(\alpha_i^\xi)$  полунепрерывна сверху.

*Доказательство.* Докажем утверждение для  $\xi = 1$ . Для  $\xi = 2$  утверждение доказывается аналогично.

Как было показано,  $r_i^1 = \lambda_i \alpha_i^1 r_i^d$ ,  $\lambda_i = \min\{\lambda_i^1, \lambda_i^2\}$ . Поскольку функции  $\lambda_i^\xi$  монотонно не возрастают по  $\alpha_i^\xi$  и  $\alpha_i^2 = 1 - \alpha_i^1$ , отрезок  $[0, 1]$  можно разбить на две части точкой  $\alpha_i^{1,*}$ , такой, что  $\lambda_i^2(1 - \alpha_i^1) \leq \lambda_i^1(\alpha_i^1)$  при  $\alpha_i^1 \in [0, \alpha_i^{1,*}]$  и  $\lambda_i^2(1 - \alpha_i^1) > \lambda_i^1(\alpha_i^1)$  при  $\alpha_i^1 \in (\alpha_i^{1,*}, 1]$ .

Поскольку  $\lambda_i^2(1 - \alpha_i^1)$  является неубывающей функцией, то на отрезке  $[0, \alpha_i^{1,*}]$  функция  $r_i^1(\alpha_i^1) = \lambda_i^2(1 - \alpha_i^1) \alpha_i^1 r_i^d$  также не убывает. На полуинтервале  $(\alpha_i^{1,*}, 1]$  выполнено равенство  $r_i^1(\alpha_i^1) = \psi_i^1(\alpha_i^1)$ , а функция  $\psi_i^1(\alpha_i^1)$  также является неубывающей.

Непрерывность на интервале  $(0, 1)$  и полунепрерывность сверху в точке  $\alpha_i^1 = 1$  вытекает из аналогичных свойств функции  $\lambda_i(\alpha_i^1)$ , а непрерывность в нуле следует из вида функции  $r_i^d(\alpha_i^1)$  и ограниченности функции  $\lambda_i(\alpha_i^1)$ .  $\square$

Если выполнены оба неравенства  $f_i^{1,s} \leq f_{i-1}^{1,d}$  и  $f_i^{2,s} \leq f_{i-1}^{2,d}$  или равенство  $r_i^d = 0$ , то  $\phi_i = \phi_i^* = \min\{f_{i-1}^{1,d}, f_i^{1,s}\} + \min\{f_{i-1}^{2,d}, f_i^{2,s}\}$  вне зависимости от значений коэффициентов расщепления  $\alpha_i^1, \alpha_i^2$ , то есть  $\mathcal{A}_i^1 = \mathcal{B}_i^1$ .

Если  $p_i^r = 0$  и  $f_i^{1,s} \leq f_{i-1}^{1,d}$ , но  $f_i^{2,s} > f_{i-1}^{2,d}$ , то при  $0 \in \mathcal{B}_i^1$   $\mathcal{A}_i^1 = \{0\}$ ,  $\phi_i^* = f_i^{1,s} + \min\{f_i^{2,s}, f_{i-1}^{2,d} + r_i^d\}$ ; иначе  $\mathcal{A}_i^1 = \mathcal{B}_i^1$ ,  $\phi_i^* = f_i^{1,s} + f_{i-1}^{2,d}$ . Аналогично, если  $p_i^r = 0$  и  $f_i^{2,s} \leq f_{i-1}^{2,d}$ , но  $f_i^{1,s} > f_{i-1}^{1,d}$ , то при  $1 \in \mathcal{B}_i^1$   $\mathcal{A}_i^1 = \{1\}$ ,  $\phi_i^* = \min\{f_i^{1,s}, f_{i-1}^{1,d} + r_i^d\} + f_i^{2,s}$ ; иначе  $\mathcal{A}_i^1 = \mathcal{B}_i^1$ ,  $\phi_i^* = f_{i-1}^{1,d} + f_i^{2,s}$ .

Пусть  $r_i^d > 0$ , и выполнено по крайней мере одно из неравенств  $f_i^{1,s} > f_{i-1}^{1,d}$ ,  $f_i^{2,s} > f_{i-1}^{2,d}$ , а если  $p_i^r = 0$ , то выполнены оба эти неравенства.

**Случай  $\max\{0, f_i^{1,s} - f_{i-1}^{1,d}\} + \max\{0, f_i^{2,s} - f_{i-1}^{2,d}\} \leq r_i^d$**  В этом случае максимум суммарного входящего потока  $\phi$  есть  $f_i^{1,s} + f_i^{2,s}$  и достигается при  $r_i^\xi \geq \max\{0, f_i^{\xi,s} - f_{i-1}^{\xi,d}\}$ ,  $\xi = 1, 2$ .

Обозначим

$$\underline{\alpha}_i^1 = \min\{\alpha_i^1 : r_i^1(\alpha_i^1) \geq \max\{0, f_i^{1,s} - f_{i-1}^{1,d}\}\},$$

$$\bar{\alpha}_i^1 = 1 - \max\{\alpha_i^2 : r_i^2(\alpha_i^2) \geq \max\{0, f_i^{2,s} - f_{i-1}^{2,d}\}\}.$$

Покажем, что  $\underline{\alpha}_i^1 \leq \bar{\alpha}_i^1$ .

**Утверждение 3.2.** *Справедливо неравенство  $\underline{\alpha}_i^1 \leq \alpha_i^{1,*} \leq \bar{\alpha}_i^1$ , где*

$$\alpha_i^{1,*} = \frac{\max\{0, f_i^{1,s} - f_{i-1}^{1,d}\}}{\max\{0, f_i^{1,s} - f_{i-1}^{1,d}\} + \max\{0, f_i^{2,s} - f_{i-1}^{2,d}\}}.$$

*Доказательство.* Действительно, если  $\lambda_i(\alpha_i^{1,*}) = 1$ , то  $r_i^1 = \alpha_i^{1,*} r_i^d \geq \max\{0, f_i^{1,s} - f_{i-1}^{1,d}\}$ ,  $r_i^2 = (1 - \alpha_i^{1,*}) r_i^s \geq \max\{0, f_i^{2,s} - f_{i-1}^{2,d}\}$ , следовательно,  $\phi(\alpha_i^{1,*}) = f_i^{1,s} + f_i^{2,s}$ . Пусть  $\lambda_i(\alpha_i^{1,*}) < 1$ . Если  $\lambda_i(\alpha_i^{1,*}) = \lambda_i^1(\alpha_i^{1,*})$ , то  $\alpha_i^{1,*} > 0$ ,  $r_i^1 + f_{i-1}^1 = f_i^{1,s}$ ,

$$r_i^2 = r_i^1 \frac{1 - \alpha_i^{1,*}}{\alpha_i^{1,*}} \geq \max\{0, f_i^{1,s} - f_{i-1}^{1,d}\} \frac{1 - \alpha_i^{1,*}}{\alpha_i^{1,*}} \geq \max\{0, f_i^{2,s} - f_{i-1}^{2,d}\},$$

следовательно,  $r_i^2 + f_{i-1}^2 = f_i^{2,s}$ . Аналогично, если  $\lambda_i(\alpha_i^{1,*}) = \lambda_i^2(1 - \alpha_i^{1,*})$ , то также справедливы равенства  $r_i^2 + f_{i-1}^2 = f_i^{2,s}$ ,  $r_i^1 + f_{i-2}^1 = f_i^{1,s}$ .

Следовательно,  $\underline{\alpha}_i^1 \leq \alpha_i^{1,*}$  и  $\bar{\alpha}_i^1 \geq \alpha_i^{1,*}$ . □

Если  $\mathcal{B}_i^1 \cap [\underline{\alpha}_i^1, \bar{\alpha}_i^1] \neq \emptyset$ , то  $\mathcal{A}_i^1 = \mathcal{B}_i^1 \cap [\underline{\alpha}_i^1, \bar{\alpha}_i^1]$ ,  $\phi_i^* = f_i^{1,s} + f_i^{2,s}$ .

**Утверждение 3.3.** *Если  $r_i^r > 0$  или выполнены неравенства  $f_i^{\xi,s} > f_{i-1}^{\xi,d}$ ,  $\xi = 1, 2$ , то функция  $\phi_i(\alpha_i^1)$  является строго возрастающей при  $\alpha_i^1 \in [0, \underline{\alpha}_i^1)$  и строго убывающей при  $\alpha_i^1 \in (\bar{\alpha}_i^1, 1]$ .*

*Доказательство.* Докажем, что функция  $\phi_i(\alpha_i^1)$  является строго возрастающей на полуинтервале  $[0, \underline{\alpha}_i^1)$ . Строгое убывание на полуинтервале  $(\bar{\alpha}_i^1, 1]$  доказывается аналогично.

При  $\alpha_i^1 < \underline{\alpha}_i^1$  справедливы неравенства  $r_i^1(\alpha_i^1) < f_i^{1,s} - f_{i-1}^{1,d}$ ,  $r_i^2(1 - \alpha_i^1) \geq \max\{0, f_i^{2,s} - f_{i-1}^{2,d}\}$ , значит,  $\lambda_i = \lambda_i^2$ ,

$$\phi_i(\alpha_i^1) = f_{i-1}^{1,d} + r_i^1(\alpha_i^1) + f_i^{2,s} = f_{i-1}^{1,d} + \lambda_i^2(1 - \alpha_i^1) \alpha_i^1 r_i^d + f_i^{2,s}.$$

Функция  $\lambda_i^2(1 - \alpha_i^1)$  является монотонно неубывающей и ненулевой при указанных условиях, значит, функция  $r_i^1(\alpha_i^1) = \lambda_i^2(1 - \alpha_i^1) \alpha_i^1 r_i^d$ , а также функция  $\phi_i(\alpha_i^1)$  являются строго возрастающими на полуинтервале  $(0, \underline{\alpha}_i^1]$ . □

Из только что доказанного утверждения следует, что если  $\mathcal{B}_i^1 \cap [\underline{\alpha}_i^1, \bar{\alpha}_i^1] = \emptyset$ , то максимизатор функции  $\phi(\alpha_i^1)$  на множестве  $\mathcal{B}_i^1$  следует искать среди величин  $\underline{a}_i^1 = \max(\mathcal{B}_i^1 \cap [0, \underline{\alpha}_i^1])$ ,  $\bar{a}_i^1 = \min(\mathcal{B}_i^1 \cap [\bar{\alpha}_i^1, 1])$ . По крайней мере одна из величин  $\underline{a}_i^1, \bar{a}_i^1$  определена.

**Случай**  $\max\{0, f_i^{1,s} - f_{i-1}^{1,d}\} + \max\{0, f_i^{2,s} - f_{i-1}^{2,d}\} > r_i^d > 0$  В этом случае максимум суммарного входящего потока  $\phi$  есть  $\min\{f_{i-1}^{1,d}, f_i^{1,s}\} + \min\{f_{i-1}^{2,d}, f_i^{2,s}\} + r_i^d$  и достигается при  $r_i^1 + r_i^2 = r_i^d$ , то есть при  $\lambda_i = 1$ . Как было показано в п. 3.2.2.1, множество  $\{\alpha_i^1: \lambda_i(\alpha_i^1, 1 - \alpha_i^1) = 1\}$  либо пусто, либо является отрезком или точкой. В нашем случае это множество является отрезком, поскольку оно включает в себя отрезок  $[1 - \hat{\alpha}_i^2, \hat{\alpha}_i^1]$ , где

$$\hat{\alpha}_i^\xi = \min \left\{ 1, \frac{\max\{0, f_i^{\xi,s} - f_{i-1}^{\xi,d}\}}{r_i^d} \right\}, \quad \xi = 1, 2,$$

и  $1 - \hat{\alpha}_i^2 < \hat{\alpha}_i^1$ . Обозначим

$$\bar{\alpha}_i^1 = \max\{\alpha_i^1: \lambda_i^1(\alpha_i^1) = 1\},$$

$$\underline{\alpha}_i^1 = 1 - \max\{\alpha_i^2: \lambda_i^2(\alpha_i^2) = 1\}.$$

Мы уже, фактически, доказали, что  $\underline{\alpha}_i^1 \leq 1 - \hat{\alpha}_i^2 < \hat{\alpha}_i^1 \leq \bar{\alpha}_i^1$ .

Если  $\mathcal{B}_i^1 \cap [\underline{\alpha}_i^1, \bar{\alpha}_i^1] \neq \emptyset$ , то  $\mathcal{A}_i^1 = \mathcal{B}_i^1 \cap [\underline{\alpha}_i^1, \bar{\alpha}_i^1]$ ,  $\phi_i^* = \min\{f_{i-1}^{1,d}, f_i^{1,s}\} + \min\{f_{i-1}^{2,d}, f_i^{2,s}\} + r_i^d$ .

Несложно доказать утверждение, формулировка которого в точности совпадает с формулировкой утверждения 3.3, но для других значений  $\underline{\alpha}_i^1, \bar{\alpha}_i^1$ . Из этого утверждения будет следовать, что, как и в предыдущем случае, если  $\mathcal{B}_i^1 \cap [\underline{\alpha}_i^1, \bar{\alpha}_i^1] = \emptyset$ , то максимизатор функции  $\phi(\alpha_i^1)$  на множестве  $\mathcal{B}_i^1$  следует искать среди величин  $\underline{\alpha}_i^1 = \max(\mathcal{B}_i^1 \cap [0, \underline{\alpha}_i^1])$ ,  $\bar{\alpha}_i^1 = \min(\mathcal{B}_i^1 \cap [\bar{\alpha}_i^1, 1])$ , по крайней мере одна из которых определена.

### 3.2.3 Координация управления на въездах

Прежде чем строить управление, вычислим некоторые вспомогательные величины. Во-первых, найдем максимальный контролируемый уровень концентраций (см. § 1.3.1) для выделенных полос, точнее, соответствующие ему потоки  $f^{1,*}$ :  $f_{K+1}^{1,*} = F_{K+1}^1$ ,

$$f_i^{1,*} = \min\{F_i^{1,d}, f_{i+1}^{1,*}/\beta_{i+1}^f\}, \quad i = K, \dots, 1.$$

Пусть  $i_1 < i_2 < \dots < i_M$  — индексы участков со въездами. Обозначим  $i_{M+1} = K + 2$ . Определим максимальные равновесные потоки для выделенных полос  $f^{1,e}$  следующим образом:  $f_{i_m}^{1,e} = f_{i_m}^{1,*}$ ,  $f_i^{1,e} = \beta_i^f f_{i-1}^{1,e}$ ,  $i = i_m + 1, \dots, i_{m+1} - 1$ . Несложно видеть, что  $f^{1,e} \leq f^{1,*}$ . Вектор концентраций  $n^{1,e}$ , соответствующий вектору потоков  $f^{1,e}$  и состоянию свободного движения, определяется так:  $n_i^{1,e} = f_i^{1,e}/(\beta_i^f v_i)$ ,  $i = 1, \dots, K + 1$ . Обозначим

$$N^{1,e}(i_m, i_{m+1}) = \sum_{i=i_m}^{i_{m+1}-1} n_i^{1,e}.$$

На каждом шаге вычисляем число автомобилей между соседними въездами

$$n^1(t, i_m, i_{m+1}) = \sum_{i=i_m}^{i_{m+1}-1} n_i^1(t),$$

диапазон потоков со въездов для выделенных полос  $[r_{i_m}^{1,\min}(t), r_{i_m}^{1,\max}(t)]$ ; оцениваем исходящие потоки  $\tilde{s}_i^1(t)$ ,  $i = 1, \dots, K$ , и потоки  $\tilde{f}_{i_m}^1(t)$ ,  $m = 1, \dots, M$ , при  $r^1(t) = r^{1,\min}(t)$ .

Модифицируем диапазон потоков со въездов  $r^1(t)$  следующим образом.

1. Чтобы не перераспределять потоки со въездов в состоянии свободного движения, если  $\bar{\alpha}_i^1(t) + \bar{\alpha}_i^2(t) > 1$  и  $\bar{\alpha}_i^1(t) > l_1/(l_1 + l_2)$ , положим  $\bar{\alpha}_i^1(t) = \max\{1 - \bar{\alpha}_i^2(t), l_1/(l_1 + l_2)\}$  и пересчитаем  $r_i^{1,\max}(t)$ .
2. Если  $f_{i_m-1}^{1,d}(t) + r_{i_m}^{1,\max}(t) > \min\{f_{i_m}^{1,s}(t), f_{i_m}^{1,e}/\beta_{i_m}^f\}$ , уменьшаем  $r_{i_m}^{1,\max}(t)$ :

$$r_{i_m}^{1,\max}(t) = \max\{r_{i_m}^{1,\min}(t), \min\{f_{i_m}^{1,s}(t), f_{i_m}^{1,e}/\beta_{i_m}^f\} - f_{i_m-1}^{1,d}(t)\}.$$

Потоки со въездов  $r_{i_m}^1(t)$  определяются согласно следующему алгоритму.

1.  $\Delta n = 0$ ,  $m = M$ ,  $\gamma_M = 1$ .

Величина  $\Delta n$  обозначает текущий суммарный избыток плотности, то есть числа автомобилей;  $\Delta n$  обновляется на каждом шаге.

2. Вычислить  $\Delta n^1(t, i_m, i_{m+1}; \gamma_m) = n^1(t, i_m, i_{m+1}) - \gamma_m N^{1,e}(i_m, i_{m+1})$  и обновить  $\Delta n$ :

$$\Delta n \leftarrow \Delta n + \Delta n^1(t, i_m, i_{m+1}; \gamma_m) + \tilde{f}_{i_m-1}^1(t) - \tilde{f}_{i_{m+1}-1}^1(t) - \sum_{i=i_m}^{i_{m+1}-1} \tilde{s}_i^1(t).$$

3. Определить  $r_{i_m}^1(t)$ :

$$r_{i_m}^1(t) = \max\{r_{i_m}^{1,\min}(t), \min\{r_{i_m}^{1,\max}(t), -\Delta n\}\}$$

4. Если  $m = 1$ , стоп.

5. Обновить  $\Delta n$ :

$$\Delta n \leftarrow \max\{0, \Delta n + r_{i_m}^1(t)\}.$$

6. Вычислить  $\gamma_{m-1}$ :

$$\gamma_{m-1} = \min\{1, (f_{i_m}^{1,s}(t) - r_{i_m}^1(t))/f_{i_m-1}^{1,e}\}.$$

7. Уменьшить  $m$  на единицу и перейти к шагу 2.

То, что ограничения на суммарное число автомобилей между въездами и ограничения на суммарный входящий поток для участка между соседними въездами достаточно для приведения каждой ячейки в состояние свободного движения и удержания в нем, будет доказано позже.

Коэффициенты расщепления  $\alpha_i^1(t)$ ,  $\alpha_i^2(t)$  восстанавливаются по потоку со въезда  $r_i^1(t)$  довольно просто.

- Если  $r_i^d(t) = 0$  или  $\lambda_i^*(t) = 0$ , то  $r_i(t) = r_i^1(t) = r_i^2(t)$  независимо от коэффициентов расщепления  $\alpha_i^1(t)$ ,  $\alpha_i^2(t)$ .
- Иначе  $\alpha_i^1(t) = r_i^1(t)/r_i(t)$ ,  $\alpha_i^2(t) = 1 - \alpha_i^1(t)$ , где  $r_i(t) = \lambda_i^*(t)r_i^d(t)$ .

**Замечание.** Можно изменить модель узла, разрешив перестроение из обычных полос в выделенные, также за плату. Условие максимального использования пропускной способности в виде максимизации суммарного входящего потока для основных ячеек автомагистрали ограничивает множество цен въезда в выделенные полосы автомагистрали. Далее, координируя при необходимости управление в узлах, как это описано выше, для каждого узла выбирается цена. Целью при этом является ограничение суммарного числа автомобилей между соседними контролируемыми узлами не выше заданного уровня и ограничение суммарного входящего потока для платных полос.

### 3.3 Обоснование алгоритма управления

Покажем, что если выделенные полосы автомагистрали в некоторый момент  $t$  находятся в состоянии свободного движения, причем  $n^1(t) \leq n^{1,e}$ , то это неравенство будет сохранено предложенным алгоритмом управления, если не возникнет существенных ограничений со стороны обычных полос и если входные потоки  $d_i$  будут не слишком большими.

Поскольку везде речь идет только о выделенных полосах, и состояние бесплатных полос не учитывается, верхний индекс 1 упоминаться не будет. По сути, приведенные ниже теоремы справедливы также для модели автострады без выделенных полос.

**Теорема 3.1.** Пусть  $n(t) \leq n^e$  и для всех ячеек со въездами  $i_m$ ,  $m = 1, \dots, M$ , выполнено неравенство  $r_{i_m}(t) \leq f_{i_m}^e/\beta_{i_m}^f - f_{i_m-1}^d(t)$ . Тогда  $n(t+1) \leq n^e$ .

*Доказательство.* Покажем, что для ячеек со въездом  $i_m$  неравенство  $r_{i_m}(t) \leq f_{i_m}^e/\beta_{i_m}^f - f_{i_m-1}^d(t)$  возможно, то есть  $f_{i_m}^e/\beta_{i_m}^f - f_{i_m-1}^d(t) \geq 0$ . Для первой ячейки это неравенство,

очевидно, выполнено, поскольку  $f_0^d(t) \equiv 0$ . Поскольку  $n(t) \leq n^e$ , то  $f_i^d(t) \leq f_i^e$  для всех  $i$ . С учетом равенства  $f_{i_m}^e = f_{i_m}^*$  и неравенства  $f^e \leq f^*$ , получаем

$$f_{i_m}^e/\beta_{i_m}^f - f_{i_m-1}^d(t) \geq f_{i_m}^e/\beta_{i_m}^f - f_{i_m-1}^e \geq f_{i_m}^*/\beta_{i_m}^f - f_{i_m-1}^* \geq 0.$$

Далее, в условиях теоремы  $f_i(t) = f_i^d(t) = \beta_i^f v_i n_i(t)$  для всех  $i$ , для всех ячеек со въездом  $i_m$  выполнены неравенства  $f_{i_m-1}(t) + r_{i_m}(t) \leq f_{i_m}^e/\beta_{i_m}^f$ , а для ячеек  $i$  без въезда  $r_i(t) = 0$  и выполнено неравенство  $f_{i-1}(t) \leq f_{i-1}^e \leq f_i^e/\beta_i^f$ . Поэтому

$$n_i(t+1) = n_i(t) - f_i(t)/\beta_i^f + f_{i-1}(t) + r_i(t) \leq n_i(t)(1 - v_i) + f_i^e/\beta_i^f \leq n_i^e(1 - v_i) + f_i^e/\beta_i^f = n_i^e. \quad \square$$

Если же в начальный момент времени неравенство  $n(t) \leq n^e$  не выполнено, можно доказать теорему 3.2.

*Равновесным* назовем поток  $f$  между ячейками, такой, что  $f \leq F^d$ ,  $f_0 = 0$  и существует вектор потоков со въездов  $r$ , такой, что  $r_i = 0$ , если в ячейке  $i$  нет въезда, и  $r_i \geq 0$ , если на участке  $i$  есть въезд, и  $f_{i-1}^e + r_i = f_i^e/\beta_i^f$ ,  $i = 1, \dots, K + 1$ .

**Теорема 3.2.** Пусть  $f^e$  — равновесный поток, но не обязательно максимальный равновесный поток, определенный в § 3.2.3. Пусть на каждом шаге  $t$  выполнены неравенства

$$\sum_{i=i_m}^{i_{m+1}-1} n_i(t) \leq \sum_{i=i_m}^{i_{m+1}-1} n_i^e$$

для каждой пары соседних въездов  $(i_m, i_{m+1})$ , и

$$f_{i_m-1}(t) + r_{i_m}(t) \leq f_{i_m}^e/\beta_{i_m}^f, \quad f_{i_m}^s(t) \geq f_{i_m-1}^e$$

для каждой ячейки со въездом  $i_m$ .

Тогда для любого  $\varepsilon > 0$  найдется момент времени  $T = T(\varepsilon)$ , начиная с которого будут выполняться неравенства  $n_i(T + \Delta t) \leq n_i^e + \varepsilon$  для всех  $i$  и для всех  $\Delta t = 0, 1, 2, \dots$ , где  $n_i^e = f_i^e/(\beta_i^f v_i)$ .

*Доказательство.* Преобразуем модель так, чтобы в ячейках не было съездов. Для этого пропускную способность  $F_i^s$ , максимальное число автомобилей  $N_i$ , входной поток  $d_i$ , пропускную способность въезда  $R_i$  число автомобилей в основных ячейках автомагистрали  $n_i(t)$  и на въездах  $q_i(t)$  умножим на поправочный коэффициент  $\mu_i = \prod_{j=1}^{i-1} (\beta_j^f)^{-1}$ , а пропускную способность для исходящего потока  $F_i^d$  умножим на  $\mu_{i+1}$ . Для измененной системы (величины, к ней относящиеся, будем обозначать символом  $\hat{\phantom{x}}$ )

$$\hat{f}_{i-1}^d(t) = \min\{v_{i-1}\hat{n}_{i-1}(t), \hat{F}_{i-1}^d\} = \mu_i f_{i-1}^d(t),$$

$$\hat{f}_i^s(t) = \min\{w_i(\hat{N}_i - \hat{n}_i(t)), \hat{F}_i^s\} = \mu_i f_i^s(t),$$

$$\hat{r}_i^d(t) = \min\{v_i^r \hat{q}_i(t), \hat{R}_i\} = \mu_i r_i^d(t),$$

следовательно,  $\hat{f}_{i-1}(t) = \mu_i f_{i-1}(t)$ ,  $\hat{r}_i(t) = \mu_i r_i(t)$ , поэтому  $\hat{n}_i(t+1) = \mu_i n_i(t+1)$ ,  $\hat{q}_i(t+1) = \mu_i q_i(t+1)$ , то есть, исходная система эквивалентна преобразованной. Компоненты равновесного потока  $f_i^e$  также умножаются на  $\mu_{i+1}$ . Неравенства  $f_{i_m-1}(t) + r_{i_m}(t) \leq f_{i_m}^e / \beta_{i_m}^f$ ,  $f_{i_m}^s(t) \geq f_{i_m-1}^e$  из условий теоремы переходят в неравенства  $\hat{f}_{i_m-1}(t) + \hat{r}_{i_m}(t) \leq \hat{f}_{i_m}^e$ ,  $\hat{f}_{i_m}^s(t) \geq \hat{f}_{i_m-1}^e$ , а неравенство  $\sum_{i=i_m}^{i_{m+1}-1} n_i(t) \leq \sum_{i=i_m}^{i_{m+1}-1} n_i^e$  переходит в неравенство  $\sum_{i=i_m}^{i_{m+1}-1} \mu_i^{-1} \hat{n}_i(t) \leq \sum_{i=i_m}^{i_{m+1}-1} \mu_i^{-1} \hat{n}_i^e$ . Поэтому теорему можно доказывать для автомагистрали без съездов, но для этого нужно заменить неравенство  $\sum_{i=i_m}^{i_{m+1}-1} n_i(t) \leq \sum_{i=i_m}^{i_{m+1}-1} n_i^e$  на неравенство

$$\sum_{i=i_m}^{i_{m+1}-1} \alpha_i n_i(t) \leq \sum_{i=i_m}^{i_{m+1}-1} \alpha_i n_i^e,$$

где  $\alpha_1 \geq \alpha_2 \geq \dots \geq \alpha_{K+1} > 0$ , а точнее,  $\alpha_i = \mu_i^{-1} = \prod_{j=1}^{i-1} \beta_j^f$ .

Итак, будем считать, что на автомагистрали нет съездов, то есть  $\beta_i^f = 1$  для всех  $i$ . При этом неравенство  $F_i^d \leq \beta_i^f F_i^s$  по-прежнему может выполняться строго. Если на автомагистрали нет съездов, то для равновесного потока  $f_{i_m}^e = f_{i_m+1}^e = \dots = f_{i_{m+1}-1}^e$ .

Рассмотрим участок между соседними въездами,  $i_m$  и  $i_{m+1}$ . Рассмотрим кластеры ячеек, в которых плотность превышает  $n_i^e$ . Несложно показать, что один кластер не может распасться на два или более, и правая граница кластера может передвигаться лишь вправо (*вправо* означает *в направлении увеличения индексов ячеек*). Кроме того, кластеры могут исчезать, но не могут появляться (а появляться они могли бы лишь в ячейке со въездом, то есть слева), поскольку  $f_{i_m-1}(t) + r_{i_m}(t) \leq f_{i_m}^e$ , по условию теоремы.

Будем исследовать поведение системы после того момента, когда число кластеров и их правые границы перестанут меняться. Если между соседними въездами  $i_m$ ,  $i_{m+1}$  не останется кластеров, то, очевидно,  $h_m(t) = 0$  и теорема доказана. Пусть  $i_m^*$  — правая граница первого (слева) кластера. Применяя лемму 1.1 о монотонности, считая ячейку  $i_m^*$  въездом к ячейке  $i_m^* + 1$ , можно показать, что  $\liminf_{t \rightarrow \infty} n_i(t) \geq n_i^e$  при  $i \geq i_m^*$ . Действительно, даже если в начальный момент  $n_i(0) = 0$  при  $i_m^* < i < i_{m+1}$ , и  $f_{i_m^*}(t) \equiv f_{i_m^*}^e$ , то  $n_i(1) \geq 0 = n_i(0)$ , следовательно,  $n_i(t+1) \geq n_i(t)$  для всех  $t$  и для всех  $i_m^* < i < i_{m+1}$ , поэтому последовательность векторов  $(n_{i_m^*+1}(t), \dots, n_{i_{m+1}-1}(t))$  сходится к минимальному равновесию, соответствующему входному потоку  $f_{i_m^*}^e$ , то есть к  $(n_{i_m^*+1}^e, \dots, n_{i_{m+1}-1}^e)$ .

Обозначим

$$h_m(t) = \sum_{i=i_m}^{i_{m+1}-1} \max\{0, n_i(t) - n_i^e\}.$$

Нужно доказать, что  $h_m(t) \rightarrow 0$  при  $t \rightarrow \infty$ . Несложно видеть, что величина  $h_m(t)$  неотрицательна и не возрастает при увеличении  $t$ . Действительно, ячейки, в которых  $n_i(t) > n_i^e$ , составляют кластеры, входящий поток для каждого кластера не превышает  $f_{i_m}^e$ , а исходящий

поток не меньше этой величины. Следовательно, у последовательности чисел  $\{h_m(t)\}_{t=0}^{\infty}$  существует неотрицательный предел. Пусть  $\lim_{t \rightarrow \infty} h_m(t) = \delta > 0$ . Будем рассматривать систему с того момента, когда  $n_i(t) \geq n_i^e - \delta(i_{m+1} - i_m)^{-1} \alpha_{i_{m+1}} \alpha_i^{-1} / 2$  для всех  $i = i_m^* + 1, \dots, i_{m+1} - 1$ . Поскольку мы предполагаем, что  $h_m(t) \geq \delta$ , то

$$\begin{aligned} 0 &\geq \sum_{i=i_m}^{i_m-1} \alpha_i (n_i(t) - n_i^e) = \\ &= \sum_{\substack{i < i_m^*, \\ n_i(t) \leq n_i^e}} \alpha_i (n_i(t) - n_i^e) + \sum_{n_i(t) > n_i^e} \alpha_i (n_i(t) - n_i^e) + \sum_{\substack{i > i_m^*, \\ n_i(t) \leq n_i^e}} \alpha_i (n_i(t) - n_i^e) \geq \\ &\geq \alpha_{i_m} \sum_{\substack{i < i_m^*, \\ n_i(t) \leq n_i^e}} (n_i(t) - n_i^e) + \alpha_{i_{m+1}} \frac{\delta}{2}. \end{aligned}$$

Таким образом, на каждом шаге  $t$  выполнено неравенство

$$\sum_{\substack{i < i_m^*, \\ n_i(t) \leq n_i^e}} (n_i^e - n_i(t)) \geq \frac{\delta \alpha_{i_{m+1}}}{2 \alpha_{i_m}}. \quad (3.1)$$

Покажем, что первый слева кластер перестанет существовать через конечное время. Действительно, не реже, чем каждые  $(i_m^* - i_m)$  шагов число автомобилей в кластере уменьшится не менее чем на

$$\beta_{i_m}^f \times \dots \times \beta_{i_m^*-1}^f \times \frac{\delta \alpha_{i_{m+1}}}{2 \alpha_{i_m} (i_m^* - i_m)} = \varepsilon > 0.$$

Это связано с неравенством (3.1), из которого следует, что на каждом шаге  $t$  среди ячеек  $i_m, \dots, i_m^* - 1$  по крайней мере в одной  $n_i(t) \leq n_i^e - \delta \alpha_{i_{m+1}} / (2 \alpha_{i_m} (i_m^* - i_m))$ , поэтому не больше, чем через  $(i_m^* - i_m)$  шагов входящий поток для кластера будем снижен не менее чем на  $\varepsilon$ . Следовательно, через  $\lceil h_m(t) (i_m^* - i_m) / \varepsilon \rceil$  шагов первый кластер существовать уже не будет. Но это противоречит нашему предположению об установившемся числе кластеров и об установившихся правых границах кластеров. Поэтому  $h_m(t) \rightarrow 0$  при  $t \rightarrow \infty$ , что доказывает теорему.  $\square$

**Замечание.** В условиях теоремы 3.2 неравенство

$$\sum_{i=i_m}^{i_{m+1}-1} n_i(t) \leq \sum_{i=i_m}^{i_{m+1}-1} n_i^e$$

можно заменить на условие

$$\limsup_{t \rightarrow +\infty} \sum_{i=i_m}^{i_{m+1}-1} n_i(t) \leq \sum_{i=i_m}^{i_{m+1}-1} n_i^e.$$

На шаге 3 алгоритма управления делается попытка выполнить оба неравенства из условий теоремы 3.2,  $\sum_{i=i_m}^{i_m+1-1} n_i(t+1) \leq \sum_{i=i_m}^{i_m+1-1} n_i^e$  и  $f_{i_m-1}(t) + r_{i_m}(t) \leq f_{i_m}^e / \beta_{i_m}^f$ . Если сделать это невозможно, на шаге 6 уменьшается равновесный поток для ячеек выше по течению, что при не слишком больших входных потоках вверх по течению может со временем привести к снижению входящего потока  $f_{i_m-1}$  для ячейки  $i_m$ .

### 3.4 Примеры

Приведем примеры работы алгоритма управления с условием минимизации скорости роста очереди для автомагистрали с одним и с двумя въездами. Отметим, что для первого въезда условие минимизации скорости роста очереди всегда эквивалентно условию максимизации суммарного входящего потока для основных ячеек автомагистрали.

**Автомагистраль с одним въездом** Схема автомагистрали с одним въездом, в самом начале автомагистрали, приведена на рис. 3.7.

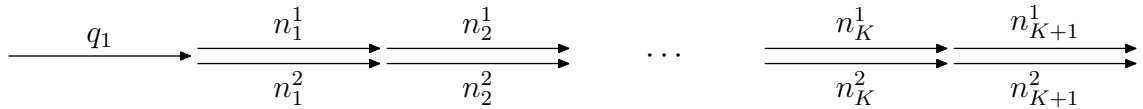


Рис. 3.7. Схема автомагистрали с одним въездом

Автомагистраль имеет одну платную и одну бесплатную полосу. Параметры всех ячеек, такие как пропускная способность  $F_i^\xi$ , скорость свободного движения  $v_i$  и скорость роста затора  $w_i$ , максимальное число автомобилей в ячейках  $N_i^\xi$ , одинаковы для всех ячеек, кроме последней. Пропускная способность последней ячейки меньше пропускной способности остальных ячеек:

$$F_1^\xi = F_2^\xi = \dots = F_K^\xi > F_{K+1}^\xi, \quad \xi = 1, 2,$$

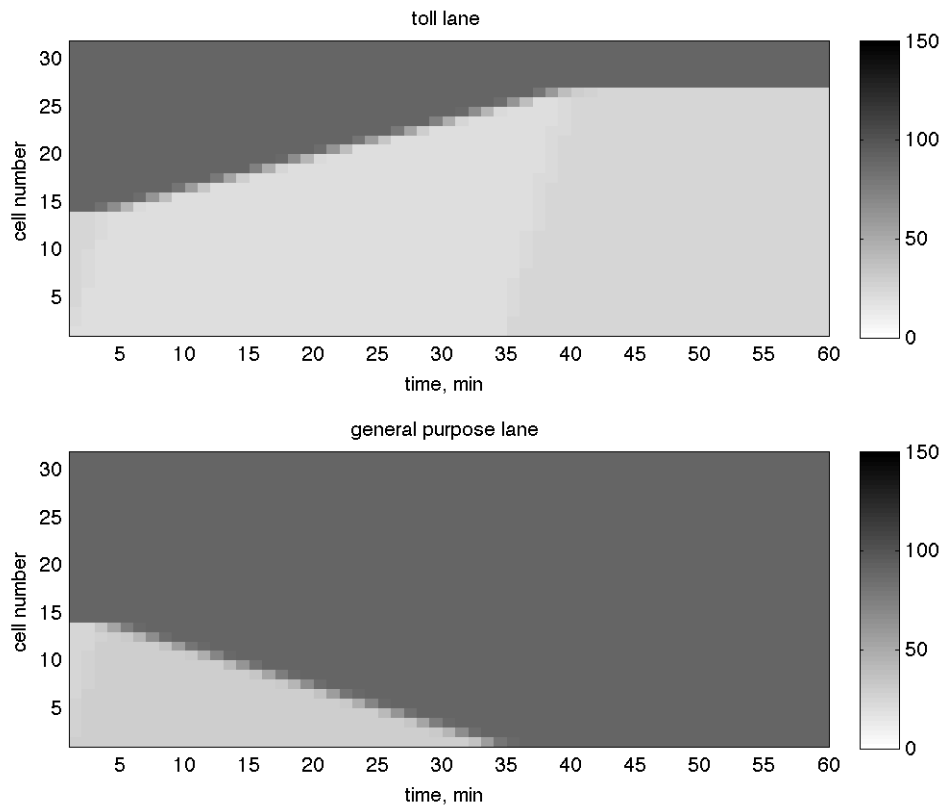
то есть в конце автомагистраль сужается. Все параметры платной и бесплатной полосы одинаковые:  $F_i^1 = F_i^2$ ,  $N_i^1 = N_i^2$  для всех  $i$ .

Первый сценарий: разгрузка платной полосы. Входной поток  $d_0$  постоянный и равен суммарной пропускной способности последней ячейки:  $d_0 = F_{K+1}^1 + F_{K+1}^2$ . В начальный момент платные и бесплатные полосы находятся в равновесии, соответствующем потокам со въездов  $r_0^\xi = F_{K+1}^1$ , которые являются допустимыми, но не строго допустимыми. Часть ячеек в начале автомагистрали находятся в состоянии свободного движения ( $n_i^\xi(0) = n_i^{\xi,u}$ ,  $i \leq i^*$ ), остальные ячейки загружены ( $n_i^\xi(0) = n_i^{\xi,c}$ ,  $i > i^*$ ).

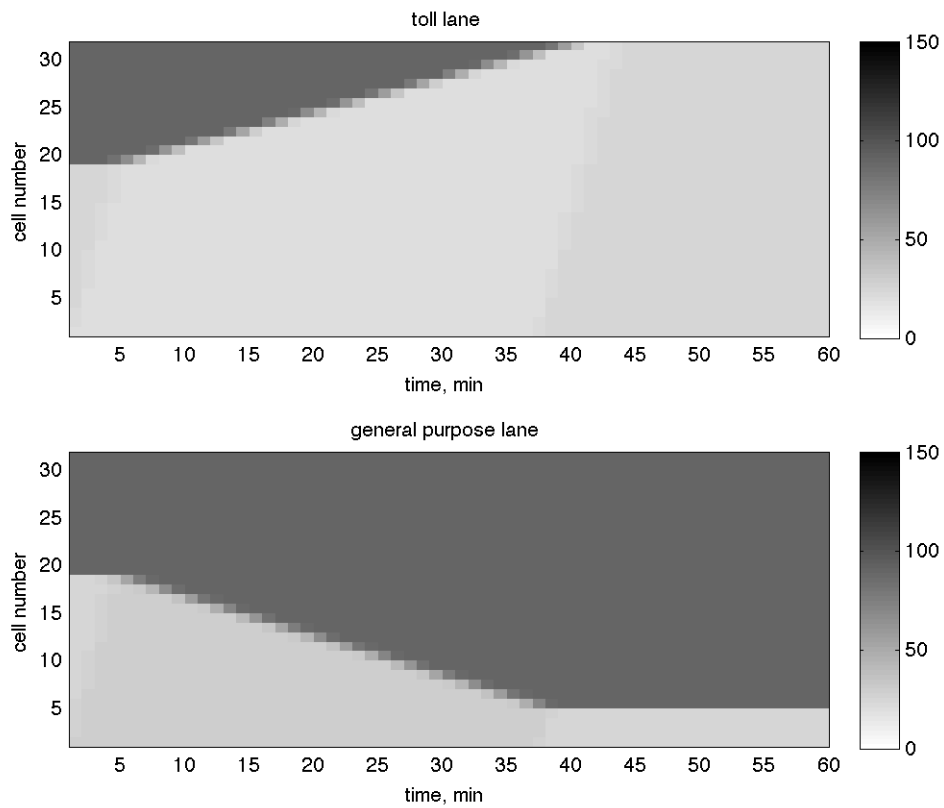
На рис. 3.8 показано изменение состояния системы под действием управления, перераспределяющего входной поток, чтобы разгрузить платные полосы.

По оси абсцисс — время в минутах, по оси ординат — номер ячейки. Цветом обозначена плотность, то есть число автомобилей в ячейках: чем темнее цвет, тем больше плотность. На графике сверху — состояние платной полосы, снизу — бесплатной. Если в начальный момент автомагистраль заполнена больше, чем наполовину, то есть  $i^* > K/2$ , то полная разгрузка платных полос невозможна (рис. 3.8а). Если же в начальный момент автомагистраль заполнена меньше, чем наполовину, то есть  $i^* < K/2$ , то через конечное число шагов платные полосы будут полностью разгружены, некоторые ячейки в начале бесплатных полос могут остаться незагруженными (рис. 3.8б).

Второй сценарий: временно недопустимый входной поток. В начальный момент входной поток допустимый, но не строго допустимый:  $d(0) = F_{K+1}^1 + F_{K+1}^2$ . С 5 до 30 минут входной поток недопустимый:  $F_{K+1}^1 + F_{K+1}^2 < d(t) \leq F_1^1 + F_1^2$ , а затем снова допустимый, но не строго. В начальном положении автомагистраль не загружена:  $n_i^\xi(0) = n_i^{\xi,u}$ ,  $\xi = 1, 2$  для всех  $i$ . Когда входной поток становится недопустимым, начинают загружаться бесплатные полосы, а если входной поток очень большой,  $d(t) > F_{K+1}^1 + F_1^2$ , то и платные полосы начинают загружаться, как это и происходит на рис. 3.9. Когда входной поток становится снова допустимым, но не строго, платные полосы начинают разгружаться, а бесплатные загружаются по-прежнему, но только до тех пор, пока платные полосы не разгрузятся полностью.



(a) В начальный момент автомагистраль загружена больше, чем наполовину



(б) В начальный момент автомагистраль загружена меньше, чем наполовину

Рис. 3.8. Разгрузка платной полосы автомагистрали с одним въездом

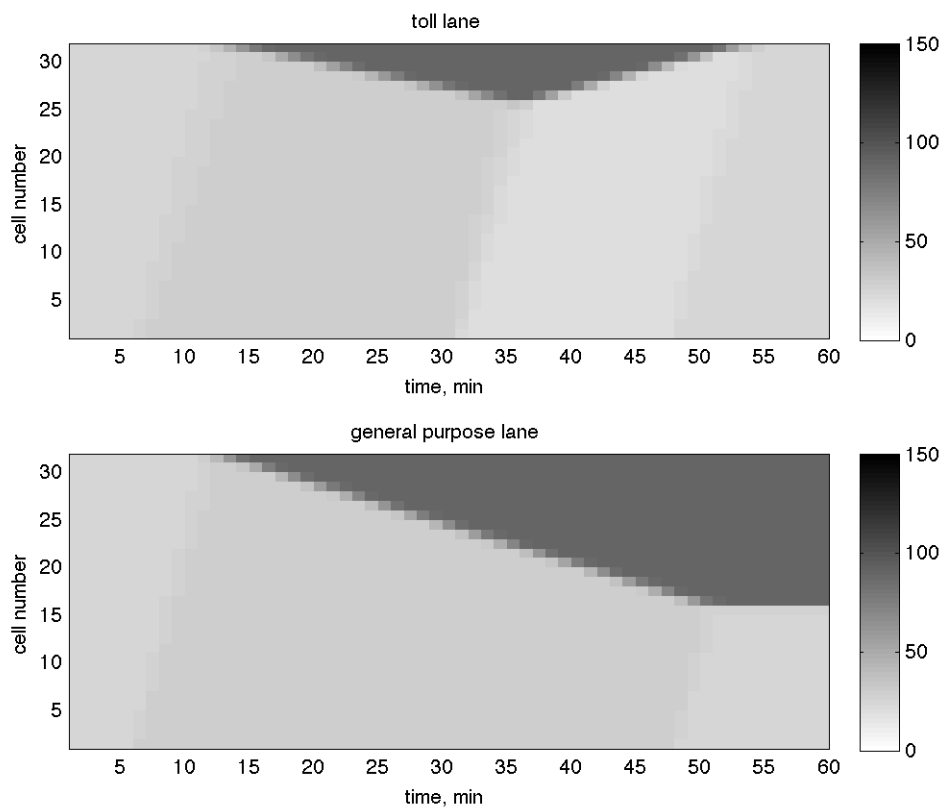


Рис. 3.9. Временно недопустимый входной поток

**Автомагистраль с двумя въездами** Схема автомагистрали с двумя въездами, в начале и в середине автомагистрали, изображена на рис. 3.10.

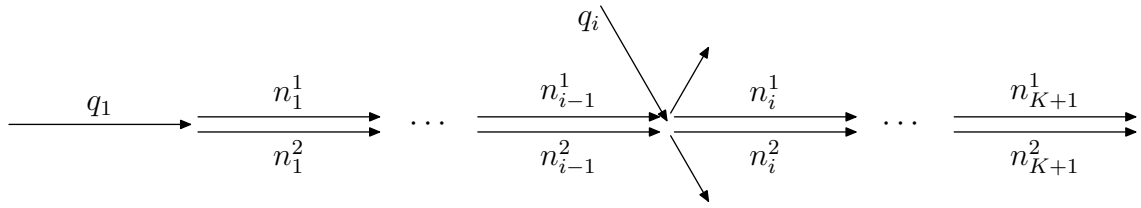


Рис. 3.10. Схема автомагистрали с двумя въездами

Сценарий: разгрузка платной полосы. Входной поток допустимый, но не строго допустимый, в начальный момент система находится в состоянии равновесия, часть ячеек в начале автомагистрали свободны, остальные — загружены. На рис. 3.11 показано изменение состояния платной и бесплатной полосы. Несмотря на то, что между первым и вторым въездом, находящимся ровно в середине автомагистрали, все ячейки свободны, поток с первого въезда также перераспределяется, что ускоряет разгрузку платной полосы.

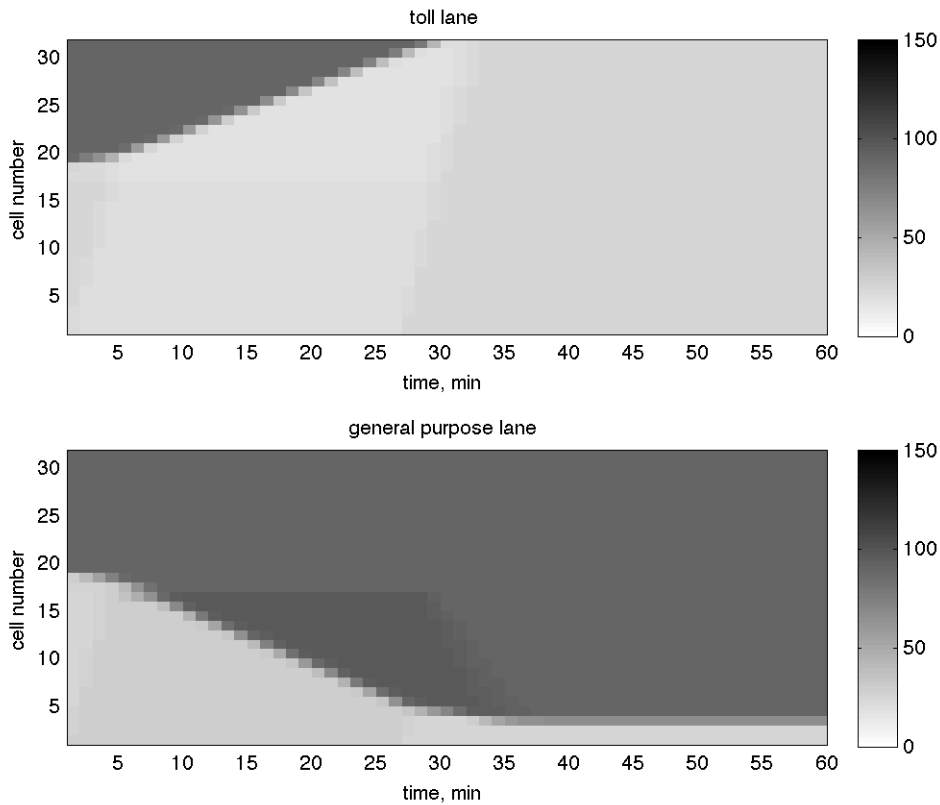


Рис. 3.11. Разгрузка платной полосы автомагистрали с двумя въездами

## Заключение

В работе получены следующие основные результаты.

1. Предложены понятия пропускной способности и уровня загруженности автострады для дискретной модели кольцевой и незамкнутой автострады. Получен способ вычисления пропускной способности кольцевой и незамкнутой автострады.
2. Описано множество положений равновесия в моделях незамкнутой и кольцевой автострады. Доказано, что в модели незамкнутой автострады все равновесия являются устойчивыми. Получен критерий устойчивости равновесий в модели кольцевой автострады.
3. Предложен алгоритм управления состоянием незамкнутой автострады с помощью выделенных платных полос. Цель управления — поддерживать выделенные полосы в состоянии свободного движения, при условии максимального использования их пропускной способности.

По-видимому, способ вычисления пропускной способности и структуру множества равновесий незамкнутой автомагистрали можно обобщить на любую транспортную сеть без циклов. Исследование положений равновесия в модели кольцевой автомагистрали показывает, что свойства транспортной сети существенно меняются при появлении в ней циклов. В частности, в модели кольцевой автострады, в отличие от модели незамкнутой автострады, равновесный поток не единственен.

Что касается алгоритмов управления состоянием автострады как при помощи платных полос, так и другими способами (например, ограничивая потоки со въездов), следует разработать систему оценки и сравнения эффективности алгоритмов управления в реальных условиях. Например, обработав данные о работе алгоритма, скажем, в течение дня, можно построить оптимальное управление для этого дня и сравнить результат с показателями оцениваемого алгоритма управления.

Автор благодарит своего научного руководителя академика Александра Борисовича Куржанского за постановку задачи и постоянное внимание к работе, Александра Александровича Куржанского (PhD) за плодотворные обсуждения, доцента А. В. Гасникова за ценные замечания и В. Д. Ширяева за помощь в вычитке диссертации.

Работа выполнена при финансовой поддержке РФФИ (гранты 12-01-00261-а и 13-01-90419-Укр\_ф\_а) и программы «Государственная поддержка ведущих научных школ» (грант НШ-2239.2012.1).

## Список литературы

1. *Gazis D. C., Herman R., Potts R. B.* Car-Following Theory of Steady-State Traffic Flow // *Operations Research*. — 1959. — Vol. 7, issue 4. — Pp. 499–505.
2. *Newell G. F.* Nonlinear effects in the dynamics of car following // *Operations Research*. — 1961. — Vol. 9, no. 2. — Pp. 209–229.
3. *Gazis D. C., Herman R., Rothery R. W.* Nonlinear Follow-the-Leader Models of Traffic Flow // *Operations Research*. — 1961. — Vol. 9, issue 4. — Pp. 545–567.
4. *Treiber M., Hennecke A., Helbing D.* Congested traffic states in empirical observations and microscopic simulations // *Physical Review E*. — 2000. — Vol. 62, issue 2. — Pp. 1805–1824.
5. *Nagel K., Schreckenberg M.* A cellular automaton model for freeway traffic // *Journal de Physique I*. — 1992. — Vol. 2, no. 12. — Pp. 2221–2229.
6. Математическое моделирование движения автотранспортных потоков методами механики сплошной среды. Двухполосный транспортный поток: модель Т-образного перекрестка, исследование влияния перестроений транспортных средств на пропускную способность участка магистрали / Н. Н. Смирнов [и др.] // *Труды Московского физико-технического института*. — 2010. — Т. 2, № 4. — С. 141–151.
7. *Piccoli B., Garavello M.* Traffic Flow on Networks. — American Institute of Mathematical Sciences, 2006. — (AIMS Series on Applied Mathematics).
8. Введение в математическое моделирование транспортных потоков / А. В. Гасников [и др.] ; под ред. А. В. Гасникова. — М.: Изд-во МЦНМО, 2013.
9. *Beckmann M., McGuire C. B., Winsten C. B.* Studies in the economics of transportation. — Yale University Press, 1956.
10. *Nesterov Y., de Palma A.* Stationary dynamic solutions in congested transportation networks: summary and perspectives // *Networks and Spatial Economics*. — 2003. — Vol. 3, no. 3. — Pp. 371–395.
11. *Ortúzar J. de Dios, Willumsen L. G.* Modelling Transport. — John Wiley & Sons, 2011.

12. Automatic Calibration of the Fundamental Diagram and Empirical Observations on Capacity / G. Dervisoglu [et al.] // 8th Annual Transportation Research Board Meeting. — 2009.
13. Куржанский А. А., Куржанский А. Б., Варайя П. Роль макромоделирования в активном управлении транспортной сетью // Труды Московского физико-технического института. — 2010. — Т. 2, № 4. — С. 100–118.
14. Lighthill M. J., Whitham G. B. On Kinematic Waves. I. Flood Movement in Long Rivers // Proceedings of the Royal Society of London. Series A, Mathematical and Physical Sciences. — 1955. — Vol. 229, no. 1178. — Pp. 281–316.
15. Lighthill M. J., Whitham G. B. On Kinematic Waves. II. A Theory of Traffic Flow on Long Crowded Roads // Proceedings of the Royal Society of London. Series A, Mathematical and Physical Sciences. — 1955. — Vol. 229, no. 1178. — Pp. 317–345.
16. Richards P. I. Shock waves on the highway // Operations Research. — 1956. — Vol. 4, no. 1. — Pp. 42–51.
17. Greenshields B. D. A study of traffic capacity // Proceedings of the Fourteenth Annual Meeting of the Highway Research Board. Vol. 14. — 1935. — Pp. 448–477. — (Highway Research Board Proceedings).
18. LeVeque R. J. Numerical Methods for Conservation Laws. — Birkhäuser, 1992.
19. Гельфанд И. М. Некоторые задачи теории квазилинейных уравнений // Успехи математических наук. — 1959. — Т. XIV, 2 (86). — С. 87–158.
20. Олейник О. А. О единственности и устойчивости обобщенного решения задачи Коши для квазилинейного уравнения // Успехи математических наук. — 1959. — Т. XIV, 2 (86). — С. 165–170.
21. Lax P. D. Hyperbolic Systems of Conservation Laws and the Mathematical Theory of Shock Waves. — Society for Industrial and Applied Mathematics, 1973.
22. Годунов С. К. Разностный метод численного расчета разрывных решений уравнений гидродинамики // Математический сборник. — 1959. — Т. 47(89), № 3. — С. 271–306.
23. Курант Р., Фридрихс К., Леви Г. О разностных уравнениях математической физики // Успехи математических наук. — 1941. — № 8. — С. 125–160.
24. Daganzo C. F. The cell transmission model: a dynamic representation of highway traffic consistent with the hydrodynamic theory // Transportation Research Part B: Methodological. — 1994. — Vol. 28, no. 4. — Pp. 269–287.

25. *Daganzo C. F.* The cell transmission model, part II: Network traffic // *Transportation Research Part B: Methodological*. — 1995. — Vol. 29, no. 2. — Pp. 79–93.
26. Aurora Road Network Modeler. — URL: <http://code.google.com/p/aurorarnm/>.
27. *Jin W. L., Zhang H. M.* On the distribution schemes for determining flows through a merge // *Transportation Research Part B: Methodological*. — 2003. — No. 6. — Pp. 521–540.
28. *Ni D., Leonard J. D.* A simplified kinematic wave model at a merge bottleneck // *Applied Mathematical Modelling*. — 2005. — Vol. 29, no. 11. — Pp. 1054–1072.
29. A generic class of first order node models for dynamic macroscopic simulation of traffic flows / C. M. Tampère [et al.] // *Transportation Research Part B: Methodological*. — 2011. — Vol. 45, no. 1. — Pp. 289–309.
30. *Arnott R., Small K.* The Economics Of Traffic Congestion // *American Scientist*. — 1994. — Vol. 82, no. 5. — Pp. 446–455.
31. *de Palma A., Lindsey R.* Traffic congestion pricing methodologies and technologies // *Transportation Research Part C: Emerging Technologies*. — 2011. — Vol. 19, no. 6. — Pp. 1377–1399.
32. *Hearn D. W., Ramana M. V.* Solving congestion toll pricing models // *Equilibrium and Advanced Transportation Modeling* / ed. by P. Marcotte, S. Nguyen. — 1998. — Pp. 109–124.
33. State-dependent pricing for real-time freeway management: Anticipatory versus reactive strategies / J. Dong [et al.] // *Transportation Research Part C: Emerging Technologies*. — 2011. — Vol. 19. — Pp. 644–657.
34. *Varaiya P.* Congestion, ramp metering and tolls // *Philosophical transactions of the royal society A*. — 2008. — Vol. 366. — Pp. 1921–1930.
35. *Kurzhanskiy A. A.* Modeling and Software Tools for Freeway Operational Planning: Ph.D. thesis / Kurzhanskiy Alex A. — EECS Department, University of California, Berkeley, 2007.
36. Behavior of the cell transmission model and effectiveness of ramp metering / G. Gomes [et al.] // *Transportation Research Part C: Emerging Technologies*. — 2008. — Vol. 16, no. 4. — Pp. 485–513.
37. *Kurzhanskiy A. A., Varaiya P.* Active traffic management on road networks: a macroscopic approach // *Philosophical Transactions of The Royal Society, Part A*. — 2010. — Vol. 368. — Pp. 4607–4626.

38. *Gomes G., Horowitz R.* Optimal freeway ramp metering using the asymmetric cell transmission model // *Transportation Research Part C: Emerging Technologies*. — 2006. — Vol. 14, no. 4. — Pp. 244–262.
39. *Zhang L., Levinson D.* Optimal freeway ramp control without origin–destination information // *Transportation Research Part B: Methodological*. — 2004. — Vol. 38, no. 10. — Pp. 869–887.
40. *Muralidharan A., Horowitz R.* Imputation of Ramp Flow Data for Freeway Traffic Simulation // *Transportation Research Record*. — 2009. — Vol. 2099. — Pp. 58–64.
41. *Дорогуш Е. Г.* Вычисление пропускной способности и уровня загруженности кольцевой автомагистрали // *Вестник Московского университета. Серия 15. Вычислительная математика и кибернетика*. — 2013. — № 3. — С. 16–24.
42. *Дорогуш Е. Г.* Математическое моделирование транспортных потоков на кольцевой автостраде // *Сборник статей молодых ученых факультета ВМК МГУ*. — 2011. — Вып. 8. — С. 54–68.
43. *Дорогуш Е. Г.* Динамическая модель транспортных потоков на кольцевой автостраде // *Доклады Академии Наук*. — 2013. — Т. 453, № 4. — С. 363–367.
44. *Гантмахер Ф. Р.* Теория матриц. — М.: Наука, 1966.
45. *Gomes G.* BeATS: Berkeley’s Advanced Traffic Simulator. — URL: <https://github.com/calpath/beats>.
46. *Small K. A., Winston C., Yan J.* Differentiated Road Pricing, Express Lanes, and Carpools: Exploiting Heterogeneous Preferences in Policy Design // *Brookings-Wharton Papers on Urban Affairs*. — 2006. — Pp. 53–96.
47. *Brownstone D., Small K. A.* Valuing time and reliability: assessing the evidence from road pricing demonstrations // *Transportation Research Part A: Policy and Practice*. — 2005. — Vol. 39. — Pp. 279–293.
48. *Patil S., Burris M., Shaw W. D.* Travel using managed lanes: An application of a stated choice model for Houston, Texas // *Transport Policy*. — 2011. — Vol. 18, no. 4. — Pp. 595–603.
49. *Train K.* *Discrete Choice Methods with Simulation*. — Cambridge University Press, 2009.

# Список иллюстраций

1	Фундаментальная диаграмма в непрерывной модели транспортных потоков . . . . .	5
1.1	Схема узла транспортной сети . . . . .	11
1.2	Схема простого узла . . . . .	15
1.3	Схема узла-разветвления . . . . .	16
1.4	Схема узла-слияния . . . . .	16
1.5	Схема модели автомагистрали . . . . .	17
1.6	Схема узла в модели автомагистрали . . . . .	20
1.7	Схемы автомагистралей с двумя основными ячейками . . . . .	30
1.8	Карты уровней загруженности кольцевой и обычной автомагистрали . . . . .	30
2.1	Траектории системы и положения равновесия в модели незамкнутой автострады . . . . .	59
2.2	Влияние коэффициентов приоритета на траектории системы и равновесия . . . . .	60
2.3	Траектории системы и равновесия в модели кольцевой автострады . . . . .	62
3.1	Схема модели автомагистрали с выделенными полосами . . . . .	63
3.2	Схема узла в модели автомагистрали с выделенными полосами . . . . .	64
3.3	Максимизация $\lambda_i$ при $\bar{\alpha}_i^1 + \bar{\alpha}_i^2 \geq 1$ . . . . .	68
3.4	Максимизация $\lambda_i$ при $\bar{\alpha}_i^2 = 0$ , $\lambda_i^1(1) \geq \lim_{\alpha_2 \rightarrow +0} \lambda_i^2(\alpha_2)$ . . . . .	69
3.5	Максимизация $\lambda_i$ при $\bar{\alpha}_i^1 = 0$ , $\lambda_i^2(1) \geq \lim_{\alpha_1 \rightarrow +0} \lambda_i^1(\alpha_1)$ . . . . .	69
3.6	Максимизация $\lambda_i$ при $\lambda_i^1(1 - \bar{\alpha}_i^2) < \lim_{\alpha_2 \rightarrow \bar{\alpha}_i^2 + 0} \lambda_i^2(\alpha_2)$ , $\lambda_i^2(1 - \bar{\alpha}_i^1) < \lim_{\alpha_1 \rightarrow \bar{\alpha}_i^1 + 0} \lambda_i^1(\alpha_1)$ . . . . .	70
3.7	Схема автомагистрали с одним въездом . . . . .	79
3.8	Разгрузка платной полосы автомагистрали с одним въездом . . . . .	81
3.9	Временно недопустимый входной поток . . . . .	82
3.10	Схема автомагистрали с двумя въездами . . . . .	83
3.11	Разгрузка платной полосы автомагистрали с двумя въездами . . . . .	83